



TUGAS AKHIR - MO 184804

**ANALISIS RESPON DINAMIS PIPA BAWAH LAUT DENGAN
*FREE SPAN AKIBAT VORTEX INDUCED VIBRATION (VIV)***

NOVI JESIKA ANASTASIA
NRP. 04311540000060

Dosen Pembimbing :
Ir. Imam Rochani, M.Sc.
Dr. Eng. Rudi Waluyo P, S.T., M.T.

DEPARTEMEN TEKNIK KELAUTAN
FAKULTAS TEKNOLOGI KELAUTAN
INSTITUT TEKNOLOGI SEPULUH NOPEMBER
SURABAYA
2019



FINAL PROJECT - MO 184804

**DYNAMIC RESPONSE ANALYSIS ON SUBSEA PIPELINE WITH
FREE SPAN DUE TO VORTEX INDUCED VIBRATION (VIV)**

NOVI JESIKA ANASTASIA

NRP. 04311540000060

Supervisors :

Ir. Imam Rochani, M.Sc.

Dr. Eng. Rudi Waluyo P, S.T., M.T.

**DEPARTMENT OF OCEAN ENGINEERING
FACULTY OF MARINE TECHNOLOGY
INSTITUT TEKNOLOGI SEPULUH NOPEMBER
SURABAYA
2019**

**ANALISIS RESPON DINAMIS PIPA BAWAH LAUT DENGAN FREE SPAN
AKIBAT VORTEX INDUCED VIBRATION (VIV)**

TUGAS AKHIR

Diajukan untuk memenuhi Salah Satu Syarat Memproleh Gelar Sarjana Teknik pada
Program Studi S-1 Departemen Teknik Kelautan Fakultas Teknologi Kelautan,
Institut Teknologi Sepuluh Nopember

Oleh :

NOVI JESIKA ANASTASIA

NRP. 04311540000060

Disetujui oleh Pembimbing dan Pengaji Tugas Akhir :

1. Ir. Imam Rochani, M.Sc. (Pembimbing 1)

2. Dr. Eng. Rudi Walujo Prastianto (Pembimbing 2)

3. Dr. Eng Yeyes Mulyadi, ST., M.Sc (Pengaji 1)

4. Nur Syahroni, S.T., M.T., Ph.D (Pengaji 2)

5. Sholihin, S.T., M.T. (Pengaji 3)

SURABAYA, JULI 2019

ABSTRAK

ANALISIS RESPON DINAMIS PIPA BAWAH LAUT DENGAN *FREE SPAN* AKIBAT *VORTEX INDUCED VIBRATION (VIV)*

Nama : Novi Jesika Anastasia
NRP : 0431154000060
Departemen : Teknik Kelautan
Dosen Pembimbing : Ir. Imam Rochani, M.Sc.
Dr. Eng. Rudi Waluyo Prastianto, S.T., M.T.

Abstrak

Pada saat beroperasi kondisi seabed tempat pipa bawah laut (*offshore pipeline*) meletak tidak seluruhnya rata, hal inilah yang biasanya mengakibatkan adanya bentangan bebas antara pipa dan *seabed* yang biasa disebut dengan *free span*. Aliran partikel yang melewati bagian pipa yang mengalami *free span* akan timbul ulekan (*vortex*). *Vortex* ini jika besarnya melebihi 0.7 dari frekuensi natural makan akan terjadi getaran yang biasa disebut dengan *Vortex Induced Vibration (VIV)*. Pada jalur pipa yang menghubungkan antara *Central Processing Platform-2* dengan *Onshore Receiving Facility* (Gresik) ditemukan adanya *free span* di beberapa segmen. Pada analisis kali ini menggunakan 20 titik span untuk mengetahui apakah span tersebut sudah memenuhi kriteria analisis dinamis serta statis sesuai dengan kode standar DNV RP F105 dan DNV OS F101. Pada analisis dinamis yang telah dilakukan terdapat 3 titik *free span* yang memerlukan *support* karena tidak memenuhi kriteria yang disyaratkan DNV RP F105. Dari hasil perhitungan, jarak *support* agar pipa dapat dikategorikan aman adalah sebesar 13 m. Untuk analisis sesuai dengan kriteria DNV OS F101 didapatkan hasil bahwa *pipeline* aman dari terjadinya keruntuhan, ledakan, maupun penjalaran *buckling*.

Kata Kunci : *offshore pipeline, free span, VIV*

ABSTRACT

DYNAMIC RESPONSE ANALYSIS ON SUBSEA PIPELINE WITH FREE SPAN DUE TO VORTEX INDUCED VIBRATION (VIV)

Name : Novi Jesika Anastasia
NRP : 0431154000060
Department : Ocean Engineering
Supervisors : Ir. Imam Rochani, M.Sc.
Dr. Eng. Rudi Waluyo Prastianto, S.T., M.T.

Abstract

In operation, seabed condition where offshore pipeline placed not entirely flat, cause gap between pipeline and seabed was called free span. The particles flow that pass pipe with freespan will appear vortex. If vortex exceeds 0.7 of natural frequency, vibration will occur or commonly called Vortex Induced Vibration (VIV). Pipeline that connects Central Processing Platform-2 and Onshore Receiving Facility (Gresik) was found free span in several segments. In this analysis use 20 span points to determine that span fulfill dynamic and static criteria according to standard code DNV RP F105 and DNV OS F101. The result of dynamic analysis, there are 3 free span points require support because not fulfill DNV RP F105 criteria. The result of calculation is supports distance so the pipe can be categorized as safety is 13 m. Analysis according to DNV OS F101 criteria, the pipeline is safe from failure, explosion, and buckling propagation.

Keyword: *offshore pipeline, free span, VIV*

KATA PENGANTAR

Assalamualaikum Wr. Wb.

Puji syukur penulis panjatkan kehadiran Allah SWT yang telah memberikan rahmat dan hidayah-Nya, sehingga penulis dapat menyelesaikan serangkaian kegiatan penelitian dan penulisan laporan Tugas Akhir dengan baik dan tepat waktu. Laporan ini berisi tentang tahapan proses dan hasil dari tugas akhir penulis. Tugas akhir ini berjudul "**Analisis Respons Dinamis Pipa Bawah Laut Dengan Free Span Akibat Vortex Induced Vibration (VIV)**".

Tugas akhir ini disusun agar memenuhi persyaratan dalam menyelesaikan Studi Kesarjanaan (S-1) di Departemen Teknik Kelautan, Fakultas Teknologi Kelautan, Institut Teknologi Sepuluh Nopember. Tugas Akhir ini menganalisis tentang pipa bawah laut yang memiliki gap diantar pipa dengan *seabed* yang bisa mengakibatkan terjadinya *vortex induced vibration* (VIV), sehingga memerlukan adanya penambahan *support*.

Penulis menyadari bahwa dalam penyelesaian tugas akhir dan penulisan laporan masih terdapat kekurangan. Kritik dan saran dari pembaca sangat diharapkan oleh penulis, agar menjadi evaluasi guna menghasilkan suatu penelitian dan penulisan yang lebih baik ke depannya. Semoga tugas akhir ini bisa memberikan manfaat bagi penulis serta pembaca pada umumnya.

Wassalamualaikum Wr.Wb.

Surabaya, 1 Agustus 2019

Novi Jesika Anastasia

UCAPAN TERIMA KASIH

Penulis ingin mengucapkan terima kasih kepada beberapa pihak yang turut membantu kelancaran selama penggerjaan tugas akhir ini. Mungkin ucapan ini tidak sebanding dengan apa yang diberikan oleh pihak - pihak tersebut, namun diharapkan dapat menjadi sebuah pembelajaran untuk penulis agar senantiasa berterima kasih kepada pihak yang telah memberikan banyak bantuan dalam tugas akhir ini. Beberapa pihak tersebut diantaranya:

1. Allah SWT yang telah memberikan kesehatan dan kemudahan selama mengerjakan tugas akhir ini.
2. Kedua orang tua penulis yang sangat luar biasa yaitu ayahanda Agus Sakiyar dan Ibunda Misbah Sanusi Rerung, yang telah mengorbankan waktu dan tenaganya agar penulis dapat tetap melanjutkan kuliah sampai menyelesaikan tugas akhir ini, beserta kepercayaan dan doa-doa yang diberikan kepada penulis.
3. Adik tercinta penulis, Satrio Setia Hati Bijaksana yang telah memberikan semangat serta memotivasi penulis agar segera menyelesaikan jenjang studi S1.
4. Bapak Ir. Imam Rochani, M.Sc. dan Bapak Dr. Eng. Rudi Waluyo P, S.T., M.T.Ph.D., selaku dosen pembimbing Tugas Akhir ini, atas bantuan masukan, dukungan serta ilmu bermanfaat dalam mengerjakan dan menyusun Tugas Akhir.
5. Seluruh Dosen, Karyawan, Tim tata usaha dan Administrasi Depertamen Teknik Kelautan FTK ITS, yang telah memberikan ilmu, bantuan dan fasilitas kepada penulis selama menjalani perkuliahan dan menyelesaikan tugas akhir.
6. Bapak Ir. Murdjito, M.Sc.Eng selaku dosen wali penulis yang telah membantu dan mengarahkan selama masa perkuliahan di Teknik Kelautan.
7. Pihak penyelenggara Beasiswa YVDMI, atas bantuan biaya perkuliahan hingga penulis dapat berkuliah sampai dengan semester akhir.
8. Teman - teman satu bimbingan (Pak Imam & Pak Rudi) seperjuangan yang menjadi tempat *sharing* selama penggerjaan tugas akhir.

9. Keluarga besar angkatan TRITONOUS P-55 L-33, yang selalu mendukung penulis hingga selesainya tugas akhir ini. Terima kasih telah menjadi keluarga baru dari awal kehadiran penulis di ITS.
10. Keluarga Besar UKM Sepakbola ITS dan Tim Futsal Putri ITS khususnya yang selalu memberikan semangat serta dukungan kepada penulis selama penggerjaan tugas akhir ini.
11. Pihak-pihak lainnya yang belum bisa disebutkan satu persatu oleh penulis.

DAFTAR ISI

| | |
|----------------------------------|-------------|
| HALAMAN JUDUL | i |
| LEMBAR PENGESAHAN | iii |
| ABSTRAK | iv |
| ABSTRACT | v |
| KATA PENGANTAR | vi |
| UCAPAN TERIMA KASIH | vii |
| DAFTAR ISI..... | ix |
| DAFTAR GAMBAR..... | xiii |
| DAFTAR TABEL | xiv |

BAB I PENDAHULUAN

| | |
|--|---|
| 1.1 Latar Belakang..... | 1 |
| 1.2 Rumusan Masalah..... | 3 |
| 1.3 Tujuan | 3 |
| 1.4 Manfaat | 3 |
| 1.5 Batasan Masalah | 4 |
| 1.6 Sistematika Penulisan Laporan..... | 4 |

BAB II TINJAUAN PUSTAKA DAN DASAR TEORI

| | |
|--|----|
| 2.1 Tinjauan Pustaka..... | 6 |
| 2.2 Dasar Teori | 7 |
| 2.2.1 Stabilitas Pipa Bawah Laut..... | 7 |
| 2.2.1.1 Stabilitas Vertikal Pipa dalam Air | 7 |
| 2.2.1.2 Stabilitas Absolut Lateral | 8 |
| 2.2.2 Beban Lingkungan..... | 10 |
| 2.2.2.1 Gelombang..... | 10 |
| 2.2.2.2 Arus..... | 13 |
| 2.2.2 Massa Efektif Pipa..... | 14 |
| 2.2.3 Free Span | 16 |

| | | |
|----------|---|----|
| 2.2.4 | Vortex Induced Vibration (VIV) | 17 |
| 2.2.4.1 | Kriteria Aliran..... | 18 |
| 2.2.4.2 | Reynold Number..... | 19 |
| 2.2.4.3 | Stability Parameter..... | 21 |
| 2.2.4.4 | Reduced Velocity (V_R) | 21 |
| 2.2.4.5 | <i>Keulegan-Carpenter Number (KC)</i> | 22 |
| 2.2.4.6 | Frekuensi Vortex Sheding | 22 |
| 2.2.5 | Gaya Hidrodinamis..... | 22 |
| 2.2.5.1 | Gaya <i>Lift</i> | 23 |
| 2.2.5.2 | Gaya <i>Drag</i> | 23 |
| 2.2.5.3 | Gaya Inertia | 27 |
| 2.2.6 | Analisis Dinamis | 27 |
| 2.2.6.1 | <i>Boundary Condition</i> | 28 |
| 2.2.6.2 | <i>Concrete Stiffness Factor (CSF)</i> | 29 |
| 2.2.6.3 | Panjang <i>Span</i> Efektif | 29 |
| 2.2.6.4 | <i>Effective Axial Force</i> | 30 |
| 2.2.6.5 | <i>Critical Buckling Load</i> | 31 |
| 2.2.6.6 | <i>Static Deflection</i> | 31 |
| 2.2.6.7 | Frekuensi Natural Pipa | 32 |
| 2.2.6.8 | Panjang Maksimum <i>Span</i> | 33 |
| 2.2.7 | Kriteria Screening..... | 33 |
| 2.2.8 | Analisa Statis | 35 |
| 2.2.8.1 | <i>Pressure Containment (Bursting)</i> | 35 |
| 2.2.8.2 | <i>Local Buckling – Collapse Criteria</i> | 36 |
| 2.2.8.3 | <i>Local buckling - combined loading criteria</i> | 38 |
| 2.2.8.4 | <i>Local Buckling – Propagation Buckling</i> | 39 |
| 2.2.9 | Mitigasi..... | 40 |
| 2.2.10 | Tegangan | 41 |
| 2.2.10.1 | Tegangan Hoop..... | 41 |
| 2.2.10.2 | Tegangan Longitudinal | 42 |
| 2.2.10.3 | Tegangan Kombinasi | 43 |

BAB III METODOLOGI PENELITIAN

| | | |
|-----|---|----|
| 3.1 | Diagram Alir (<i>Flow Chart</i>)..... | 44 |
| 3.2 | Langkah – Langkah Penggerjaan..... | 46 |

BAB IV ANALISIS DAN PEMBAHASAN

| | | |
|-------|--|----|
| 4.1 | Analisis Data..... | 47 |
| 4.1.1 | Data Pipeline | 47 |
| 4.1.2 | Data Lingkungan | 48 |
| 4.1.3 | Data Inspeksi <i>Free Span</i> | 49 |
| 4.1.4 | Data Perhitungan Dimensi Pipa..... | 50 |
| 4.1.5 | Data Perhitungan Massa Terendam Pipa..... | 51 |
| 4.2 | Analisis Kecepatan Partikel Air..... | 51 |
| 4.2.1 | Perhitungan Kecepatan Arus pada Pipa..... | 51 |
| 4.2.2 | Perhitungan Kecepatan Partikel Air Akibat Pengaruh Gelombang | 52 |
| 4.3 | Perhitungan Massa Efektif Pipa..... | 54 |
| 4.4 | Analisis <i>Vortex Induced Vibrations</i> (VIV) | 55 |
| 4.4.1 | Perhitungan <i>Reynolds Number</i> (<i>Re</i>) | 56 |
| 4.4.2 | Perhitungan <i>Stability Parameter</i> (<i>K_s</i>) | 57 |
| 4.4.3 | Perhitungan <i>Reduced Velocity</i> (<i>V_R</i>) | 58 |
| 4.4.4 | Perhitungan <i>Keulegan Carpenter</i> (<i>KC</i>) | 59 |
| 4.5 | Analisis Gaya Hidrodinamis..... | 60 |
| 4.5.1 | Perhitungan Gaya Lift (<i>F_L</i>) | 60 |
| 4.5.2 | Perhitungan Gaya Drag (<i>F_D</i>)..... | 61 |
| 4.6 | Analisis Dinamis <i>Free Span</i> | 62 |
| 4.6.1 | Perhitungan <i>Concrete Stiffness Factor</i> (<i>CSF</i>) | 63 |
| 4.6.2 | Perhitungan <i>Efective Axial Force</i> (<i>S_{eff}</i>) | 63 |
| 4.6.3 | Perhitungan Critical Buckling (<i>P_{cr}</i>) | 64 |
| 4.6.4 | Perhitungan Defleksi (δ)..... | 65 |
| 4.6.5 | Perhitungan Frekuensi <i>Vortex Shedding</i> dan Frekuensi Natural | 66 |
| 4.6.6 | Perhitungan Panjang Maksimum Span..... | 67 |
| 4.7 | Kriteria <i>Screening</i> | 68 |
| 4.8 | Mitigasi | 77 |

| | | |
|------|--|----|
| 4.9 | Analisis Statis Span | 83 |
| 4.10 | Analisis Tegangan Dengan AUTOPIPE..... | 85 |

BAB V KESIMPULAN DAN SARAN

| | | |
|-----|-----------------|----|
| 5.1 | Kesimpulan..... | 90 |
| 5.2 | Saran | 90 |

| | |
|-----------------------------|----|
| DAFTAR PUSTAKA | 91 |
|-----------------------------|----|

LAMPIRAN - LAMPIRAN

BIODATA PENULIS

DAFTAR GAMBAR

| | |
|--|----|
| Gambar 2.1 Diagram Gaya yang Bekerja pada Pipa di Dasar Laut | 7 |
| Gambar 2.2 Tipe Span | 17 |
| Gambar 2.3 Ilustrasi <i>Vortex Induced Vibration</i> pada Pipa..... | 18 |
| Gambar 2.4 Bentuk Aliran Fluida Pada Silinder | 20 |
| Gambar 2.5 Grafik ΨKC , αCD untuk $KC < 5$ (DNV RP F105, 2006)..... | 25 |
| Gambar 2.6 <i>Basic Cross-Flow Response Model</i> (DNV RP F105,2006)..... | 27 |
| Gambar 4.1 Input Data Properti Pipa | 86 |
| Gambar 4.2 Input Data Pembebatan | 86 |
| Gambar 4.3 Input Data Support..... | 87 |
| Gambar 4.4 Model Pipa Tampak Depan | 88 |
| Gambar 4.5 Hasil Tegangan Hoop | 88 |
| Gambar 4.6 Hasil Tegangan Longitudinal | 89 |
| Gambar 4.7 Hasil Tegangan <i>Von Mises</i> | 89 |

DAFTAR TABEL

| | |
|--|----|
| Tabel 2.1 Koefisien Beban Horizontal (DNV RP-F109, 2010) | 9 |
| Tabel 2.2 Koefisien Beban Vertical (DNV RP-F109, 2010)..... | 9 |
| Tabel 2.3 Seabed Roughness (DNV RP F109, 2010) | 14 |
| Tabel 2.4 Kriteria Aliran (DNV RP F105, 2006)..... | 18 |
| Tabel 2.5 Kekasaran Permukaan Pipa (DNV RP F105, 2006)..... | 24 |
| Tabel 2.6 Koefisien <i>Boundary condition</i> (DNV RP F105, 2006) | 28 |
| Tabel 2.7 Screening Factor (DNV RP F105, 2006) | 35 |
| Tabel 2.8 Faktor Fabrikasi Maksimum (DNV OS F101, 2000)..... | 36 |
| Tabel 2.9 Faktor Ketahanan Material (DNV OS F101, 2000) | 37 |
| Tabel 2.10 Faktor Safety Class (DNV OS F101, 2000)..... | 37 |
| Tabel 2.11 Faktor Melakukan Mitigasi pada Span Kritis | 40 |
| Tabel 2.12 Tegangan Pada Pipa (ASME B31.8 2012)..... | 41 |
| Tabel 4.1 Data Desain Pipa | 47 |
| Tabel 4.2 Data Anti-Corrossion Coating dan Concrete Coating..... | 48 |
| Tabel 4.3 Data Gelombang dan Arus | 49 |
| Tabel 4.4. Data Karakteristik Tanah..... | 49 |
| Tabel 4.5 Data <i>Free Span</i> Hasil Inspeksi Bawah Laut..... | 50 |
| Tabel 4.6 Perhitungan Dimensi Pipa (Syahroni, 2018)..... | 50 |
| Tabel 4.7 Hasil Perhitungan Berat Terendam Pipa (Syahroni, 2018) | 51 |
| Tabel 4.8 Perhitungan Kecepatan Arus Pada Pipa | 52 |
| Tabel 4.9 Parameter JONSWAP | 53 |
| Tabel 4.10 Perhitungan Angka Gelombang | 53 |
| Tabel 4.11 Perhitungan Nilai Momen Spektra | 54 |

| | |
|--|----|
| Tabel 4.12 Hasil Perhitungan Kecepatan Partikel Air Akibat Pengaruh Gelombang | 54 |
| Tabel 4.13 Massa Efektif Pipa..... | 55 |
| Tabel 4.14 Parameter Perhitungan Komponen VIV..... | 56 |
| Tabel 4.15 Hasil Perhitungan <i>Reynolds Number</i> | 56 |
| Tabel 4.16 Hasil Perhitungan <i>Stability Parameter</i> | 57 |
| Tabel 4.17 Hasil Perhitungan <i>Stability Parameter</i> | 58 |
| Tabel 4.18 Hasil Perhitungan <i>Keulegan Carpenter</i> | 59 |
| Tabel 4.19 Hasil Perhitungan Gaya Lift..... | 61 |
| Tabel 4.20 Hasil Perhitungan Gaya Drag..... | 62 |
| Tabel 4.21 Parameter Perhitungan CSF | 63 |
| Tabel 4.22 Hasil Perhitungan CSF | 63 |
| Tabel 4.23 Parameter Perhitungan S_{eff} | 63 |
| Tabel 4.24 Hasil Perhitungan S_{eff} | 64 |
| Tabel 4.25 Parameter Perhitungan Pcr | 64 |
| Tabel 4.26 Hasil Perhitungan Pcr | 65 |
| Tabel 4.27 Hasil Perhitungan Defleksi..... | 66 |
| Tabel 4.28 Hasil Perhitungan Frekuensi Natural | 67 |
| Tabel 4.29 Hasil Perhitungan Frekuensi Natural | 68 |
| Tabel 4.30 Screening Kriteria VIV arah <i>In-Line</i> | 69 |
| Tabel 4.31 Screening Kriteria VIV arah <i>Crossflow</i> | 69 |
| Tabel 4.32 Screening Osilasi arah <i>Inline</i> | 70 |
| Tabel 4.33 Screening Osilasi arah <i>Crossflow</i> | 71 |
| Tabel 4.34 Screening Kriteria Panjang Maksimum Span arah <i>Inline</i> | 72 |
| Tabel 4.35 Screening Kriteria Panjang Maksimum Span arah <i>Crossflow</i> | 73 |
| Tabel 4.36 Screening Kriteria Nilai <i>Critical Buckling</i> arah <i>Inline</i> | 73 |

| | |
|---|----|
| Tabel 4.37 Screening Kriteria Nilai <i>Critical Buckling</i> arah <i>Crossflow</i> | 74 |
| Tabel 4.38 Screening Kriteria Defleksi arah <i>Inline</i> | 75 |
| Tabel 4.39 Screening Kriteria Defleksi arah <i>Crossflow</i> | 76 |
| Tabel 4.40 Screening Kriteria Gap..... | 77 |
| Tabel 4.41 Panjang Span Setelah Penambahan Support | 78 |
| Tabel 4.42 Screening Kriteria VIV Setelah Mitigasi | 79 |
| Tabel 4.43 Screening Osilasi | 79 |
| Tabel 4.44 Screening Kriteria Panjang Maksimum Span Setelah Mitigasi | 80 |
| Tabel 4.45 Screening Kriteria <i>Critical Buckling</i> Setelah Mitigasi..... | 81 |
| Tabel 4.46 Screening Kriteria Defleksi Setelah Mitigasi..... | 82 |
| Tabel 4.47 Kriteria Tekanan <i>Brusting</i> | 83 |
| Tabel 4.48 Kriteria Tekanan <i>Collapse</i> | 84 |
| Tabel 4.49 Parameter Kriteria <i>Combined Load</i> | 84 |
| Tabel 4.50 Kriteria <i>Combined Load</i> | 85 |
| Tabel 4.51 Kriteria Tekanan <i>Propagation Buckling</i> | 85 |
| Tabel 4.52 Nilai Tegangan Hasil Pemodelan Software AutoPIPE | 87 |

BAB I

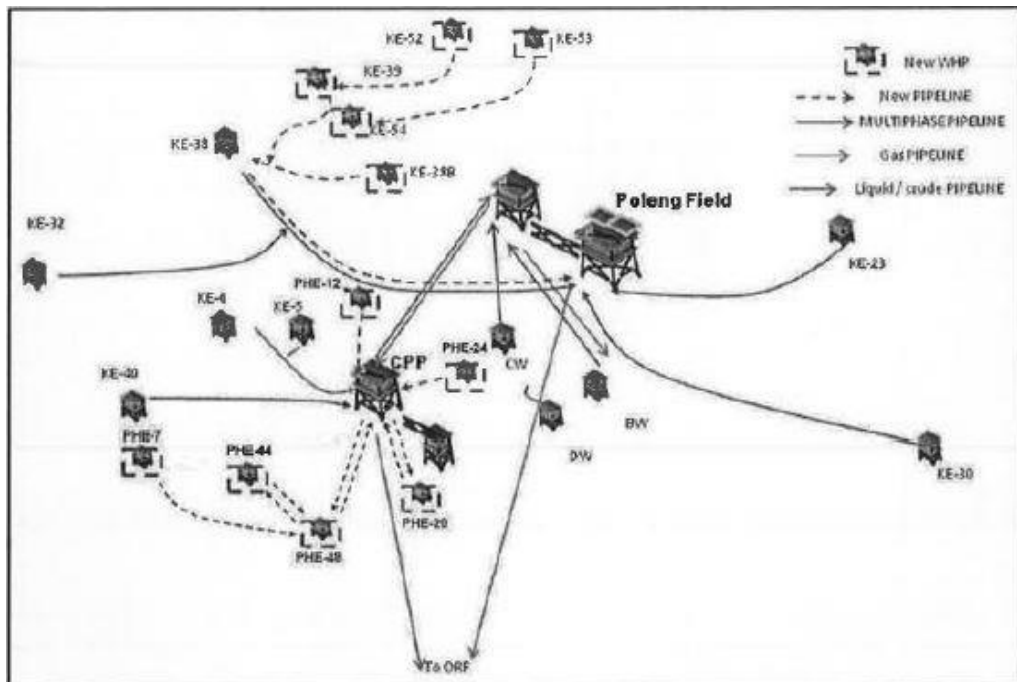
PENDAHULUAN

1.1 Latar Belakang

Eksplorasi minyak dan gas bumi semakin gencar dilakukan sebagai upaya untuk memenuhi kebutuhan manusia akan minyak dan gas sebagai sumber energi utama yang semakin meningkat. Kini Eksplorasi minyak dan gas bumi tidak lagi hanya dilakukan di daratan (*onshore*) saja, melainkan juga di laut (*offshore*). Perkembangan teknologi yang semakin canggih dimanfaatkan oleh industri migas untuk eksplorasi minyak dan gas bumi di laut dalam dimana hidrokarbon banyak dijumpai. Dalam produksi minyak dan gas bumi di tengah laut membutuhkan akomodasi untuk menyalurkan hasil produksi dari suatu titik distribusi ke titik distribusi lainnya. Jaringan pipa bawah laut merupakan salah satu alternatif penyalur minyak dan gas yang banyak digunakan dalam dunia industri migas karna cukup ekonomis dan efisien.

Subsea Pipeline digunakan untuk sejumlah tujuan dalam perkembangan pemanfaatan sumber hidrokarbon bawah laut. Pemanfaatan jaringan pipa digunakan untuk mengalirkan minyak dan gas dianggap lebih praktis dan efektif dibanding dengan cara curah (Soegiono,2007).

Jaringan pipa bawah laut membentang dari *Central Processing Platform-2* menuju *Onshore Receiving Facility* (Gresik) merupakan jaringan pipa yang mendistribusikan fluida jenis gas. Jalur pipa ini memiliki panjang sekitar 65 km. Gambar 1.1 berikut menunjukkan beberapa fasilitas yang ada di *Field West Madura Offshore*.



Gambar 1.1 Fasilitas Produksi *Field West Madura Offshore*.

Permasalahan yang timbul pada *offshore pipeline* yang karena lokasinya berada di dasar laut, adalah beban lingkungan (gaya arus dan gaya gelombang) yang mengenai pipa. Gaya-gaya tersebut dapat mengakibatkan pipa mengapung dan bergeser karena kondisinya yang tidak stabil. Selain itu, topografi dasar laut yang tidak semuanya rata akan memberikan ruang bebas antar pipa dengan *seabed* yang kemudian kondisi ini disebut dengan *free span*. Selain itu *free span* juga bisa disebabkan karna proses penggerusan dasar laut (*scouring*), dan juga akibat *crossing* dengan pipa yang sudah ada. Pipeline yang memiliki permukaan bebas tanpa ada penyangga akan mengalami beban berlebih serta dapat memungkinkan terjadinya *vortex* disekitar area pipa dioperasikan. Jika beban tersebut terjadi dalam kurun waktu yang lama akan mengakibatkan kegagalan pada pipeline (Pratomo, 2015).

Pada pipa yang mengalami *free span* partikel air yang melewati bawah pipa akan menyebabkan pusaran di daerah sekitar pipa. Pelepasan pusaran atau yg biasa disebut (*vortex shedding*) ini merupakan perubahan terhadap tekanan hidrodinamis pada pipa secara periodik. Perubahan tekanan hidrodinamis ini dapat menyebabkan pipa bergetar (Mouselli, 1981). Jika frekuensi *vortex shedding* yang terjadi lebih besar 0.7 kali dari frekuensi natural pipa, maka pipa akan mengalami osilasi atau

getaran yang menyebabkan kegagalan (Guo *et al* , 2005). Untuk mengurangi resiko terjadinya kegagalan akibat freespan bisa dilakukan dengan menambahkan support agar kestabilan pipa tetap terjaga. Dalam tugas akhir ini akan membahas tentang *freespan* yang mengalami bentangan melebihi batas atau dikategorikan kritis. Yang kemudian akan dilakukan perhitungan mitigasi peletakan supportnya.

1.2 Rumusan Masalah

Adapun rumusan masalah pada tugas akhir ini adalah sebagai berikut:

1. Apakah pipa yang mengalami *free span* telah sesuai dengan kriteria analisis dinamis?
2. Apakah pipa telah memenuhi kriteria analisis statis?
3. Dimana posisi support yang seharusnya diberikan terhadap span yang tidak memenuhi kriteria analisis dinamis?

1.3 Tujuan

Dari permasalahan diatas, tujuan yang ingin dicapai dalam tugas akhir ini adalah sebagai berikut :

1. Mengetahui apakah pipa yang mengalami *free span* telah sesuai dengan kriteria analisis dinamis *span*.
2. Mengetahui apakah pipa telah memenuhi kriteria analisis statis *span*.
3. Menghitung posisi peletakan support untuk span yang tidak memenuhi kriteria analisis dinamis.

1.4 Manfaat

Manfaat dari analisis yang dilakukan pada Tugas Akhir ini, diharapkan dapat mengetahui stabilitas vertical dan lateral dari pipa akibat dari adanya beban lingkungan. Selain hal itu karena beberapa segmen pipa yang dianalisis terdapat *freespan*, maka diharapkan dapat mengetahui stabilitas pipa yang mengalami *free span* sesuai dengan kriteria dinamis maupun kriteria statis *span*, sehingga dapat mengetahui apakah pipa tersebut membutuhkan *support* atau tidak.

1.5 Batasan Masalah

Pembatasan masalah ini digunakan untuk menghindari pembahasan yang melebar dan mempermudah perhitungan sehingga digunakan asumsi-asumsi sebagai berikut:

1. Data yang digunakan merupakan data pipa gas yang menghubungkan antara *Central Processing Platform-2* dengan *Onshore Receiving Facility* (Gresik) sepanjang 65 km.
2. Perhitungan *dynamic analysis* dan *static analysis* hanya dilakukan pada lokasi span yang ditinjau.
3. Aliran fluida dalam pipa diasumsikan *steady*.
4. *Scouring* dan *marine growth* diabaikan.
5. Tumpuan pada ujung bentangan bebas di asumsikan *pinned-pinned*.
6. Analisis dinamis pada *free span* mengacu pada kode & standar DNV RP F105 tentang *free spanning pipelines*.
7. Analisis statis pada pipa mengacu pada kode & standar DNV OS F101 tentang *submarine pipeline systems*.

1.6 Sistematika Penulisan Laporan

Sistematika penulisan yang digunakan dalam penyusunan laporan ini adalah sebagai berikut :

BAB I : PENDAHULUAN

Bab ini menjelaskan tentang latar belakang penulisan, rumusan masalah yang di bahas dalam penelitian ini, tujuan yang ingin dicapai, manfaat penelitian serta batasan masalah dalam penelitian ini.

BAB II : TINJAUAN PUSTAKA DAN DASAR TEORI

Pada bab ini disajikan beberapa penelitian sebelumnya yang terkait dan dijadikan referensi penulis dalam melakukan penelitian ini. Bab ini juga memuat landasan teori, persamaan serta standard/codes yang digunakan dalam penelitian ini.

BAB III : METODOLOGI PENELITIAN

Pada bab ini dijelaskan tentang alur proses penelitian, mulai dari studi literatur, pengumpulan data, hingga proses analisis.

BAB IV : HASIL DAN PEMBAHASAN

Pada bab ini disajikan hasil penelitian yang diperoleh dalam bentuk Tabel dan gambar/grafik serta pembahasan dari tiap-tiap hasil yang diperoleh.

BAB V : KESIMPULAN DAN SARAN

Bab ini berisi penarikan kesimpulan yang diperoleh dari hasil penelitian guna menjawab rumusan masalah yang ada. Pada bab ini juga berisikan saran sebagai tindak lanjut dari penelitian ini kedepannya.

BAB II

TINJAUAN PUSTAKA DAN DASAR TEORI

2.1 Tinjauan Pustaka

Analisis free span pada jaringan pipa bawah laut yang telah beroperasi sangat penting dilakukan guna mengetahui perlukah adanya tindakan agar pipa tersebut terhindar dari kegagalan. Panjang bentangan bebas pipa tidak diperbolehkan melebihi batas izin yang ditentukan. Penelitian mengenai analisis *free span* pada pipa bawah laut banyak dilakukan pada beberapa *thesis* dan jurnal. Seperti penelitian yang dilakukan Arif (2012), membahas tentang *freespan* pipa bawah laut akibat adanya *scouring*. Dalam penelitian tersebut disebutkan bahwa bentangan bebas pada pipa sangat berbahaya terhadap konstruksi pipa yang nantinya mengakibatkan kerusakan. Bending diakibatkan beban statis yang timbul pada pipa. Sementara itu beban siklis berakibat pipa terkena beban dinamis. Fenomena vortex shedding ditimbulkan akibat beban dinamis, dimana disebabkan getaran/osilasi pada pipa.

Pratomo (2015), telah melakukan analisis tentang stabilitas pipa bawah laut akibat terjadinya bentangan bebas. Pada pipa bawah laut yang frekuensi *vortex sheddingnya* mendekati frekuensi natural akan terjadi osilasi atau getaran. Dengan terjadinya osilasi maka dimungkinkan pipa akan mengalami kelelahan yang berdampak pada berkurangnya umur operasi. Untuk mengurangi resiko terjadinya kegagalan akibat *freespan* bisa dilakukan dengan menambahkan support agar kestabilan pipa tetap terjaga.

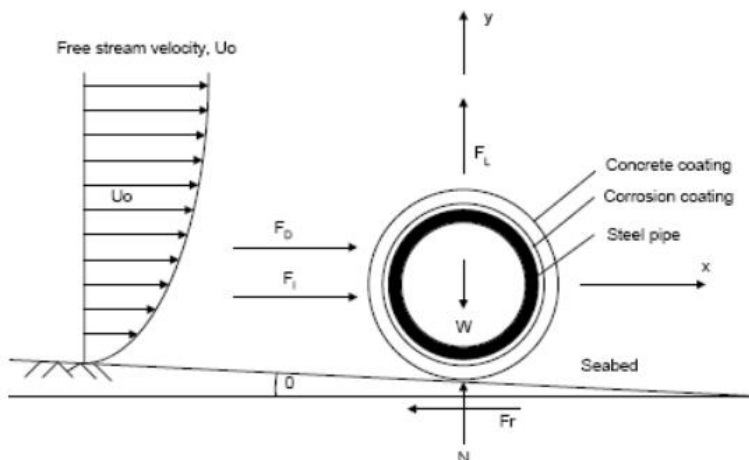
Tugas akhir ini mengacu pada analisis yang dilakukan oleh Syahroni (2018), yang membahas tentang analisis dinamis dilakukan pada *free span* yang mengalami VIV untuk mengetahui keadaan pipa dalam kondisi beroperasi yang rentan akan terjadinya kegagalan seperti kelelahan pipa. Pada bagian saran menyebutkan pada tugas akhir ini dapat dilakukan analisis stabilitas pipa bawah laut akibat adanya VIV yang kemudian saran ini penulis jadikan sebagai topik tugas akhir.

2.2 Dasar Teori

2.2.1 Stabilitas Pipa Bawah Laut

Stabilitas pipa bawah laut merupakan kemampuan kestabilan pipa di dasar laut, baik kestabilan dalam arah vertikal maupun arah horizontal. Kestabilan pipa bawah laut sangat dipengaruhi oleh gaya-gaya lingkungan yang bekerja pada pipa, berat pipa dalam air dan resistensi tanah di dasar laut.

Gaya lingkungan yang masuk ke dalam analisis kestabilan pipa bawah laut merupakan gabungan dari gaya-gaya hidrodinamika, seperti gaya seret (*drag force*), gaya inersia (*inertia force*), dan gaya angkat (*lift force*). Sedangkan resistensi tanah dasar laut merupakan gaya gesek yang terjadi antara pipa dengan permukaan tanah dasar laut. Berikut Gambar 2.1 merupakan ilustrasi gaya-gaya yang bekerja pipa bawah laut :



Gambar 2.1 Diagram Gaya yang Bekerja pada Pipa di Dasar Laut

Sumber : *Offshore Pipeline Design, Analisys, and Method* (A.H.Mouselli)

2.2.1.1 Stabilitas Vertikal Pipa dalam Air

Untuk menghindari pipa mengapung dalam air, berat pipa yang terendam harus memenuhi kriteria berikut :

$$\gamma_w \frac{b}{b + w_s} \leq 1 \quad \dots(2.1)$$

Keterangan :

γ_w : safety factor = 1.1

B : bouyancy pipa

Ws : berat pipa terendam

2.2.1.2 Stabilitas Absolut Lateral

Metode ini memberikan kriteria absolut statis untuk keseimbangan statis pipa, dimana pipa tidak akan mengalami perpindahan lateral saat menahan beban hidrodinamika maksimum selama kondisi badai. Desain kriteria untuk metode *absolute stability* adalah sebagai berikut :

$$\gamma_{sc} \frac{F_y^* + \mu F_z^*}{\mu w_s + F_R} \leq 1.0 \quad \dots(2.2)$$

dan

$$\gamma_{sc} \frac{F_z^*}{w_s} \leq 1.0 \quad \dots(2.3)$$

Keterangan :

γ_{sc} : safety factor

F_y^* : beban hidrodinamis horizontal (gaya drag dan inertia)

F_z^* : beban hidrodinamis vertikal (gaya angkat)

μ : koefisien friksi

w_s : berat terendam pipa

Beban horizontal dan vertikal maksimal diperoleh dengan persamaan berikut:

$$F_y^* = r_{tot,y} \cdot \frac{1}{2} \rho_w \cdot D \cdot C_y^* (U^* + V^*)^2 \quad \dots(2.4)$$

$$F_z^* = r_{tot,z} \cdot \frac{1}{2} \rho_w \cdot D \cdot C_z^* (U^* + V^*)^2 \quad \dots(2.5)$$

Keterangan :

$r_{tot,y}$: reduksi beban horizontal

$r_{tot,z}$: reduksi beban vertikal

ρ_w : densitas air

D : diameter pipa

C_y^* : koefisien beban horizontal

g : koefisien beban vertical

Koefisien C_y^* dan C_z^* terdapat pada Tabel 2.1 dan Tabel 2.2 berikut:

Tabel 2.1 Koefisien Beban Horizontal (DNV RP-F109, 2010)

| C_y^* | M^* | K* | | | | | | | | | | |
|---------|-------|------|------|------|------|------|------|------|------|------|------|------------|
| | | 2.5 | 5 | 10 | 20 | 30 | 40 | 50 | 60 | 70 | 100 | ≥ 140 |
| 0.0 | 0.0 | 13.0 | 6.80 | 4.55 | 3.33 | 2.72 | 2.40 | 2.15 | 1.95 | 1.80 | 1.52 | 1.30 |
| | 0.1 | 10.7 | 5.76 | 3.72 | 2.72 | 2.20 | 1.90 | 1.71 | 1.58 | 1.49 | 1.33 | 1.22 |
| | 0.2 | 9.02 | 5.00 | 3.15 | 2.30 | 1.85 | 1.58 | 1.42 | 1.33 | 1.27 | 1.18 | 1.14 |
| | 0.3 | 7.64 | 4.32 | 2.79 | 2.01 | 1.63 | 1.44 | 1.33 | 1.26 | 1.21 | 1.14 | 1.09 |
| | 0.4 | 6.63 | 3.80 | 2.51 | 1.78 | 1.46 | 1.32 | 1.25 | 1.19 | 1.16 | 1.10 | 1.05 |
| | 0.6 | 5.07 | 3.30 | 2.27 | 1.71 | 1.43 | 1.34 | 1.29 | 1.24 | 1.18 | 1.08 | 1.00 |
| | 0.8 | 4.01 | 2.70 | 2.01 | 1.57 | 1.44 | 1.37 | 1.31 | 1.24 | 1.17 | 1.05 | 1.00 |
| | 1.0 | 3.25 | 2.30 | 1.75 | 1.49 | 1.40 | 1.34 | 1.27 | 1.20 | 1.13 | 1.01 | 1.00 |
| | 2.0 | 1.52 | 1.50 | 1.45 | 1.39 | 1.34 | 1.20 | 1.08 | 1.03 | 1.00 | 1.00 | 1.00 |
| | 5.0 | 1.11 | 1.10 | 1.07 | 1.06 | 1.04 | 1.01 | 1.00 | 1.00 | 1.00 | 1.00 | 1.00 |
| | 10 | 1.00 | 1.00 | 1.00 | 1.00 | 1.00 | 1.00 | 1.00 | 1.00 | 1.00 | 1.00 | 1.00 |

Tabel 2.2 Koefisien Beban Vertical (DNV RP-F109, 2010)

| C_z^* | M^* | K* | | | | | | | | | | |
|---------|-------|------------|------|------|------|------|------|------|------|------|------|------------|
| | | ≤ 2.5 | 5 | 10 | 20 | 30 | 40 | 50 | 60 | 70 | 100 | ≥ 140 |
| 0.0 | 0.0 | 5.00 | 5.00 | 4.85 | 3.21 | 2.55 | 2.26 | 2.01 | 1.81 | 1.63 | 1.26 | 1.05 |
| | 0.1 | 3.87 | 4.08 | 4.23 | 2.87 | 2.15 | 1.77 | 1.55 | 1.41 | 1.31 | 1.11 | 0.97 |
| | 0.2 | 3.16 | 3.45 | 3.74 | 2.60 | 1.86 | 1.45 | 1.26 | 1.16 | 1.09 | 1.00 | 0.90 |
| | 0.3 | 3.01 | 3.25 | 3.53 | 2.14 | 1.52 | 1.26 | 1.10 | 1.01 | 0.99 | 0.95 | 0.90 |
| | 0.4 | 2.87 | 3.08 | 3.35 | 1.82 | 1.29 | 1.11 | 0.98 | 0.90 | 0.90 | 0.90 | 0.90 |
| | 0.6 | 2.21 | 2.36 | 2.59 | 1.59 | 1.20 | 1.03 | 0.92 | 0.90 | 0.90 | 0.90 | 0.90 |
| | 0.8 | 1.53 | 1.61 | 1.80 | 1.18 | 1.05 | 0.97 | 0.92 | 0.90 | 0.90 | 0.90 | 0.90 |
| | 1.0 | 1.05 | 1.13 | 1.28 | 1.12 | 0.99 | 0.91 | 0.90 | 0.90 | 0.90 | 0.90 | 0.90 |
| | 2.0 | 0.96 | 1.03 | 1.05 | 1.00 | 0.90 | 0.90 | 0.90 | 0.90 | 0.90 | 0.90 | 0.90 |
| | 5.0 | 0.91 | 0.92 | 0.93 | 0.91 | 0.90 | 0.90 | 0.90 | 0.90 | 0.90 | 0.90 | 0.90 |
| | 10 | 0.90 | 0.90 | 0.90 | 0.90 | 0.90 | 0.90 | 0.90 | 0.90 | 0.90 | 0.90 | 0.90 |

2.2.2 Beban Lingkungan

Beban lingkungan merupakan beban yang bekerja pada pipa karena adanya kondisi lingkungan. Untuk pipa bawah laut beban yang bekerja yaitu beban gelombang dan beban arus. Beban lingkungan ini bersifat acak sehingga data yang digunakan adalah data kala ulang (*return period*).

2.2.2.1 Gelombang

Gaya-gaya hidrodinamika yang bekerja pada struktur lepas pantai belum bisa dihitung secara eksak, oleh karena itu digunakan metode penyederhanaan untuk mendekati perhitungan gaya hidrodinamik pada struktur lepas pantai tersebut. Pendekatan ini harus bisa menggambarkan lokasi dimana pipa diletakkan.

Gelombang laut acak dalam kurun waktu pendek dapat dijelaskan dengan spektra gelombang. Spektra Pierson-Moskowitz (PM) dan JONSWAP merupakan spektra yang sering digunakan. Spektra PM ditujukan untuk laut terbuka, sedangkan spektra JONSWAP merupakan formulasi yang dimodifikasi dari spektra PM untuk laut dengan batas fetch.

Pada tugas akhir ini karena lokasi peletakan pipa berada pada laut tertutup maka digunakan spektra JONSWAP. Adapun persamaan spectra JONSWAP dijelaskan sebagai berikut :

$$S_{\eta\eta}(\omega) = \alpha \cdot g^2 \cdot \omega^{-5} \exp\left(-\frac{5}{4}\left(\frac{\omega}{\omega_p}\right)^{-4}\right) \gamma \exp\left(-0.5\left(\frac{\omega-\omega_p}{\sigma \cdot \omega_p}\right)^2\right) \quad \dots(2.6)$$

dengan :

α : konstanta *Generalized Phillips*

$$\alpha = \frac{5}{16} \frac{H_s^2 \omega_p^4}{g^2} (1 - 0.287 \ln \gamma) \quad \dots(2.7)$$

σ : Parameter lebar spektra

$$\sigma = \begin{cases} 0.07 & \text{jika } \omega \leq \omega_p \\ 0.09 & \text{jika } \omega > \omega_p \end{cases} \quad \dots(2.8)$$

γ : faktor *peak – enhancement*

$$\gamma = \begin{cases} 5.0 & \varphi \leq 3.6 \\ \exp(5.75 - 1.15\varphi) & 3.6 < \varphi < 5.0; \quad \varphi = \frac{T_p}{\sqrt{H_s}} \\ 1.0 & \varphi \geq 5.0 \end{cases} \quad \dots(2.9)$$

Keterangan :

$S_{\eta\eta}(\omega)$: Spektrum JONSWAP

g : Percepatan gravitasi (m/s^2)

ω : Frekuensi gelombang (rad/s)

ω_p : Frekuensi puncak gelombang (rad/s)

Spektra kecepatan gelombang pada dasar laut $S_{UU}(\omega)$ ditentukan dengan transformasi gelombang pada permukaan menggunakan persamaan berikut :

$$S_{UU}(\omega) = G^2(\omega) S_{\eta\eta}(\omega) \quad \dots(2.10)$$

dengan :

$G(\omega)$: konstanta (*transfer function*)

$$G(\omega) = \frac{\omega}{\sinh(k d)} \quad \dots(2.11)$$

ω : frekuensi gelombang, diperoleh dari iterasi persamaan ω^2/g

$$\frac{\omega^2}{g} = k \tanh(k d) \quad \dots(2.12)$$

Keterangan :

g : Percepatan gravitasi

k : Angka gelombang

d : Kedalaman laut

Momen spektra pada orde ke – n diberikan seperti persamaan sebagai berikut:

$$M_n = \int_0^\infty \omega^n S_{UU}(\omega) d\omega \quad \dots(2.13)$$

dengan :

- M_n : momen *spectra*
 ω : frekuensi gelombang

Kecepatan aliran gelombang signifikan pada pipa diberikan pada persamaan berikut:

...(2.14)

$$U_s = 2\sqrt{M_0}$$

dengan :

- U_s : Kecepatan aliran gelombang signifikan pada seabed
 M_o : momen *spectra* pertama

Mean zero up-crossing period dari osilasi aliran pada pipa diberikan pada persamaan sebagai berikut :

$$T_u = 2\pi \sqrt{\frac{M_0}{M_2}} \quad \dots(2.15)$$

dengan :

- T_u : *Mean zero up – crossing period*
 M_o : momen *spectra* pertama
 M_2 : momen *spectra* kedua

Dengan asumsi teori gelombang linear, T_n diberikan pada persamaan berikut :

$$T_n = \sqrt{\frac{d}{g}} \quad \dots(2.16)$$

dengan :

- T_n : *reference period*
 d : kedalaman laut
 g : percepatan gravitasi

Rasio antara *single oscillation velocity* dan *spectral velocity amplitude* pada osilasi τ adalah diberikan pada persamaan berikut :

$$k_U = \frac{U^*}{U_s} = \frac{1}{2} \left(\sqrt{2 \cdot \ln \tau} + \frac{0.5772}{\sqrt{2 \cdot \ln \tau}} \right) \quad \dots(2.17)$$

dengan :

k_U : rasio single oscillation velocity & spectral velocity amplitude

τ : jumlah osilasi pada keadaan bada

Dengan adanya *wave directional and spreading effect*, maka reduksi terhadap U^* diberikan pada persamaan berikut :

$$U_w = R_D U^* \quad \dots(2.18)$$

dengan :

U_w : *single oscillation velocity* setelah reduksi

R_D : *reduction factor*

U^* : *single oscillation velocity*

Sedangkan rasio antara *single oscillation period* dan *mean zero-up crossing period* diberikan pada persamaan berikut :

$$k_T = \frac{T^*}{T_u} = \begin{cases} k_t(k_t - 1) T_n/T_u & \text{for } T_n/T_u \leq 0.2 \\ 1 & \text{for } T_n/T_u > 0.2 \end{cases} \quad \dots(2.19)$$

dengan :

$$k_t = \begin{cases} 1.25 & \text{for } \gamma = 1.0 \\ 1.21 & \text{for } \gamma = 3.3 \\ 1.17 & \text{for } \gamma = 5.0 \end{cases}$$

k_T : rasio *single oscillation period* & *mean zero up crossing period*

T_n : *reference period*

T_u : *mean zero – up crossing period*

γ : *peakness parameter*

2.2.2.2 Arus

Arus steady pada pipa mempunyai keterkaitan dengan,

- ✓ Pasang surut
- ✓ Angin
- ✓ Gelombang akibat badai dan densitas

Kecepatan arus yang melewati pipa diberikan pada persamaan berikut :

$$U_C = R_C \cdot U_{(z_r)} \frac{(\ln(z) - \ln(z_0))}{(\ln(z_r) - \ln(z_0))} \quad \dots(2.20)$$

dimana :

U_C : Kecepatan arus pada level pipa (m/s)

$U_{(z_r)}$: Kecepatan arus pada ketinggian referensi (m/s)

R_C : Faktor reduksi kecepatan arus

z_r : Elevasi refrensi

$$R_C = \sin(\theta_{rel}) \quad \dots(2.21)$$

(θ_{rel}) : sudut datang aliran arus terhadap pipa

$$z = e + \frac{D_t}{2} \quad \dots(2.22)$$

z : Elevasi dasar laut

z_0 : Parameter kekasaran bawah laut (untuk nilai parameter sesuai DNV RP F109, ditampilkan pada Tabel 2.3 berikut :

Tabel 2.3 Seabed Roughness (DNV RP F109, 2010)

| Seabed | Grain size d_{50} [mm] | Roughness z_0 [m] |
|---------------|--------------------------|---------------------------|
| Silt and clay | 0.0625 | $\approx 5 \cdot 10^{-6}$ |
| Fine sand | 0.25 | $\approx 1 \cdot 10^{-5}$ |
| Medium sand | 0.5 | $\approx 4 \cdot 10^{-5}$ |
| Coarse sand | 1.0 | $\approx 1 \cdot 10^{-4}$ |
| Gravel | 4.0 | $\approx 3 \cdot 10^{-4}$ |
| Pebble | 25 | $\approx 2 \cdot 10^{-3}$ |
| Cobble | 125 | $\approx 1 \cdot 10^{-2}$ |
| Boulder | 500 | $\approx 4 \cdot 10^{-2}$ |

2.2.2 Massa Efektif Pipa

Massa efektif pipa merupakan penjumlahan dari masa pipa, massa konten pipa, massa tambah dan massa selimut beton pipa (concrete). Menurut Bai dan Bai (2005), persamaan massa efektif pipa dijelaskan pada persamaan berikut :

$$m_e = m_{str} + m_c + m_a \quad \dots(2.23)$$

Dimana

$$m_e = \text{Massa efektif} \quad (\text{kg/m})$$

$$m_{str} = \text{Massa struktur pipa (termasuk coating)} \quad (\text{kg/m})$$

$$m_c = \text{Massa Konten} \quad (\text{kg/m})$$

$$m_a = \text{Massa tambah} \quad (\text{kg/m})$$

a. Massa Struktur Pipa

Massa struktur pipa merupakan penjumlahan dari massa pipa, massa lapisan anti korosi dan massa selimut beton (*concrete*). Rumus perhitungan massa struktur dijabarkan pada persamaan berikut :

$$m_{str} = m_{st} + m_{cc} + m_{conc} \quad \dots(2.24)$$

$$m_{st} = \pi \frac{(Do^2 - Di^2)}{4} \rho_{st} \quad \dots(2.25)$$

$$m_{cc} = \pi \frac{(Dcc^2 - Do^2)}{4} \rho_{cc} \quad \dots(2.26)$$

$$m_{conc} = \pi \frac{(Dwc^2 - Do^2)}{4} \rho_{conc} \quad \dots(2.27)$$

Dimana

$$m_{str} = \text{Massa struktur pipa} \quad (\text{kg/m})$$

$$m_{st} = \text{Massa pipa baja} \quad (\text{kg/m})$$

$$m_{cc} = \text{Massa lapisan anti korosi} \quad (\text{kg/m})$$

$$m_{conc} = \text{Massa selimut beton} \quad (\text{kg/m})$$

$$\rho_{st} = \text{Massa jenis baja} \quad (\text{kg/m}^3)$$

$$\rho_{cc} = \text{Massa jenis lapisan anti korosi} \quad (\text{kg/m}^3)$$

$$\rho_{conc} = \text{Massa jenis selimut beton} \quad (\text{kg/m}^3)$$

b. Massa Konten Pipa

$$m_c = \pi \frac{(Di^2)}{4} \rho_c \quad \dots(2.28)$$

Dimana

$$\rho_{cc} = \text{Massa jenis konten pipa} \quad (\text{kg/m}^3)$$

c. Massa Tambah

Menurut DNV RP-F105 massa tambah dapat ditentukan dengan persamaan berikut :

$$m_a = \pi \frac{(Di^2)}{4} \cdot \rho_w \cdot C_a \quad \dots(2.29)$$

Dimana

$$\rho_w = \text{Massa jenis air laut} \quad (\text{kg/m}^3)$$

$$C_a = \text{Koefisien massa tambah}$$

Untuk koefisien massa tambah dapat dicari dengan menggunakan persamaan berikut :

$$C_a = \begin{cases} 0.68 + \frac{1.6}{1 + 5\left(\frac{e}{Dt}\right)} & \text{Untuk } e/Dt < 0.8 \\ 1 & \text{Untuk } e/Dt \geq 0.8 \end{cases} \quad \dots(2.30)$$

Dimana

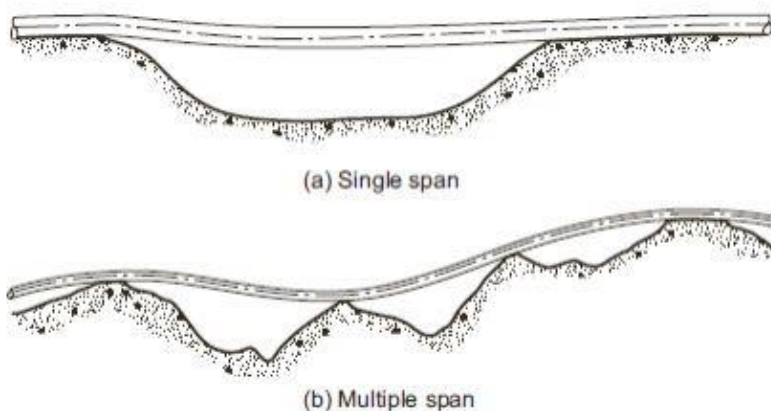
$$e = \text{Jarak antara seabed dan pipa}$$

$$e/Dt = \text{Rasio } gap span \text{ dengan diameter total pipa}$$

2.2.3 Free Span

Konfigurasi pipa di dasar laut tergantung dari profil topografi dasar laut tempat pipa diletakkan, jenis tanah, tegangan sisa, kekakuan pipa, serta berat terendamnya. Pipa cenderung membentuk span atau bentangan dari pada

mengikuti topografi dasar laut karena topografinya yang sangat tidak teratur atau kasar. Span pada pipa dapat terbentuk karena penyimpangan selama instalasi, scouring (penggerusan) dan gerakan horizontal pipa selama operasi. Jenis span pada *pipeline* tidak hanya bentangan tunggal (*single span*), namun juga beberapa bentangan (*multi span*). *Multi span* yang berdekatan dapat saling berpengaruh atau saling berinteraksi (Bai, 2014). Berikut ditampilkan tipe-tipe span pada Gambar 2.2 di bawah ini

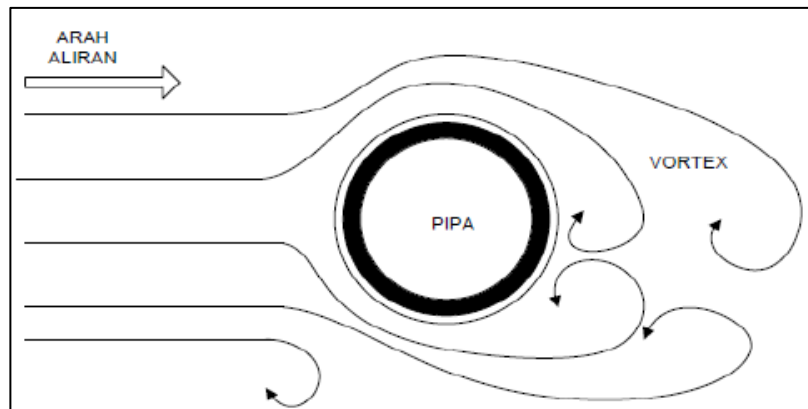


Gambar 2.2 Tipe Span

Sumber: *Bai dan Bai, 2014*

2.2.4 Vortex Induced Vibration (VIV)

Ketika struktur ramping seperti pipa terkena beban gelombang dan arus laut, struktur tersebut akan mengalami getaran yang cukup signifikan. Selain akibat adanya beban lingkungan, partikel air yang mengalir disekitar pipa yang mengalami *free span* akan mengakibatkan pusaran (*vortices*). Pusaran tersebut terbentuk karena turbulensi dan ketidakstabilan aliran di belakang pipa. Pelepasan pusaran (*vortex shedding*) ini bisa menimbulkan getaran yang biasa disebut dengan *vortex induced vibration* (VIV). Berikut pada Gambar 2.3 ditampilkan ilustrasi *vortex induced vibration* pada pipa bawah laut:



Gambar 2.3 Ilustrasi *Vortex Induced Vibration* pada Pipa

Sumber : Guo, 2005

2.2.4.1 Kriteria Aliran

VIV yang terbentuk di sekitar pipa diklasifikasikan menjadi 3 kriteria sesuai dengan *current flow velocity* rationya, dimana dirumuskan :

$$\alpha = \frac{U_{C,100 \text{ tahun}}}{U_{C,100 \text{ tahun}} + U_{W,1 \text{ tahun}}} \quad \dots(2.31)$$

dengan :

α : *current flow velocity*

U_w : Kecepatan signifikan gelombang *induced*

U_c : Kecepatan Arus (m/s)

Untuk kriteria Aliran menurut DNV RP F105, ditampilkan pada Tabel 2.4 berikut :

Tabel 2.4 Kriteria Aliran (DNV RP F105, 2006)

| | |
|----------------|---|
| $\alpha < 0.5$ | Gelombang Dominan ($U_w > U_c$) <u>Arah Inline</u> : Pembebanan arah <i>In-line</i> dihitung berdasarkan persamaan Morrison. <i>In-line</i> VIV akibat <i>vortex shedding</i> diabaikan. <u>Arah crossflow</u> : Beban arah <i>cross-flow</i> dominan disebabkan oleh <i>vortex shedding</i> |
|----------------|---|

| | |
|----------------------|--|
| $0.5 < \alpha < 0.8$ | <p>Gelombang Dominan ($U_w < U_c$)</p> <p>Arah <i>Inline</i> : Pembebanan arah <i>In-line</i> dihitung berdasarkan persamaan Morrison. <i>In-line</i> VIV akibat <i>vortex shedding</i> berkurang dengan keberadaan gelombang.</p> <p>Arah <i>crossflow</i> : Beban Cross-flow dominan disebabkan oleh <i>vortex shedding</i> asimetris dan menunjukkan situasi arus yang dominan.</p> |
| $\alpha > 0.8$ | <p>Gelombang Dominan ($U_w >> U_c$)</p> <p>Arah <i>Inline</i> : Pembebanan <i>In-line</i> berdasarkan <i>steady drag component</i> dan <i>oscillatory component</i> akibat <i>vortex shedding</i>. Pembebanan <i>In-line</i> dihitung berdasarkan persamaan Morrison diabaikan.</p> <p>Arah <i>crossflow</i> : Pembebanan arah <i>cross-flow</i> secara siklik akibat <i>vortex shedding</i>, dan menunjukkan situasi arus murni yang dominan.</p> |

2.2.4.2 Reynold Number

Persamaan *reynold number* diberikan sebagai berikut :

$$R_e = \frac{(U_{tot} \cdot D_t)}{\nu} \quad \dots(2.32)$$

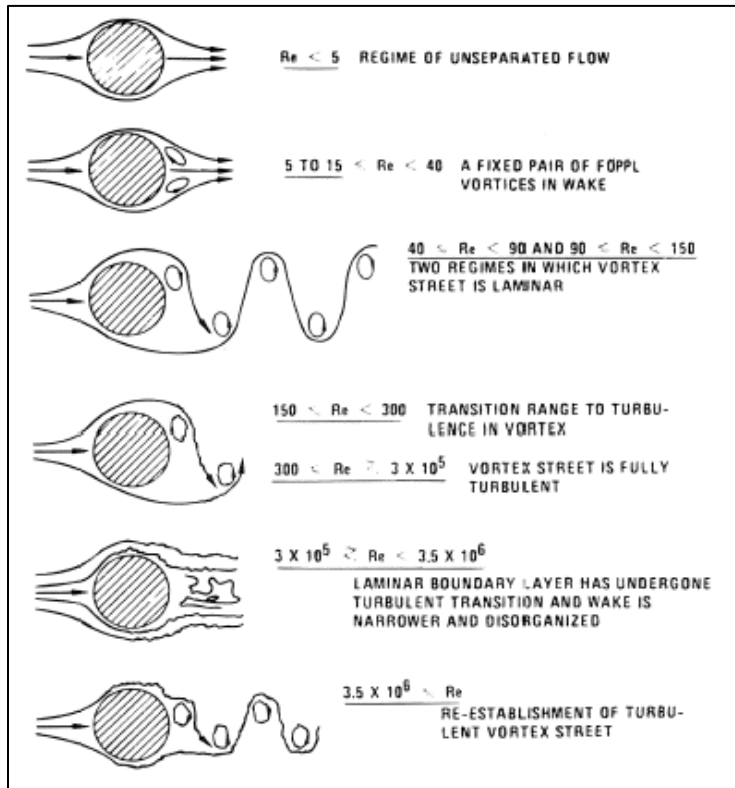
dengan :

U_{tot} : kecepatan total aliran (m/s)

ν : viskositas kinematis air (m²/s), [1.5 x 10 – 6 (m²/s)]

D_t : diameter luar pipa (m)

Selain itu, dari hasil perhitungan bilangan Reynolds dapat mempresentasikan aliran yang terjadi di belakang struktur *pipeline*. Bentuk aliran yang dihasilkan berbeda-beda, tergantung pada nilai Re yang didapat. Untuk bentuk aliran berdasarkan bilangan Reynolds ditampilkan pada Gambar 2.4 berikut :



Gambar 2.4 Bentuk Aliran Fluida Pada Silinder

Dari gambar di atas didapat penjelasan mengenai terbentuknya *vortex* di belakang silinder sebagai berikut :

- Nilai *Reynold Number* < 5 , aliran yang melewati silinder belum membentuk aliran *vortex*.
- Nilai *Reynold Number* $5 - 15 < Re < 40$, aliran yang melewati silinder akan membentuk *foppl vortices*.
- Nilai *Reynold Number* $40 < Re < 90$ dan $90 < Re < 150$, terbentuk dua daerah aliran *vortex* pada bagian sisi kanan dan kiri dari silinder dimana sifat dari *vortex* yang terbentuk adalah laminar.
- Nilai *Reynold Number* $150 < Re < 300$, merupakan rentang terjadinya perubahan aliran menjadi turbulen, $300 < Re < 3 \times 10^5$ aliran *vortex* sepenuhnya turbulen.
- Nilai *Reynold Number* $3 \times 10^5 < Re < 3.5 \times 10^6$, *laminer boundary condition* membentuk atau memisahkan aliran. Aliran turbulen bertransisi menjadi aliran lebih sempit dan tidak teratur.
- Nilai *Reynold Number* $Re > 3.5 \times 10^6$, aliran *vortex* yang terjadi pada belakang silinder akan menjadi banyak dan semakin tidak teratur.

2.2.4.3 Stability Parameter

Menurut Guo dkk. (2005), salah satu parameter penting dalam mengatur gerakan akibat *vortex* adalah *Stability parameter*. Parameter ini digunakan untuk menentukan respon maksimal akibat beban hidrodinamis. Persamaan *stability parameter* adalah sebagai berikut :

$$K_s = \frac{4\pi m_e \zeta_T}{\rho D^2} \quad \dots(2.33)$$

dengan :

K_s : *parameter stability*

M_e : massa efektif pipa (kg/m)

ζ_T : damping ratio

ρ : *density air laut* (kg/m^3)

D : diameter luar pipa (m)

Di dalam DNV RP F105 (2006) total modal damping ratio terdiri dari:

- Structural Damping (ζ_{str}), merupakan damping yang diakibatkan oleh gaya gesekan internal material pipa. Jika tidak tersedia data yang detail, structural damping dapat diasumsikan sebesar 0.05. Jika terdapat concrete, maka geser pada permukaan selimut beton dan corrosion coating dapat meningkatkan damping menjadi 0.01-0.02
- Hydrodynamic Damping (ζ_h) untuk VIV yang terletak di daerah lock-in nilainya dapat dianggap 0.
- Soil damping (ζ_{soil}), untuk tujuan screening bernilai 0.01.
- Di dalam DNV RP F105, stability parameter ini dibagi dengan safety factor untuk meningkatkan keamanan.

2.2.4.4 Reduced Velocity (V_R)

Persamaan *Reduced Velocity* dijelaskan sebagai berikut:

$$V_R = \frac{U_c \cdot U_w}{f_n \cdot D_t} \quad \dots(2.34)$$

U_C : kecepatan normal arus pada pipa (m/s)

U_W : kecepatan aliran gelombang signifikan yang mengenai pipa (m/s)

f_n : frekuensi natural (Hz)

D_t : diameter luar pipa (m)

2.2.4.5 Keulegen-Carpenter Number (KC)

Persamaan *Keulegen-Carpenter Number* dijelaskan sebagai berikut:

$$KC = \frac{U_W}{f_W \cdot D_t} \quad \dots(2.35)$$

f_W : frekuensi gelombang signifikan (Hz)

2.2.4.6 Frekuensi Vortex Shedding

Frekuensi vortex shedding sangat berhubungan dengan diameter pipa dan kecepatan aliran. Jika frekuensi *vortex shedding* mendekati frekuensi natural bentangan bebas pipa, maka resonansi akan terjadi dan pipa mengalami getaran. Pipa dapat mengalami kegagalan akibat *vortex induced vibration*. Kegagalan pipa ini dapat dicegah jika frekuensi *vortex shedding* memiliki perbedaan cukup besar dengan frekuensi natural pipa (Mouselli, 1981). Nilai frekuensi *vortex shedding* dapat dihitung dengan menggunakan persamaan dibawah ini :

$$f_s = \frac{S \cdot U_c}{D} \quad \dots(2.36)$$

dengan :

F_s : Frekuensi *vortex shedding*

S : *Strouhal Number* (0.2 untuk silinder bulat)

U_c : Kecepatan Arus (m/s)

D : Diameter luar pipa

2.2.5 Gaya Hidrodinamis

Pipa bawah laut didesign harus bisa menahan gaya-gaya yang bekerja di dasar laut dimana pipa itu meletak. Berat pipa yang tenggelam harus lebih besar

dari gaya-gaya yang bekerja di sekitarnya. Gaya hidrodinamis yang bekerja di sekitar pipa antara lain gaya angkat (*lift*), gaya *drag* dan gaya *inertia*.

2.2.5.1 Gaya *Lift*

Gaya Lift atau angkat adalah gaya yang bekerja tegak lurus terhadap arah rambat gelombang atau arus. Gaya ini muncul akibat adanya aliran di atas pipa yang memiliki kecepatan lebih besar dibandingkan aliran di bawah pipa, tekanan aliran yang muncul di atas pipa akan lebih kecil dibandingkan tekanan aliran di bawah pipa. Perbedaan tekanan ini akan mengakibatkan pipa terangkat. Besar gaya angkat dapat diperoleh dengan persamaan berikut:

$$F_L = \frac{1}{2} \cdot \rho_w \cdot D_t \cdot C_L \cdot (U_w + U_c)^2 \quad \dots(2.37)$$

dimana,

F_L : Gaya *Lift* (N/m)

ρ_w : Massa jenis air laut (Kg/m^3)

D_t : Diameter total pipa (coating)(m)

C_L : koefisien gaya *lift* (Persamaan 2.37)

U_w : kecepatan partikel air akibat gelombang (m/s^2)

U_c : kecepatan arus laut (m/s^2)

2.2.5.2 Gaya *Drag*

Gaya *drag* adalah gaya yang bekerja dalam arah horizontal. Berkaitan dengan kecepatan akibat arus *steady* yang dibangkitkan oleh gelombang. Kecepatan arus total (kecepatan arus akibat gelombang dan kecepatan arus pada elevasi pipa) mempengaruhi nilai dari gaya drag. Besar gaya drag dapat diperoleh dengan persamaan berikut:

$$F_D = \frac{1}{2} \cdot \rho_w \cdot D_t \cdot C_D \cdot (U_w + U_c)^2 \quad \dots(2.38)$$

Dimana:

F_D : gaya *drag* (N/m)

ρ_w : Massa jenis air laut (Kg/m^3)

D_t : Diameter total pipa (coating)(m)

C_D : koefisien drag (Persamaan 2.)

U_W : kecepatan partikel air akibat gelombang (m/s^2)

U_C : kecepatan arus laut (m/s^2)

Koefisien drag pada DNV RP F105 diberikan pada persamaan berikut:

$$C_D = C_D^0(k/D_t) \cdot \psi_{KC,\alpha}^{CD} \cdot \psi_{proxy}^{CD} \cdot \psi_{trench}^{CD} \cdot \psi_{VIV}^{CD} \quad \dots(2.39)$$

Parameter koefisien drag dijelaskan berikut ini:

a. **Koefisien Drag Dasar untuk Aliran Steady (C_D^0 (k / Dt))**

Koefisien drag dasar merupakan fungsi kekasaran permukaan pipa k/D_t .

Ketentuan koefisien drag dasar dijelaskan pada persamaan berikut :

$$C_D^0 \left(\frac{k}{Dt} \right) = \begin{cases} 0,65 & ; \frac{k}{Dt} < 10^{-4} \text{ (smooth)} \\ 0,65 \left(\frac{29}{13} + \frac{4}{13} \log_{10} \left(\frac{k}{Dt} \right) \right) ; 10^{-4} < \frac{k}{Dt} < 0 & \\ 1,05 & ; \frac{k}{Dt} < 10^{-2} \text{ (rough)} \end{cases} \quad \dots(2.40)$$

k : kekasaran permukaan pipa

D_t : Diameter total pipa (coating)(m)

Untuk kekasaran permukaan pipa ditampilkan pada Tabel 2.5 berikut:

Tabel 2.5 Kekasaran Permukaan Pipa (DNV RP F105, 2006)

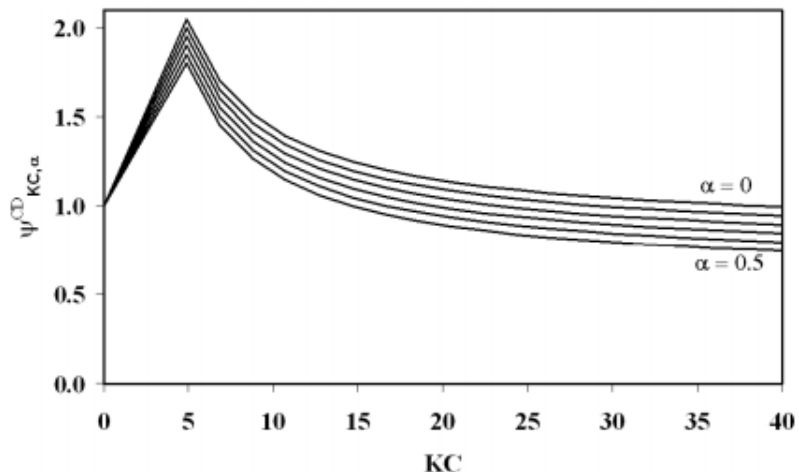
| Permukaan Pipa | k (meter) |
|-------------------------|--------------|
| <i>Steel, surface</i> | 10^{-6} |
| <i>Steel, un-coated</i> | 10^{-5} |
| <i>Concrete</i> | 1/300 |
| <i>Marine Growth</i> | 1/200 → 1/20 |

b. Faktor Koreksi untuk Aliran *Unsteady* ($\Psi_{KC,\alpha}^{CD}$)

Faktor koreksi ini digunakan untuk mempertimbangkan efek *unsteadiness* dari aliran fluida, termasuk efek bilangan *Keulegan Carpenter* dan rasio aliran arus. Ketentuan ($\Psi_{KC,\alpha}^{CD}$) dijelaskan pada persamaan dan Gambar 2.5 berikut:

$$\Psi_{KC,\alpha}^{CD} = \begin{cases} 0,85 + \frac{6}{KC} - \frac{\alpha}{2} & ; \alpha \leq 0,5 \\ 0,6 + \frac{6}{KC} & ; \alpha \leq 0,5 \end{cases} \quad 5 < KC < 4 \quad \dots(2.41)$$

Gambar 2.5 Grafik $\Psi_{KC,\alpha}^{CD}$ untuk $KC < 5$ (DNV RP F105, 2006)



Dimana,

KC : *Keulegan Carpenter Number*

Untuk $KC > 40$, komponen $6/KC$ pada persamaan di atas bernilai 0.15. Beban *drag* seringkali diperhitungkan dalam hal ini untuk nilai KC kecil dan dapat diinterpolasikan untuk melengkapi $KC < 5$.

c. Faktor Koreksi Perkiraan Dasar Laut

Ketentuan faktor koreksi perkiraan dasar laut dijelaskan pada persamaan berikut:

$$\Psi_{proxy}^{CD} = \begin{cases} 0,9 + \frac{0,5}{1 + 5 \frac{e}{Dt}} - \frac{\alpha}{2} & ; \text{untuk } \frac{e}{Dt} \leq 0,8 \\ 1 & ; \text{lainnya} \end{cases} \quad ... (2.42)$$

d. Faktor Koreksi Akibat Pengaruh *Trench*

Ketentuan faktor koreksi akibat *trench* dijelaskan pada persamaan berikut:

$$\Psi_{trench}^{CD} = 1 - \frac{2}{3} \cdot \frac{\Delta}{Dt} \quad ... (2.43)$$

Dimana Δ/Dt merupakan kedalaman relative *trench*, dapat ditentukan dengan persamaan berikut:

$$\frac{\Delta}{Dt} = \frac{1.25d - e}{D}; 0 \leq \frac{\Delta}{Dt} \leq 1 \quad ... (2.44)$$

e : jarak pipa dengan *seabed* (*gap*)

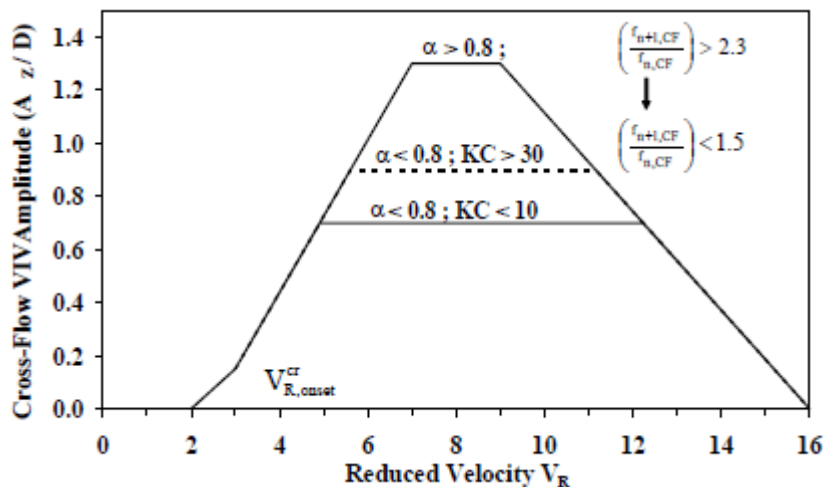
Jika pipa meletak di atas *seabed* dan tidak di *trenching* maka nilai $\Delta/Dt = 0$.

e. Faktor Amplifikasi Akibat Getaran *Cross-Flow*

Merupakan faktor tambahan karena pipa mengalami getaran crossflow. Ketentuan amplifikasi akibat getaran *cross-flow* dijelaskan pada persamaan berikut:

$$\Psi_{VIV}^{CD} = 1 + 1.043 \sqrt{2} \frac{A_Z}{Dt} \quad ... (2.45)$$

Dimana A_Z/Dt merupakan amplitudo VIV *crossflow*, ditentukan dengan diagram pada Gambar 2.6 berikut :



Gambar 2.6 Basic Cross-Flow Response Model (DNV RP F105,2006)

2.2.5.3 Gaya Inertia

Beban siklis akibat gelombang akan mengurangi atau menambah kecepatan air. Pipa akan memberikan gaya untuk menolak perubahan kecepatan partikel air yang bekerja pada pipa. Besar gaya inersia dapat diperoleh dengan persamaan berikut:

$$F_I = \frac{\pi}{4} \cdot \rho_w \cdot D_t \cdot C_M \cdot a_n \quad \dots(2.46)$$

Dimana,

F_I : Gaya Inersia (N/m)

ρ_w : Massa jenis air laut (kg/m^3)

C_M : Koefisien gaya inersia

D_t : Diameter total pipa (coating)(m)

a_n : Percepatan partikel air (m/s^2)

2.2.6 Analisis Dinamis

Pipa yang terletak didasar laut akan terkena beban hidrodinamis baik akibat gelombang maupun arus. Pada pipa yang mengalami *free span*, beban hidrodinamis dan aliran partikel yang mengalir di sekitar pipa bisa menimbulkan pusaran (*vortices*). Pelepasan pusaran (*vortex shedding*) ini bisa menimbulkan getaran yang biasa disebut dengan *vortex induced vibration* (VIV). Getaran yang

terjadi secara terus menerus bisa mengakibatkan berkurangnya umur pipa hingga keruntuhan pada struktur pipa.

Sebelum menghitung frekuensi natural dari pipeline, diperlukan beberapa variable pendukung seperti *Concrete Stiffness Factor* (CSF), Panjang Span Efektif (Leff), *Effective Axial Force* (Seff) *Critical Buckling* (Pcr), dan Defleksi.

2.2.6.1 *Boundary Condition*

Untuk melakukan analisis *free span*, diharuskan untuk menentukan kondisi peletakan dari *free span* yang ditinjau. Dalam hal ini DNV GL RP F105 telah memberikan 3 macam kondisi peletakan sesuai dengan teori pembebanan. Berikut ini adalah keterangan penggunaan dari 3 kondisi peletakan.

- *Pinned-pinned*: Digunakan untuk *span* yang masing – masing ujungnya tidak diperbolehkan bergerak dalam arah *in-line & cross-flow* terhadap arah aliran arus, tetapi masih diperbolehkan berotasi terhadap sumbu pipa tersebut.
- *Fixed-fixed*: Digunakan untuk *span* yang masing – masing ujungnya tidak diperbolehkan bergerak dalam arah *in-line* dan *cross-flow* terhadap arah aliran arus, tetapi masih diperbolehkan berotasi terhadap sumbu pipa tersebut.
- *Pinned-fixed*: Digunakan untuk *span* yang salah satu ujungnya tidak diperbolehkan bergerak dalam arah *in-line* dan *cross-flow* terhadap arah aliran arus serta rotasi terhadap sumbu pipanya, sedangkan ujung yang lain masih diperbolehkan berotasi terhadap sumbu pipanya.

Boundary condition coefficient (C1-C6) ditentukan dalam DNV RP F105 yang disajikan pada Tabel 2.6 berikut:

Tabel 2.6 Koefisien *Boundary condition* (DNV RP F105, 2006)

| | <i>Pinned-pinned</i> ⁽²⁾ | <i>Fixed-fixed</i> ⁽³⁾ | <i>Single Span on seabed</i> |
|----------------|-------------------------------------|-----------------------------------|------------------------------|
| C ₁ | 1.57 | 3.56 | 3.56 |
| C ₂ | 1.0 | 4.0 | 4.0 |

| | | | |
|--|--------------------|--------------------|---|
| C ₃ | 0.8 ⁽¹⁾ | 0.2 ⁽¹⁾ | 0.4 ⁽¹⁾ |
| C ₄ | 4.93 | 14.1 | <i>Shoulder:</i> $\frac{1}{18(L_{eff}/L)^2 - 6}$ <i>Midspan:</i> 8.6 |
| C ₅ | 1/8 | 1/12 | <i>Shoulder</i> ⁽⁴⁾ : 14.1 (L/L _{eff}) ² <i>Midspan:</i> 8.6 |
| C ₆ | 5/384 | 1/384 | 1/384 |
| 1) Note that C ₃ = 0 is normally assumed for in-line direction if the steady current is not accounted for. 2) For pinned-pinned boundary condition L _{eff} shall be replaced by L in all expressions, including the expression for Pcr. 3) For fixed-fixed boundary conditions, L _{eff} /L = 1 per definition. 4) C ₅ shall be calculated using the static soil stiffness in the L _{eff} /L calculation. | | | |

2.2.6.2 Concrete Stiffness Factor (CSF)

Fungsi penambahan selimut beton adalah untuk menambah berat pipa sehingga dapat meningkatkan kestabilan pipa di dasar laut. Selain itu, penambahan selimut beton dapat mempengaruhi kekakuan pipa. *Concrete stiffness factor* menunjukkan kekakuan selimut beton relatif terhadap kekakuan pipa baja. Persamaan CSF dijelaskan pada persamaan berikut:

$$CSF = k_c \left(\frac{EI_{conc}}{EI_{steel}} \right)^{0,75} \quad \dots(2.47)$$

Dimana,

k_c : konstanta empiris

: 0.33 untuk AE dan 0.25 untuk $\frac{PP}{PE}$ coating

EI_{CONC} : bending stiffness selimut beton

EI_{STEEL} : bending stiffness pipa baja

2.2.6.3 Panjang Span Efektif

Dalam analisa panjang bentangan bebas pipa bawah laut menggunakan DNV RP F105, digunakan parameter panjang bentangan bebas yaitu panjang bentangan bebas efektif. Panjang bentangan bebas efektif digunakan untuk mempertimbangkan efek tumpuan *fully fixed* pada bentangan bebas ...(2.48) Persamaan panjang bentangan bebas efektif dijelaskan pada Persamaan berikut:

$$\frac{L_{eff}}{L} = \begin{cases} \frac{4,73}{-0,066\beta^2 + 1,02\beta + 0,63} & , \text{untuk } \beta \geq 2,7 \\ \frac{4,73}{0,036\beta^2 + 0,6\beta + 1,0} & , \text{untuk } \beta < 2,7 \end{cases}$$

Dengan,

$$\beta = \log_{10}\left(\frac{K \cdot L^4}{(1 + CSF)E_{st}I_{st}}\right) \quad \dots(2.49)$$

Dimana,

L_{eff} : Panjang efektif span (m)

L : Panjang aktual free span (m)

β : Relative soil stiffness parameter

K : Relevant soil stiffness (vertikal/ horisontal, statis/dinamis)

CSF : Concrete stiffness factor

E_{st} : Young's modulus pipa baja (N/m^2)

I_{st} : Momen inersia pipa baja (m^4)

2.2.6.4 Effective Axial Force

Pada dasarnya, ketika sebuah pipa bawah laut memiliki suatu penampang tertentu, memiliki nilai momen inersia dan kelakuan, maka pipa bawah laut dapat dikategorikan sebagai balok secara umum. Akan tetapi, pada suatu free span, pipa mengalami regangan yang disebabkan oleh pemuaian material akibat temperatur *content*, dan juga tekanan *content* tersebut ...(2.50) karena itu, pipa bawah laut memiliki karakteristik yang unik dalam analisis mekanika teknik, sehingga tidak dapat disebut balok. Sebuah free span akan mengalami regangan pada kedua ujungnya, sehingga disimpulkan ada gaya aksial yang bekerja padanya. Pada umumnya perpanjangan ini menjad suatu lendutan vertikal. Di dalam DNV RP F105, penentuan nilai *fundamental natural frequency* membutuhkan parameter *effective axial force* yang dijelaskan dalam Persamaan 2.50 berikut:

$$S_{eff} = H_{eff} - (1 - 2v) \cdot P_i \frac{\pi}{4} \cdot (D_i)^2 - \alpha_e \cdot \Delta T \cdot A_{st}$$

Dimana,

S_{eff} : effective axial force(N)

- H_{eff} : Effective lay tension(N)
 ν : Poisson ratio baja (0.3s)
 P_i : Perbedaan tekanan internal(Pa)
 D_i : Diameter dalam pipa(m)
 α_e : koefisien ekspansi suhu($^{\circ}$ C)
 ΔT : Perbedaan temperatur($^{\circ}$ C)
 A_{st} : Luas penampang pipa baja(m^2)

2.2.6.5 Critical Buckling Load

Critical buckling load dipengaruhi oleh kekakuan pipa, berat terendam pipa dan pengaruh kontak pipa dengan tanah (Bai dan Bai, 2014). Di dalam DNV GL RP F105, *critical buckling load* dapat ditetukan dengan persamaan berikut :

$$P_{cr} = (1 + CSF) C_2 \pi^2 \frac{E_{st} I_{st}}{L_{eff}^2} \quad \dots(2.51)$$

Dimana,

- P_{cr} : critical buckling load
 C_2 : boundary condition coefficient
 CSF : concrete stiffness factor
 E_{st} : Young's modulus pipa baja (N/m^2)
 I_{st} : Momen inersia pipa baja (m^4)
 L_{eff} : Panjang efektif span (m)

2.2.6.6 Static Deflection

Bentangan bebas pipa akan mengalami lendutan atau defleksi di sepanjang bagian tengah pipa yang tidak ditumpu oleh tanah. Defleksi ini terjadi di arah *cross-flow* dan *in-line*. Defleksi untuk arah *cross-flow* disebabkan karena beban terendam pipa, sedangkan untuk arah *in-line* disebabkan karena beban hidrodinamis. Terjadinya defleksi dapat meningkatkan risiko kegagalan *buckling* pipa. Di dalam DNV RP F105, *static deflection* dijelaskan dalam persamaan berikut:

$$\delta = C_6 \pi^2 \frac{q \cdot L_{eff}^4}{E_{st} I_{st} \cdot (1 + CSF)} \cdot \frac{1}{(1 + \frac{S_{eff}}{P_{cr}})} \quad \dots(2.52)$$

Dimana,

- δ : static deflection (m)
- C_6 : boundary condition coefficient
- q : deflection load unit per length (N/m)
- L_{eff} : Panjang efektif span (m)
- E_{st} : Young's modulus pipa baja (N/m²)
- CSF : Concrete stiffness factor
- I_{st} : Momen inersia pipa baja (m⁴)
- S_{eff} : effective axial force(N)
- P_{cr} : critical buckling load(N)

2.2.6.7 Frekuensi Natural Pipa

Getaran pada pipa biasanya bergerak sejajar (*in line*) dengan arah aliran, namun juga bisa bergerak tegak lurus terhadap aliran (*crossflow*). Maka dari itu dalam hal ini, *in line* maupun *crossflow* haruslah di analisis untuk menentukan apakah pipa telah aman dari gerakan arah horizontal maupun vertical. Untuk mengetahui itu, diperlukan perhitungan frekuensi natural dari pipa dari arah *inline* maupun *crossflow* sebagai respon dinamiknya terhadap beban lingkungan dan operasi yang diterima. Frekuensi natural dapat dihitung berdasarkan persamaan sesuai DNV RP F105 berikut :

$$f_n = C_1 \times \sqrt{(1 + CSF) \times \sqrt{\frac{E_{pipa} \times I_{pipa}}{M_{eff} \times L_{eff}} \times ((1 + \frac{S_{eff}}{P_e}) + (C_3 \times \left(\frac{\delta}{D_{tot}}\right)^2))}} \quad \dots(2.53)$$

dimana:

- C_1 dan C_3 : Koefisien kondisi batas
- CSF : Concrete stiffness enhancement factor
- E_{pipa} : Modulus Young's untuk pipa (N/m²)
- I_{pipa} : Momen inersia pipa (m)
- M_e : Massa efektif (kg/m)

L_{eff} : Panjang span efektif (m)

D : Diameter luar pipa (m)

S_{eff} : Gaya aksial efektif (N/m)

P_e : Beban Euler (N)

δ : Defleksi statis (m)

2.2.6.8 Panjang Maksimum Span

Pipeline yang terbentang bebas atau mengalami *freespan* memiliki panjang maksimum yang diijinkan. Jika panjang dari bentangan bebas melebihi panjang maksimum yang diijinkan, maka akan terjadi osilasi dan Dampak lebih buruknya adalah dapat mengurangi umur dari pipeline. Untuk menghitung panjang maksimum span pada arah crossflow adalah :

$$L_c = \sqrt{\frac{C_e U_r D}{2\pi U_c} \sqrt{\frac{E I}{M_e}}} \quad \dots(2.54)$$

Sementara untuk arah inline adalah :

$$L_c = \sqrt{\frac{C_e f_n}{2\pi} \sqrt{\frac{E I}{M_e}}} \quad \dots(2.55)$$

C_e = Konstanta ujung span (9.87 untuk pinned-pinned)

2.2.7 Kriteria Screening

Setelah mendapatkan nilai frekuensi natural pada arah *inline* maupun arah *crossflow*, langkah selanjutnya yang harus dilakukan adalah melakukan screening sesuai dengan standar DNV RP F105. Frekuensi natural arah *inline* , nilainya harus memenuhi kriteria sebagai berikut :

$$f_{n,IL} > \frac{U_{extreme} \times \gamma I L}{VR, onset \times D} \quad \dots(2.56)$$

Dimana :

$$U_{extreme} = U_c, 100\text{year} + U_w, 1\text{year} \quad \dots(2.57)$$

$f_{n.il}$: Frekuensi natural *in line*

γ_{il} : Screening factor untuk *inline*

$U_{extreme}$: Kecepatan arus ekstrim

$V_{R.onset}^{IL}$: Nilai onset inline untuk reduced velocity

Untuk nilai onset *in line* untuk *reduced velocity* ditentukan oleh persamaan berikut ini:

$$V_{R.onset}^{IL} = \begin{cases} \left(\frac{1}{\gamma_{on.il}}\right) & \text{Untuk } K_{sd} < 0.4 \\ \left(\frac{0.6+K_{sd}}{\gamma_{on.il}}\right) & \text{Untuk } 0.4 < K_{sd} \\ \left(\frac{2.2}{\gamma_{on.il}}\right) & \text{Untuk } K_{sd} > 1.6 \end{cases} \quad \dots(2.58)$$

Dimana :

$\gamma_{on.il}$: Safety factor pada onset *inline*

K_{sd} : Parameter stabilitas untuk perancangan

γ_k : Safety factor pada parameter stabilitas

Untuk natural frekuensi arah *crossflow*, nilainya harus memenuhi kriteria berikut :

$$f_{n,CF} > \frac{U_{extreme} \times \gamma_{CF}}{2D} \quad \dots(2.59)$$

Dimana :

$f_{n.cf}$: Frekuensi natural *in line*

γ_{CF} : Safety factor pada parameter stabilitas

Untuk ketentuan screening factor pipa menurut DNV RP F105 ditampilkan pada Tabel 2.7 berikut :

Tabel 2.7 Screening Factor (DNV RP F105, 2006)

| | |
|-------------|-----|
| γIL | 1.4 |
| γCF | 1.4 |

2.2.8 Analisa Statis

Ultimate Limit State (ULS) dilakukan pada kondisi statis. Secara statis pipa dapat mengalami defleksi yang dapat menyebabkan keruntuhan sedangkan secara dinamis pipa akan mengalami getaran yang dapat beresiko kegagalan karena pipa mengalami kelelahan/*fatigue*.

Pada analisis statis pipa harus memenuhi kriteria *limit state* untuk bisa menghindari terjadinya *buckling*. Ada empat kriteria moda kegagalan yang harus dipenuhi sesuai persyaratan DNV OS F101 agar pipa dapat dikatakan aman dari kegagalan *buckling*, yaitu :

2.2.8.1 Pressure Containment (Bursting)

Pipa harus mampu menahan tekanan dari dalam agar tidak melebihi nilai dari system pipa yang diijinkan. Pada kriteria ini perbedaan tekanan yang terjadi harus dianalisis agar meminimalisir terjadinya buckling. Tujuan dari perlindungan ini juga untuk melindungi system selama beroperasi dimana harga maksimum *incidental pressure* yang diijinkan sama dengan *incidental pressure* dikurang dengan toleransi kemanan tekanan system. Kriteria untuk tekanan bursting adalah sebagai berikut :

$$P_{li} - P_e \leq \frac{P_b}{\gamma_m \cdot \gamma_{sc, pc}} \quad \dots(2.60)$$

Sementara itu, untuk mendapatkan nilai *local incidental pressure* dapat menggunakan persamaan sebagai berikut :

$$P_{li} = P_{inc} + \rho_{cont} \cdot g \cdot h \quad \dots(2.61)$$

Dimana :

$$P_{inc} = Pd \cdot \gamma_{inc} \quad \dots(2.62)$$

- P_{li} : local incidental pressure
- P_e : eksternal pressure
- P_b : pressure containment resistance
- γ_m : material resistance factor
- γ_{sc} : safety factor resistance factor
- P_{inc} : pressure containment resistance
- ρ_{cont} : content density pipa
- g : percepatan gravitasi (m/s^2)
- h : Jarak vertical dari point referensi ke permukaan laut (m)
- P_d : design pressure

2.2..8.2 Local Buckling – Collapse Criteria

Collapse pressure atau tekanan keruntuhan adalah tekanan yang diperlukan suatu pipa untuk menahan gaya eksternal sehingga pipa tidak mengalami perubahan bentuk (*buckling*). Nilai dari *collapse pressure* dapat ditentukan dengan persamaan berikut :

$$(P_c - P_{el}) \cdot (P_c^2 - P_p^2) = P_c \cdot P_{el} \cdot P_p \cdot f_o \cdot \frac{D}{t} \quad \dots(2.63)$$

Untuk ketentuan faktor fabrikasi maksimum pipa ditampilkan pada Tabel 2.8 berikut :

Tabel 2.8 Faktor Fabrikasi Maksimum (DNV OS F101, 2000)

| Pipe | Seamless | UO & TRB & ERW | UOE |
|----------------|----------|-------------------|------|
| α_{fab} | 1.00 | 0.93 | 0.85 |

Untuk ketentuan faktor Ketahanan Material pipa ditampilkan pada Tabel 2.9 berikut :

Tabel 2.9 Faktor Ketahanan Material (DNV OS F101, 2000)

| Faktor ketahanan material | SLS/ULS/ALS | FLS |
|---------------------------|-------------|------|
| γ_m | 1.15 | 1.00 |

Pemilihan factor kelas keamanan berdasarkan pada jenis fluida yang dialirkan dalam pipa dan Dampak bahaya yang ditimbulkan bagi manusia, lingkungan, perekonomian, dan politik. Berikut klasifikasi factor kelas keamanan berdasarkan DNV OS F101 ditampilkan pada Tabel 2.10 berikut :

Tabel 2.10 Faktor Safety Class (DNV OS F101, 2000)

| Safety class γ_{sc} | Low | Normal | High |
|----------------------------|-------|--------|-------|
| Pressure containment | 1.046 | 1.138 | 1.308 |
| Other | 1.04 | 1.14 | 1.26 |

Ketika kriteria pengaman telah dipenuhi, maka selanjutnya adalah dengan memastikan tekanan eksternal tidak melebihi tekanan collapse dibagi dengan safety factornya. Kriteria tersebut dijabarkan pada persamaan berikut :

$$P_e \leq \frac{P_c(t1)}{\gamma_m \gamma_{sc}} \quad \dots(2.64)$$

Dimana :

P_e : Tekanan eksternal maksimum (N/m^2)

$P_c(t1)$: Tekanan karakteristik keruntuhan (N/m^2)

γ_m : *material resistance factor*

γ_{sc} : safety factor resistance factor

2.2..8.3 Local buckling - combined loading criteria

Menurut Dong dkk (2015) kriteria kegagalan local buckling pada pipeline karena kombinasi beban dari external pressure, internal pressure, bending moment, dan effective axial force sesuai dengan yang ditunjukkan pada DNV OS F101 (2013) yaitu:

$$\left\{ \gamma_m \cdot \gamma_{sc} \cdot \frac{|M_{sd}|}{\alpha_c \cdot M_p(t_2)} + \left(\frac{\gamma_m \cdot \gamma_{sc} S_{sd} \cdot (P_i)}{\alpha_c \cdot S_p(t_2)} \right)^2 \right\}^2 + (\alpha_p \frac{P_i - P_e}{\alpha_c \cdot P_b(t_2)})^2 \leq 1 \quad \dots(2.65)$$

Dimana :

$$M_p(t) = f_y \cdot (D - t)^2 \cdot t \quad \dots(2.66)$$

$$S_p(t) = f_y \pi (D - t) \cdot t \quad \dots(2.67)$$

$$\alpha_c = (1 - \beta) + \beta \frac{f_u}{f_y}; \text{ (nilai maksimum 1.2)} \quad \dots(2.68)$$

$$\alpha_p = \begin{cases} 1 - \beta & \frac{P_i - P_e}{P_b} < \frac{2}{3} \\ 1 - 3\beta \left(1 - \frac{P_i - P_e}{P_b} \right) & \frac{P_i - P_e}{P_b} > \frac{2}{3} \end{cases} \quad \dots(2.69)$$

γ_m : material resistance factor

γ_{sc} : safety factor resistance factor

M_{sd} : desain momen bending

S_{sd} : desain gaya axial efektif

P_i : internal pressure (N/m^2)

α_c : parameter tegangan aliran untuk perhitungan regangan

P_e : eksternal pressure (N/m^2)

P_b : pressure containment resistance

Dimana untuk β ,

$$\beta = \begin{cases} 0.5 & \text{Untuk } D/t_2 < 5 \\ \frac{(60 - \frac{D}{t_2})}{90} & \text{Untuk } 15 \leq D/t_2 \leq 60 \\ 0 & \text{Untuk } D/t_2 \geq 60 \end{cases} \quad \dots(2.70)$$

Untuk nilai f_y (karakteristik tegangan luluh) dan f_u (karakteristik tegangan tarik) adalah sebagai berikut :

$$f_y = (\text{SMYS} - f_y, \text{temp}) \alpha_u \quad \dots(2.71)$$

$$f_u = (\text{SMTS} - f_u, \text{temp}) \alpha_u \cdot \alpha_A \quad \dots(2.72)$$

Dimana :

SMYS : Specified Minimum Yield Stress

SMTS : Specified Minimum Tensile Strength

α_u : faktor kekuatan material

α_A : faktor anisotropy 0.95 untuk arah axial & 1 untuk arah lainnya

2.2..8.4 Local Buckling – Propagation Buckling

Langkah terakhir adalah dengan menganalisis kriteria perambatan buckling untuk mengetahui apakah terjadi perambatan buckling pada pipa. Untuk memeriksa tekanan perambatan, dapat diketahui dengan rumus sebagai berikut :

$$P_e < \frac{P_{pr}}{\gamma_m \gamma_{sc}} \quad \dots(2.73)$$

Dimana untuk nilai P_{pr} dapat ditemukan dengan rumus :

$$P_{pr} = 35 \cdot f_y \cdot \alpha_{fab} \quad \dots(2.74)$$

Dimana :

P_e : tekanan eksternal maksimum (N/m^2)

P_{pr} : tekanan propagasi (N/m^2)

γ_m : *material resistance factor*

γ_{sc} : safety factor resistance factor

f_y : karakteristik tegangan luluh

α_{fab} : faktor pabrikasi

2.2.9 Mitigasi

Ketika *vortex shedding* timbul akibat dari adanya *free span* pada pipa bawah laut yang beroperasi dan frekuensi vortex sheddingnya mendekati frekuensi natural pipa maka pipa bisa terjadi kegagalan. Kegagalan pipa bisa diatasi dengan cara mitigasi. Mitigasi yang umum dilakukan pada kasus *freespan* adalah berupa penambahan *support* buatan. Penambahan *support* ini dilakukan agar panjang span dapat berkurang sehingga stabilitas pipa yang terbentang bebas tetap terjaga dan getaran yang bisa berakibat buckling pada pipa juga dapat berkurang.

Menurut Guo dkk (2005) dalam melakukan mitigasi, ada beberapa faktor yang perlu diperhatikan dan harus dilakukan. Faktor tersebut ditampilkan pada Tabel 2.11 berikut :

Tabel 2.11 Faktor Melakukan Mitigasi pada Span Kritis

| Faktor | Keterangan |
|-----------------------------------|--|
| $F_s > 0.7 F_n$ | Mitigasi perlu dilakukan apabila frekuensi <i>vortex shedding</i> lebih besar dari 0.7 kalinya frekuensi natural pipa sehingga osilasi terjadi. |
| $L > L_{max}$ | Mitigasi perlu dilakukan apabila panjang span actual melebihi Panjang Maksimum Span. |
| $S_{eff}/P_{cr} < -0.5$ | Mitigasi perlu dilakukan apabila nilai gaya aksial efektif dibagi dengan nilai critical buckling pada arah inline maupun crossflow lebih kecil dari -0.5 |
| $\delta/D > 2.5$ | Apabila defleksi yang terjadi di arah <i>inline</i> dan <i>crossflow</i> dibagi dengan diameter luar pipa 2.5. |
| <i>Gap</i> pipa dengan tanah > 5D | Mitigasi perlu dilakukan apabila jarak pipa dengan tanah (<i>Gap</i>) melebihi 5 kali diameter luar pipa. |

2.2.10 Tegangan

Saat pipa beroperasi , maka ada beberapa tegangan yang terjadi di sekitar pipa dan dapat membuat pipa kehilangan kekuatannya. Tegangan ijin pada pipa sudah diatur dalam ASME B31.8 2012, dimana telah dijelaskan beberapa aturan terkait presentase ijin nilai tegangan terhadap SMYS suatu material yang dipakai. Untuk nilai batas ijin tegangan menurut ASME B31.8 ditampilkan pada Tabel 2.12 berikut :

Tabel 2.12 Tegangan Pada Pipa (ASME B31.8 2012)

| Design Condition | Hoop stress | Longitudinal stress | Combined stress |
|------------------|-------------|---------------------|-----------------|
| Operasi | 72% SMYS | 80% SMYS | 90% SMYS |
| Hydrotest | 90% SMYS | - | 96% SMYS |
| Installasi | 72% SMYS | 80% SMYS | 90% SMYS |

2.2.10.1 Tegangan Hoop

Aliran fluida yang mengalir dalam pipa merukan suatu beban yang dapat menyebabkan tekanan internal. *Hoop stress* merupakan reaksi yang diakibatkan oleh tekanan internal yang dapat ditentukan besarnya. *Hoop stress* ini merupakan tekanan yang bekerja dalam arah tangensial terhadap pipa. Tekanan hoop stress yang terjadi nilainya tidak boleh melebihi nilai yang diijinkan. Syarat kriterianya seperti berikut:

$$S_H = (P_i - P_e) \frac{D}{2 \cdot t} \leq F_1 \cdot SMYS. \quad \dots(2.75)$$

Dimana:

S_H : Hoop stress, psi (MPa)

P_i : internal pressure (N/m^2)

P_e : eksternal pressure (N/m^2)

D : Diameter nominal luar pipa (m)

t : Ketebalan pipa

F_1 : Faktor desain dari *hoop stress*

SMYS : Specified Minimum Yield Stress

Untuk faktor desain menurut ASME B31.8 ditampilkan pada Tabel 2.13 berikut :

Tabel 2.13 Faktor Desain untuk Pipa (ASME B31.8, 2012)

| Content Type | Hoop Stress F1 | Longitudinal Stress F2 | Combined Stress F3 |
|--------------|-------------------|---------------------------|-----------------------|
| Gas | 0.72 | 0.80 | 0.90 |
| Minyak | 0.60 | 0.675/0.54/0.80 | - |

2.2.10.2 Tegangan Longitudinal

Tegangan longitudinal merupakan tegangan aksial yang dialami oleh dinding pipa. Tegangan bending ini terjadi akibat pipa mengalami bentangan bebas dan menimbulkan momen, sehingga pipa diasumsikan mengalami 2 tumpuan dari masing-masing ujung pipa sepanjang span. Untuk menghitung tegangan longitudinal pada bentangan bebas dapat menggunakan rumus berikut:

$$S_L = S_a + S_b + S_p + S_t \quad \dots(2.76)$$

Dimana :

S_L : Longitudinal stress, psi (MPa)

S_a : Tegangan aksial [tarik + atau tekan -] (MPa)

$$S_a = F_a / A \quad \dots(2.77)$$

F_a : gaya aksial (N)

A : Cross sectional area dari material pipa (m^2)

S_b : Maksimum resultant bending stress (Pa)

Dimana nilai S_b adalah :

$$S_b = \pm \frac{\sqrt{(i_i M_i)^2 + (i_o M_o)^2}}{z} \quad \dots(2.78)$$

z : Section modulus pipa (m^3)

i_i : Faktor tekanan intensifikasi in – plane

- M_i : Bending moment in – plane
 i_o : Faktor tekanan intensifikasi out – plane
 M_o : Bending moment out – plane
 S_p : Tegangan longitudinal akibat tekanan internal (Pa) = $0.3 \times SH$
 S_t : Tegangan ekspansi thermal (Pa) = $E \cdot \alpha \cdot (T_1 - T_2)$
 T_1 : Temperatur saat instalasi ($^{\circ}$ C)
 T_2 : Temperatur saat operasi ($^{\circ}$ C)

Nilai dari tegangan longitudinal harus memenuhi persyaratan berikut:

$$| S_L | \leq F_2 S_y \quad \dots(2.79)$$

Dimana :

- S_L : maximum longitudinal stress, psi [tarik + atau tekan -] (MPa)
 F_2 : Desain factor *longitudinal stress*

2.2.10.3 Tegangan Kombinasi

Tegangan *von misses* atau tegangan kombinasi dapat ditemukan setelah mendapatkan nilai tegangan hoop dan tegangan longitudinal. Maka persamaannya sebagai berikut :

$$S_v = \sqrt{S_h^2 + S_L^2 + S_h S_L} \quad \dots(2.80)$$

Dimana,

- S_V : Von misses stress, psi (MPa)
 S_H : Hoop stress, psi (MPa)
 S_L : Longitudinal stress, psi (MPa)

Nilai dari tegangan von misses harus memenuhi persamaan berikut :

$$| S_v | \leq F_3 S_y \quad \dots(2.81)$$

Dimana :

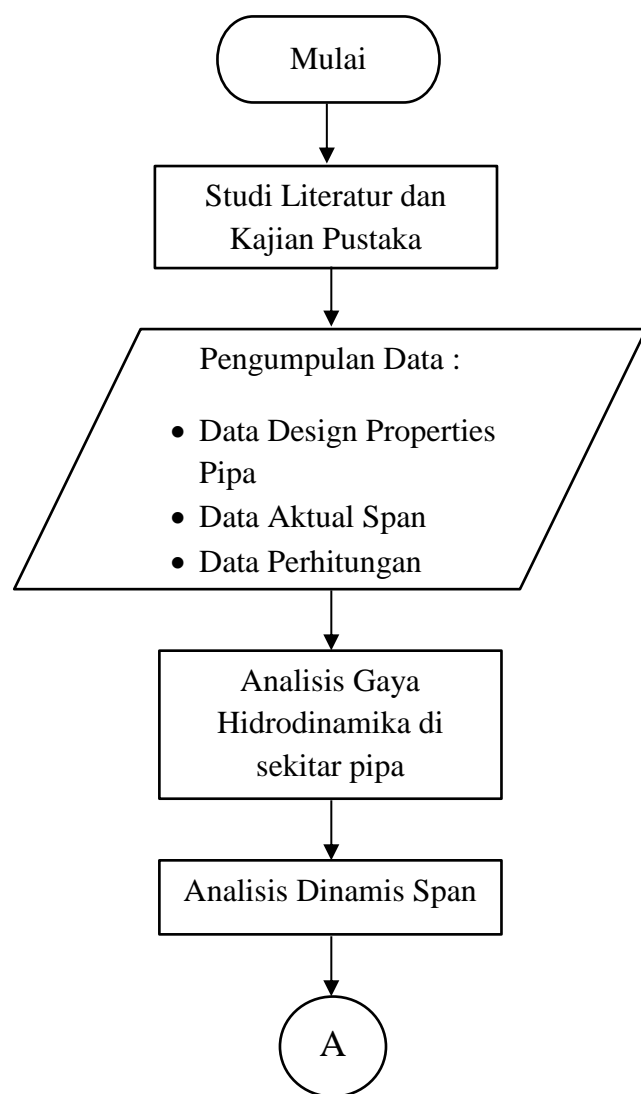
- F_3 : Desain factor combined stress

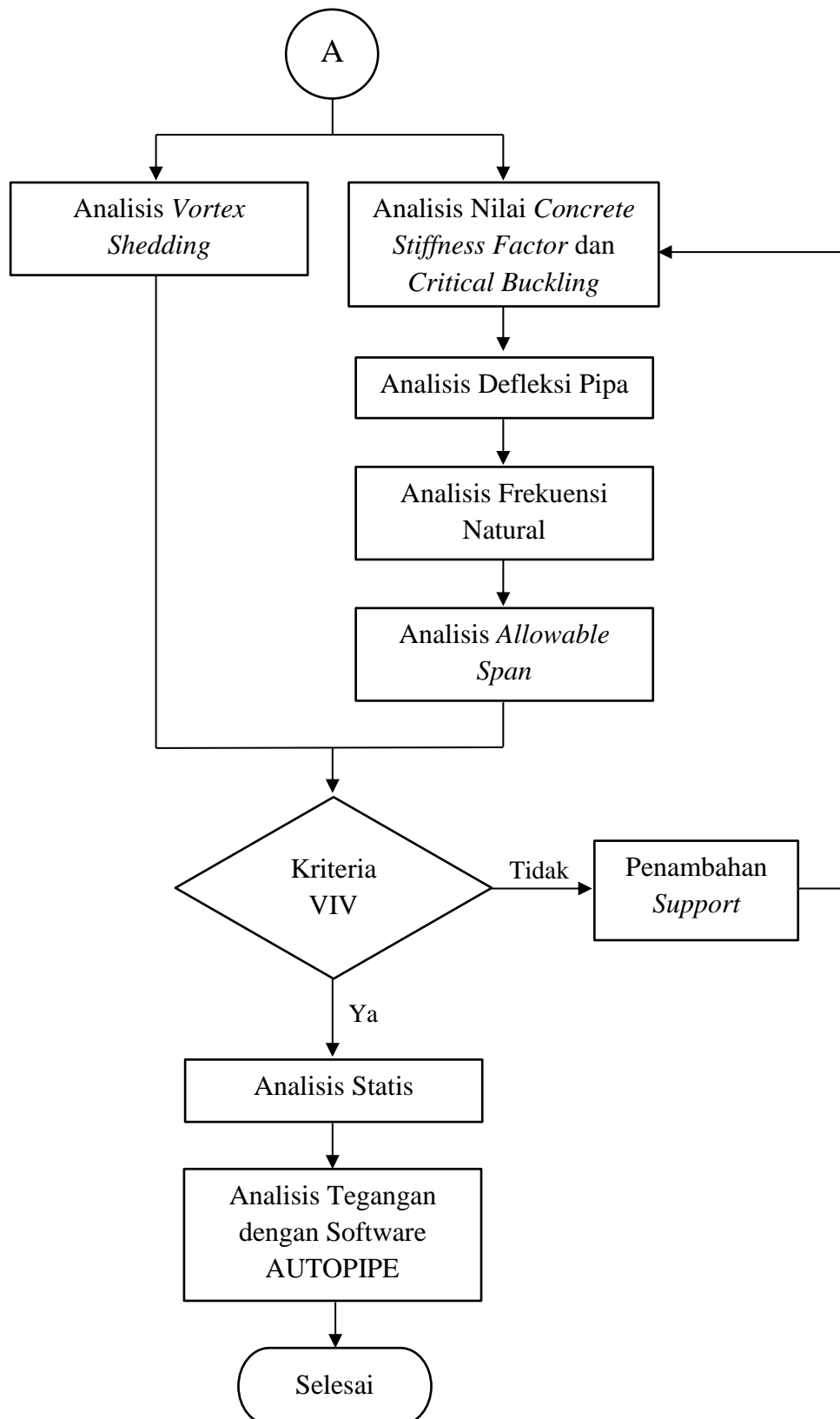
BAB III

METODOLOGI PENELITIAN

3.1 Diagram Alir (*Flow Chart*)

Metodologi penelitian dalam tugas akhir ini dijelaskan dalam diagram alir sebagai berikut :





3.2 Langkah – Langkah Pengerjaan

1. Studi Literatur

Membaca dan mempelajari studi literature, buku, jurnal, penelitian ilmiah dan standard dengan topik yang serupa yang telah dilakukan sebelumnya dalam menyelesaikan permasalahan dalam tugas akhir ini.

2. Pengumpulan data

Data yang akan digunakan dalam penyelesaian tugas akhir ini adalah data design pipa, data metocean di lokasi pipa beroperasi, data aktual span serta data perhitungan dari tugas akhir Ahmad Syahroni tahun 2018.

3. Analisis gaya hidrodinamis di sekitar pipa

Melakukan perhitungan gaya hidrodinamis dari arus dan gelombang yang bekerja di sekitar pipa dengan kombinasi beban yang dianggap paling ekstrem.

4. Analisis Dinamis Span

Pada tahap ini dilakukan analisis dinamis mengacu pada kode DNV RP F105. Dikarenakan pipa terbentang bebas , gaya hidrodinamis yang bekerja dapat menyebabkan *vortex shedding* pada pipa. Oleh karena itu, perlu dilakukan screening VIV apakah sesuai pada arah in line maupun cross flow. Apabila setelah dilakukan screening tidak memenuhi persyaratan, maka diperlukan mitigasi berupa penambahan *support*.

5. Analisis Statis

Pada tahap ini dilakukan analisis statis dengan mengacu kode DNV OS F101. Dimana tekanan yang terjadi harus memenuhi kriteria statis.

6. Analisis Tegangan Dengan Software AUTOPIPE

Melakukan pemodelan dan perhitungan tegangan pipa dengan menggunakan software AUTOPIPE. Perhitungan meliputi Analisa tegangan hoop, tegangan longitudinal, dan tegangan kombinasi (*von mises*).

BAB IV

ANALISIS DAN PEMBAHASAN

4.1 Analisis Data

Tugas akhir ini merupakan lanjutan dari analisis yang dilakukan oleh Syahroni (2018) tentang umur kelelahan pipa bawah laut akibat adanya *Vortex Induced Vibration* (VIV). Data – data pipa yang digunakan dalam tugas akhir ini mengacu pada analisis tersebut. Pipa mendistribusikan gas pada jalur *Central Processing Platform-2* menuju *Onshore Receiving Facility* (Gresik) dengan panjang 65km. Menurut analisis yang dilakukan Syahroni (2018), pada tahun 2016 dilakukan inspeksi *span* berupa survei di sepanjang jalur pipa dan pada beberapa segmen pipa mengalami bentangan bebas. Dari hasil survei tersebut didapatkan informasi mengenai lokasi segmen pipa dengan data petunjuk panjang dan kedalaman *span*.

4.1.1 Data Pipeline

a. Data Properti Pipa

Berikut data properti pipa jalur *Central Processing Platform-2* menuju *Onshore Receiving Facility* (Gresik) yang ditampilkan pada Tabel 4.1 berikut :

Tabel 4.1 Data Desain Pipa

| Deskripsi | Nilai | Satuan | Nilai | Satuan |
|--------------------------|--|-------------------|--------------|---------------|
| Steel Grade | API 5L-X65-W-PSL 2 | | | |
| Process Manufacture | SEAMLESS | | | |
| Pipeline Route | Central Processing Platform - Onshore Receiving Facility | | | |
| Outside Diameter (DO) | 355.6 | mm | 0.3556 | m |
| Wall Thickness | 14.3 | mm | 0.0143 | m |
| Length | 65 | km | 65000 | m |
| Corrosion Allowance | 3 | mm | 0.003 | m |
| Steel Density | 7850 | kg/m ³ | - | - |
| Young's Modulus Steel | 207000 | Mpa | 2.07E+11 | Pa |
| Thermal Expansion Coeff. | 1.17E-05 | 1/°C | - | - |
| SMYS | 360 | MPa | 3.60E+08 | Pa |

| Deskripsi | Nilai | Satuan | Nilai | Satuan |
|------------------------------------|---------|-------------------|-----------|--------|
| SMTS | 460 | MPa | - | - |
| Poisson Ratio | 0.3 | - | - | - |
| Design Pressure | 1440.25 | psig | 9930178.1 | Pa |
| Internal Pressure at Spanning Pipe | 137.89 | bar | 13789000 | Pa |
| Maximal Design Temperature | 75 | °C | - | - |
| Minimal Design Temperature | -10 | °C | - | - |
| Maximum Operating Temperature | 65 | °C | - | - |
| Marine Growth | 0 | mm | 0 | mm |
| Design Life | 20 | years | - | - |
| Service | GAS | | | |
| Content Density | 29.3 | KG/M ³ | - | - |
| Gas Flowrate | 70 | MMSCFD | 70000 | MMBtu |

b. Data Coating Pipa

Pipa 18' *Export Pipeline* memiliki dua *coating* yang melapisinya. Data *coating* pipa ditampilkan pada Tabel 4.2 berikut :

Tabel 4.2 Data Anti-Corrosion Coating dan Concrete Coating

| Deskripsi | Nilai | Satuan | Nilai | Satuan |
|----------------------------------|----------------|-------------------|--------|--------|
| Material Anti-Corrosion Coating | Asphalt Enamel | | | |
| Anti-Corrosion Coating Thickness | 6 | mm | 0.006 | m |
| Concrete Coating Thickness | 50.8 | mm | 0.0508 | m |
| Anti-Corrosion Coating Density | 1280 | kg/m ³ | - | - |
| Concrete Coating Density | 3043 | kg/m ³ | - | - |

4.1.2 Data Lingkungan

Data – data lingkungan yang digunakan pada analisis ini adalah data gelombang, arus dan data karakteristik tanah di sekitar perairan Madura, Poleng *Field*.

a. Data Gelombang dan Arus

Data Gelombang dan Arus ditampilkan dalam Tabel 4.3 berikut :

Tabel 4.3 Data Gelombang dan Arus

| Deskripsi | Nilai | | | Satuan |
|--|----------|----------|-----------|-------------------|
| | 1 tahun | 10 tahun | 100 tahun | |
| Significant Wave Height, Hs | 1.08 | 2.9 | 4.17 | m |
| Significant Wave Period, Ts | 5.51 | 8.085 | 9.035 | sec |
| Peak Period for Design Spectrum, Tp | 5.8 | 8.51 | 9.51 | sec |
| Current Velocity | | | | |
| Surface | 1.07 | 1.37 | 1.7 | m/s |
| Bottom | 0.24 | 0.5 | 0.9 | m/s |
| Highest Astronomical Tide (HAT), Above MSL | 1.1 | 1.39 | 1.54 | m |
| Lowest Astronomical Tide (LAT), Below MSL | -0.67 | -0.38 | -0.17 | m |
| Seawater Kinematics Viscosity | 1.02E-06 | | | m ² /s |
| Maximum Water Depth | 56.77 | | | m |
| Minimum Water Depth | 51.1 | | | m |

b. Data Karakteristik Tanah

Berikut merupakan data tanah di lokasi pipa beroprasi disajikan pada Tabel 4.4 berikut :

Tabel 4.4. Data Karakteristik Tanah

| Deskripsi | Nilai | Satuan |
|-------------------------|---------------------------|-------------------|
| Jenis Tanah | Fine to medium loose sand | - |
| Layer Thickness | 0.5 - 0.8 | m |
| Unit Weight (Drained) | 15.6 | kN/m ³ |
| Lateral Friction Factor | 0.6 | - |

4.1.3 Data Inspeksi *Free Span*

Data *Free Span* ini menggunakan data inspeksi jalur *Central Processing Platform-2* menuju *Onshore Receiving Facility* (Gresik) pada tahun 2016. Dari jalur sepanjang 65 km hanya digunakan beberapa data, dimana pada kilometer poin berikut panjang span bernilai besar. Data *span* aktual beserta ketinggian jarak antara pipa dengan *seabed* ditampilkan pada Tabel 4.5 berikut :

Tabel 4.5 Data Free Span Hasil Inspeksi Bawah Laut

| No | KP Event (km) | KP Length (m) | Height (m) |
|----|-----------------|---------------|------------|
| 1 | 11.992 - 11.998 | 5.38 | 0.3 |
| 2 | 12.058 - 12.061 | 2.88 | 0.3 |
| 3 | 12.126 - 12.14 | 12.87 | 0.5 |
| 4 | 12.239 - 12.243 | 3.61 | 0.3 |
| 5 | 12.284 - 12.302 | 19.15 | 0.3 |
| 6 | 12.34 - 12.347 | 6.88 | 0.3 |
| 7 | 12.397 - 12.404 | 6.98 | 0.3 |
| 8 | 12.572 - 12.579 | 7.44 | 0.5 |
| 9 | 12.6 - 12.616 | 16.08 | 0.3 |
| 10 | 12.625 - 12.628 | 4.39 | 0.3 |
| 11 | 12.631 - 12.638 | 7.68 | 0.3 |
| 12 | 12.647 - 12.659 | 12.11 | 0.3 |
| 13 | 12.697 - 12.709 | 11.89 | 0.3 |
| 14 | 12.723 - 12.735 | 11.38 | 0.5 |
| 15 | 12.736 - 12.747 | 10.63 | 0.5 |
| 16 | 12.768 - 12.778 | 10.41 | 0.3 |
| 17 | 12.806 - 12.821 | 15.54 | 0.7 |
| 18 | 12.828 - 12.836 | 6.73 | 0.3 |
| 19 | 12.857 - 12.869 | 12.65 | 0.2 |
| 20 | 12.993 - 13.002 | 8.63 | 0.1 |

4.1.4 Data Perhitungan Dimensi Pipa

Perhitungan dimensi pipa telah dilakukan pada analisis sebelumnya. Hasil perhitungan dimensi pipa ditampilkan pada Tabel 4.6 berikut :

Tabel 4.6 Perhitungan Dimensi Pipa (Syahroni, 2018)

| Parameter | Notasi | Nilai | Satuan |
|-----------------------------------|------------|--------|--------|
| Tebal Dinding Pipa | t_2 | 0.0113 | m |
| Diameter Total Pipa | D_t | 0.469 | m |
| Diameter Dalam Pipa | D_i | 0.327 | m |
| Diameter Lapisan Anti Korosi | D_{cc} | 0.368 | m |
| Diameter Lapisan Concrete | D_{conc} | 0.469 | m |
| Luas Penampang Internal Pipa Baja | A_i | 0.084 | m^2 |
| Luas Penampang Pipa Baja | A_{st} | 0.015 | m^2 |

| Parameter | Notasi | Nilai | Satuan |
|------------------------------------|------------|-----------------------|--------|
| Luas Penampang Lapisan Anti Korosi | A_{cc} | 0.007 | m^2 |
| Luas Penampang Lapisan Concrete | A_{conc} | 0.067 | m^2 |
| Momen Inersia Pipa Baja | I_{st} | 2.24×10^{-4} | m^4 |
| Momen Inersia Selimut Beton | I_{conc} | 1.48×10^{-3} | m^4 |

4.1.5 Data Perhitungan Massa Terendam Pipa

Berat terendam pipa diperlukan untuk mengetahui beban lateral yang timbul akibat berat pipa itu sediri. Perhitungan berat terendam pipa telah dilakukan pada analisis sebelumnya. Hasil perhitungan ditampilkan dalam Tabel 4.7 berikut :

Tabel 4.7 Hasil Perhitungan Berat Terendam Pipa (Syahroni, 2018)

| Parameter | Notasi | Nilai | Satuan |
|---------------------------|--------------|--------|--------|
| Massa Konten Pipa | M_{fluida} | 2.46 | Kg/m |
| Massa Pipa Baja | M_{st} | 120.36 | Kg/m |
| Massa Lapisan Anti Korosi | M_{cc} | 8.72 | Kg/m |
| Massa Lapisan Concrete | M_{conc} | 203.19 | Kg/m |
| Massa Struktur Pipa | M_{str} | 332.28 | Kg/m |
| Massa Displacement | M_{disp} | 177.23 | Kg/m |
| Gaya Apung | F_b | 1738.6 | N/m |
| Berat Terendam Pipa | W_{sub} | 1545.2 | N/m |

4.2 Analisis Kecepatan Partikel Air

4.2.1 Perhitungan Kecepatan Arus pada Pipa

Perhitungan Kecepatan Arus yang bekerja pada pipa bisa dihitung dengan persamaan (2.19). Hal-hal yang perlu dipertimbangkan dalam perhitungan ini antara lain gap (e) yaitu jarak antara pipa dengan *seabed* karena pipa meletak pada dasar laut dengan kondisi freespan, kekasaran dasar laut (z_o) dimana untuk kasus ini jenis tanah di lokasi pipa adalah *fine to loose sand*. Nilai z_o yang dipilih adalah *fine sand*. Untuk arah arus yang dianalisis merupakan arah yang tegak lurus dengan pipa (sudut 90°), karena arah tersebut memiliki pengaruh beban arus yang

paling besar dibandingkan arah lain. Hasil perhitungan kecepatan arus yang bekerja pada pipa ditampilkan pada Tabel 4.8 berikut :

Tabel 4.8 Perhitungan Kecepatan Arus Pada Pipa

| Perhitungan Kecepatan Arus Pada Elevasi Pipa | | | | | | | Kecepatan Arus | |
|--|-----------|---|--|--------------------------------|--------------------------------|-------|----------------|-----------|
| Panjang Span Aktual | Gap (e) | Kecepatan Arus Pada Ketinggian Referensi, 10 tahun U(Z _r) | Kecepatan Arus Pada Ketinggian Referensi, 100 tahun U(Z _r) | Elevasi Di atas Dasar Laut (z) | Parameter Kekasaran Dasar Laut | V(z) | 10 Tahun | 100 Tahun |
| m | m | m/s | m/s | m | m | m/s | m/s | m/s |
| 5.38 | 0.3 | 0.5 | 0.9 | 0.535 | 0.00001 | 0.473 | 0.851 | |
| 2.88 | 0.3 | 0.5 | 0.9 | 0.535 | 0.00001 | 0.473 | 0.851 | |
| 12.87 | 0.5 | 0.5 | 0.9 | 0.735 | 0.00001 | 0.487 | 0.876 | |
| 3.61 | 0.3 | 0.5 | 0.9 | 0.535 | 0.00001 | 0.473 | 0.851 | |
| 19.15 | 0.3 | 0.5 | 0.9 | 0.535 | 0.00001 | 0.473 | 0.851 | |
| 6.88 | 0.3 | 0.5 | 0.9 | 0.535 | 0.00001 | 0.473 | 0.851 | |
| 6.98 | 0.3 | 0.5 | 0.9 | 0.535 | 0.00001 | 0.473 | 0.851 | |
| 7.44 | 0.5 | 0.5 | 0.9 | 0.735 | 0.00001 | 0.487 | 0.876 | |
| 16.08 | 0.3 | 0.5 | 0.9 | 0.535 | 0.00001 | 0.473 | 0.851 | |
| 4.39 | 0.3 | 0.5 | 0.9 | 0.535 | 0.00001 | 0.473 | 0.851 | |
| 7.68 | 0.3 | 0.5 | 0.9 | 0.535 | 0.00001 | 0.473 | 0.851 | |
| 12.11 | 0.3 | 0.5 | 0.9 | 0.535 | 0.00001 | 0.473 | 0.851 | |
| 11.89 | 0.3 | 0.5 | 0.9 | 0.535 | 0.00001 | 0.473 | 0.851 | |
| 11.38 | 0.5 | 0.5 | 0.9 | 0.735 | 0.00001 | 0.487 | 0.876 | |
| 10.63 | 0.5 | 0.5 | 0.9 | 0.735 | 0.00001 | 0.487 | 0.876 | |
| 10.41 | 0.3 | 0.5 | 0.9 | 0.535 | 0.00001 | 0.473 | 0.851 | |
| 15.54 | 0.7 | 0.5 | 0.9 | 0.935 | 0.00001 | 0.497 | 0.895 | |
| 6.73 | 0.3 | 0.5 | 0.9 | 0.535 | 0.00001 | 0.473 | 0.851 | |
| 12.65 | 0.2 | 0.5 | 0.9 | 0.435 | 0.00001 | 0.464 | 0.835 | |
| 8.63 | 0.1 | 0.5 | 0.9 | 0.335 | 0.00001 | 0.452 | 0.814 | |

4.2.2 Perhitungan Kecepatan Partikel Air Akibat Pengaruh Gelombang

Kecepatan partikel akibat gelombang dapat dicari dengan mengolah data gelombang menggunakan spektra gelombang. Spektra gelombang yang sesuai dengan kondisi laut Indonesia yang berbatas pulau – pulau (ter tutup) yaitu spektra JONSWAP. Data gelombang seperti kedalaman, tinggi gelombang

signifikan (H_s), periode puncak (T_p), dan periode gelombang signifikan (T_s) diolah untuk mencari parameter spektra JONSWAP seperti frekuensi puncak gelombang (ω_p), fungsi distribusi (ϕ), *peakedness parameter* (γ), dan konstanta *generalised Philips* (α). Hasil perhitungan parameter spektra JONSWAP ditampilkan pada Tabel 4.9 berikut:

Tabel 4.9 Parameter JONSWAP

| Parameter | Notasi | Nilai | | Satuan |
|--------------------------------------|------------|-------------|--------------|--------|
| | | 10 Tahun | 100 Tahun | |
| Tinggi Gelombang Signifikan | H_s | 1.08 | 4.17 | m |
| Periode Gelombang Signifikan | T_s | 5.51 | 9.0345 | s |
| Periode Puncak Gelombang | T_p | 5.80 | 9.51 | s |
| Percepatan Gravitasi | g | 9.81 | | m/s |
| Kedalaman | h | 56.77 | | m |
| Frekuensi Gelombang Signifikan | ω_s | 1.14 | 0.70 | rad/s |
| Frekuensi Puncak Gelombang | ω_p | 1.08 | 0.66 | rad/s |
| Fungsi Distribusi | ϕ | 5.58 | 4.66 | - |
| <i>Peakedness Parameter</i> | γ | 1.00 | 1.48 | - |
| Konstanta <i>Generalised Philips</i> | α | 0.0052 | 0.0095 | - |

Setelah parameter JONSWAP didapatkan, langkah selanjutnya adalah menentukan angka gelombang. Angka gelombang merupakan salah satu variable yang digunakan untuk mentransformasi kecepatan gelombang di permukaan laut menjadi kecepatan partikel gelombang disekitar pipa (dasar laut), didapatkan dengan cara iterasi. Hasil perhitungan iterasi angka gelombang ditampilkan dalam Tabel 4.10 berikut:

Tabel 4.10 Perhitungan Angka Gelombang

| Angka Gelombang | | | | |
|-----------------|--------|-------------|--------------|--------|
| Parameter | Notasi | Nilai | | Satuan |
| | | 10 Tahun | 100 Tahun | |
| Angka Gelombang | k_w | 0.120 | 0.045 | - |

Setelah angka gelombang didapat, langkah selanjutnya adalah menentukan spektrum gelombang dan transformasi gelombang dengan Persamaan (2.6) dan (2.10). Kemudian menentukan momen spektrum dengan metode *Simpson 1*. Rumus perhitungan momen spektrum orde ke-n telah dijelaskan pada Persamaan (2.13). Hasil perhitungan momen spektrum ditampilkan pada Tabel 4.11 berikut :

Tabel 4.11 Perhitungan Nilai Momen Spektra

| Momen Spektra Gelombang | | |
|---|----------|-----------|
| Rumus | Nilai | |
| | 10 Tahun | 100 Tahun |
| $M_0 = 1/3 \times \Delta w \times \Sigma M_0$ | 5.5E-07 | 1.9E-02 |
| $M_1 = 1/3 \times \Delta w \times \Sigma M_1$ | 7.6E-07 | 1.9E-02 |
| $M_2 = 1/3 \times \Delta w \times \Sigma M_2$ | 1.1E-06 | 2.2E-02 |
| $M_4 = 1/3 \times \Delta w \times \Sigma M_4$ | 2.7E-06 | 3.8E-02 |

Momen spektrum yang telah didapat digunakan untuk menghitung kecepatan arus signifikan pada elevasi pipa (U_s). Untuk variable *reduction factor* ditentukan menggunakan grafik. Dengan mengalikan kecepatan arus signifikan pada elevasi pipa dengan *reduction factor* akan didapatkan kecepatan partikel air akibat gelombang (U_w). Hasil Perhitungan kecepatan arus signifikan dan beberapa variable lainnya dicantumkan pada Tabel 4.12 berikut :

Tabel 4.12 Hasil Perhitungan Kecepatan Partikel Air Akibat Pengaruh Gelombang

| Parameter | Notasi | Nilai | | Satuan |
|---|--------|----------|-----------|--------|
| | | 10 tahun | 100 Tahun | |
| Kec. Arus Signifikan pada Elevasi Pipa | U_s | 0.00148 | 0.2747 | m/s |
| Mean Zero-Up Crossing Period | T_u | 4.417 | 5.955 | s |
| Reduction Factor | R_D | 0.95 | | - |
| Kecepatan Partikel Air Akibat Gelombang | U_w | 0.00141 | 0.2609 | m/s |

4.3 Perhitungan Massa Efektif Pipa

Pada analisis data (Tabel 4.7) berat terendam pipa telah dilakukan pada analisis sebelumnya sehingga langkah selanjutnya adalah menghitung massa efektif

pipa. Masa efektif pipa didapatkan dari penambahan berat pipa, berat concrete dan berat coating dengan massa tambah (Persamaan 2.23). Massa efektif nantinya akan dibutuhkan untuk memperhitungkan frekuensi natural dari pipa. Hasil Perhitungan massa efektif ditampilkan pada Tabel 4.13 berikut:

Tabel 4.13 Massa Efektif Pipa

| Perhitungan Massa Efektif | | | | | | |
|---------------------------|-----------|---------------------------|---|----------------|--------------|----------------------------------|
| Panjang Span Aktual | Gap (e) | Rasio (e/D _t) | Added Mass Coefficient (C _a) | Massa Bouyancy | Massa Tambah | Massa Efektif (m _e) |
| m | m | - | - | kg/m | kg/m | kg.m |
| 5.38 | 0.3 | 0.64 | 1.06 | 177.23 | 188.06 | 522.80 |
| 2.88 | 0.3 | 0.64 | 1.06 | 177.23 | 188.06 | 522.80 |
| 12.87 | 0.5 | 1.07 | 1.00 | 177.23 | 177.23 | 511.97 |
| 3.61 | 0.3 | 0.64 | 1.06 | 177.23 | 188.06 | 522.80 |
| 19.15 | 0.3 | 0.64 | 1.06 | 177.23 | 188.06 | 522.80 |
| 6.88 | 0.3 | 0.64 | 1.06 | 177.23 | 188.06 | 522.80 |
| 6.98 | 0.3 | 0.64 | 1.06 | 177.23 | 188.06 | 522.80 |
| 7.44 | 0.5 | 1.07 | 1.00 | 177.23 | 177.23 | 511.97 |
| 16.08 | 0.3 | 0.64 | 1.06 | 177.23 | 188.06 | 522.80 |
| 4.39 | 0.3 | 0.64 | 1.06 | 177.23 | 188.06 | 522.80 |
| 7.68 | 0.3 | 0.64 | 1.06 | 177.23 | 188.06 | 522.80 |
| 12.11 | 0.3 | 0.64 | 1.06 | 177.23 | 188.06 | 522.80 |
| 11.89 | 0.3 | 0.64 | 1.06 | 177.23 | 188.06 | 522.80 |
| 11.38 | 0.5 | 1.07 | 1.00 | 177.23 | 177.23 | 511.97 |
| 10.63 | 0.5 | 1.07 | 1.00 | 177.23 | 177.23 | 511.97 |
| 10.41 | 0.3 | 0.64 | 1.06 | 177.23 | 188.06 | 522.80 |
| 15.54 | 0.7 | 1.49 | 1.00 | 177.23 | 177.23 | 511.97 |
| 6.73 | 0.3 | 0.64 | 1.06 | 177.23 | 188.06 | 522.80 |
| 12.65 | 0.2 | 0.43 | 1.19 | 177.23 | 211.05 | 545.79 |
| 8.63 | 0.1 | 0.21 | 1.45 | 177.23 | 257.76 | 592.50 |

4.4 Analisis Vortex Induced Vibrations (VIV)

Analisis Parameter VIV dilakukan sebelum analisis dinamis untuk mengetahui bentuk aliran yang terjadi pada pipa. Beberapa parameter VIV yang

perlu dianalisis diantaranya adalah *Reynolds Number* (Re), *Stability Parameter* (Ks), *Reduced Velocity* (Re), dan *Keulegan Carpenter* (KC). Beberapa parameter awal perhitungan ditampilkan pada Tabel 4.14 berikut :

Tabel 4.14 Parameter Perhitungan Komponen VIV

| Data Parameter VIV | | | | |
|--------------------------------|----------------|------------|----------|-------|
| Parameter | Notasi | Nilai | Satuan | |
| Viskositas Kinematis Air Laut | V_k | 0.00000102 | m^2/s | |
| Diameter Total Pipa | D_t | 0.469 | m | |
| Densitas Air Laut | ρ_w | 1025 | kg/m^3 | |
| <i>Soil Damping</i> | ζ_{soil} | 0.01 | - | |
| <i>Structural Damping</i> | ζ_{str} | 0.025 | - | |
| Kekasaran Permukaan Pipa | k | 0.003 | m | |
| Rasio k/Dt | k/D_t | 0.006 | - | |
| Frekuensi Gelombang Signifikan | ω_s | 1.140 | 0.695 | rad/s |
| Frekuensi Natural | f_n | 0.426 | - | |

4.4.1 Perhitungan Reynolds Number (Re)

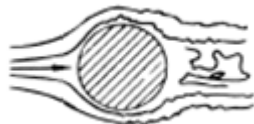
Untuk perhitungan Reynolds number menggunakan Persamaan 2.32. perhitungan reynolds number ini akan menggambarkan bentuk aliran yang ada di belakang pipa yang telah dijelaskan pada Gambar 2.4. Berikut ini merupakan hasil perhitungan reynolds number ditampilkan pada Tabel 4.15 berikut :

Tabel 4.15 Hasil Perhitungan Reynolds Number

| Hasil Perhitungan Reynolds Number | | | | | | | |
|-----------------------------------|---------|----------------|-----------|----------------|-----------|----------------|-----------|
| Panjang Aktual Span | Gap (e) | U _c | | U _w | | R _e | |
| | | 10 tahun | 100 tahun | 10 tahun | 100 tahun | 10 tahun | 100 tahun |
| m | m | m/s | m/s | m/s | m/s | - | - |
| 5.38 | 0.3 | 0.473 | 0.851 | 0.002 | 0.363 | 2.18E+05 | 5.58E+05 |
| 2.88 | 0.3 | 0.473 | 0.851 | 0.002 | 0.363 | 2.18E+05 | 5.58E+05 |
| 12.87 | 0.5 | 0.487 | 0.876 | 0.002 | 0.363 | 2.25E+05 | 5.69E+05 |
| 3.61 | 0.3 | 0.473 | 0.851 | 0.002 | 0.363 | 2.18E+05 | 5.58E+05 |
| 19.15 | 0.3 | 0.473 | 0.851 | 0.002 | 0.363 | 2.18E+05 | 5.58E+05 |
| 6.88 | 0.3 | 0.473 | 0.851 | 0.002 | 0.363 | 2.18E+05 | 5.58E+05 |
| 6.98 | 0.3 | 0.473 | 0.851 | 0.002 | 0.363 | 2.18E+05 | 5.58E+05 |
| 7.44 | 0.5 | 0.487 | 0.876 | 0.002 | 0.363 | 2.25E+05 | 5.69E+05 |
| 16.08 | 0.3 | 0.473 | 0.851 | 0.002 | 0.363 | 2.18E+05 | 5.58E+05 |

| Hasil Perhitungan Reynolds Number | | | | | | | |
|-----------------------------------|-----------|----------------|-----------|----------------|-----------|----------------|-----------|
| Panjang Aktual Span | Gap (e) | U _c | | U _w | | R _e | |
| | | 10 tahun | 100 tahun | 10 tahun | 100 tahun | 10 tahun | 100 tahun |
| m | m | m/s | m/s | m/s | m/s | - | - |
| 4.39 | 0.3 | 0.473 | 0.851 | 0.002 | 0.363 | 2.18E+05 | 5.58E+05 |
| 7.68 | 0.3 | 0.473 | 0.851 | 0.002 | 0.363 | 2.18E+05 | 5.58E+05 |
| 12.11 | 0.3 | 0.473 | 0.851 | 0.007 | 0.363 | 2.20E+05 | 5.58E+05 |
| 11.89 | 0.3 | 0.473 | 0.851 | 0.002 | 0.363 | 2.18E+05 | 5.58E+05 |
| 11.38 | 0.5 | 0.487 | 0.876 | 0.002 | 0.363 | 2.25E+05 | 5.69E+05 |
| 10.63 | 0.5 | 0.487 | 0.876 | 0.002 | 0.363 | 2.25E+05 | 5.69E+05 |
| 10.41 | 0.3 | 0.473 | 0.851 | 0.002 | 0.363 | 2.18E+05 | 5.58E+05 |
| 15.54 | 0.7 | 0.497 | 0.895 | 0.002 | 0.363 | 2.30E+05 | 5.78E+05 |
| 6.73 | 0.3 | 0.473 | 0.851 | 0.002 | 0.363 | 2.18E+05 | 5.58E+05 |
| 12.65 | 0.2 | 0.464 | 0.835 | 0.002 | 0.363 | 2.14E+05 | 5.51E+05 |
| 8.63 | 0.1 | 0.452 | 0.814 | 0.002 | 0.363 | 2.09E+05 | 5.41E+05 |

Dari Perhitungan diatas didapatkan bahwa nilai reynolds number dikisaran angka $3 \times 10^5 < Re < 3 \times 10^6$ sehingga aliran yang terjadi merupakan perubahan aliran laminar ke aliran turbulen, bentuk aliran yang terjadi adalah sebagai berikut



4.4.2 Perhitungan Stability Parameter (K_s)

Perhitungan *stability parameter* menggunakan Persamaan 2.33. Perhitungan *stability parameter* ini akan mempengaruhi nilai *reduced velocity*. Hasil perhitungan parameter stabilitas ditampilkan pada Tabel 4.16 berikut :

Tabel 4.16 Hasil Perhitungan *Stability Parameter*

| Hasil Perhitungan <i>Stability Parameter</i> | | | | |
|--|-----------|----------------------------------|----------------|-----------------|
| Panjang Aktual Span | Gap (e) | Massa Efektif (m _e) | K _s | K _{sd} |
| m | m | kg.m | - | - |
| 5.38 | 0.3 | 522.80 | 1.020 | 0.785 |
| 2.88 | 0.3 | 522.80 | 1.020 | 0.785 |

| Hasil Perhitungan Stability Parameter | | | | |
|--|-----------|----------------------------------|----------------|-----------------|
| Panjang Aktual Span | Gap (e) | Massa Efektif (m _e) | K _s | K _{sd} |
| m | m | kg.m | | - |
| 12.87 | 0.5 | 511.97 | 0.999 | 0.768 |
| 3.61 | 0.3 | 522.80 | 1.020 | 0.785 |
| 19.15 | 0.3 | 522.80 | 1.020 | 0.785 |
| 6.88 | 0.3 | 522.80 | 1.020 | 0.785 |
| 6.98 | 0.3 | 522.80 | 1.020 | 0.785 |
| 7.44 | 0.5 | 511.97 | 0.999 | 0.768 |
| 16.08 | 0.3 | 522.80 | 1.020 | 0.785 |
| 4.39 | 0.3 | 522.80 | 1.020 | 0.785 |
| 7.68 | 0.3 | 522.80 | 1.020 | 0.785 |
| 12.11 | 0.3 | 522.80 | 1.020 | 0.785 |
| 11.89 | 0.3 | 522.80 | 1.020 | 0.785 |
| 11.38 | 0.5 | 511.97 | 0.999 | 0.768 |
| 10.63 | 0.5 | 511.97 | 0.999 | 0.768 |
| 10.41 | 0.3 | 522.80 | 1.020 | 0.785 |
| 15.54 | 0.7 | 511.97 | 0.999 | 0.768 |
| 6.73 | 0.3 | 522.80 | 1.020 | 0.785 |
| 12.65 | 0.2 | 545.79 | 1.065 | 0.819 |
| 8.63 | 0.1 | 592.50 | 1.156 | 0.889 |

4.4.3 Perhitungan Reduced Velocity (V_R)

Parameter ini bisa dihitung dengan menggunakan Persamaan 2.34. Nilai reduced velocity ini juga bisa menentukan pipa terjadi VIV. Hasil perhitungannya ditampilkan pada Tabel 4.17 berikut :

Tabel 4.17 Hasil Perhitungan *Reduced Velocity*

| Hasil Perhitungan Reduced Velocity | | | | | |
|---|----------------|-----------|----------------|-----------|-------|
| Panjang Aktual Span | U _c | | U _w | | Vrd |
| | 10 tahun | 100 tahun | 10 tahun | 100 tahun | |
| m | m/s | m/s | m/s | m/s | |
| 5.38 | 0.473 | 0.851 | 0.002 | 0.363 | 6.067 |
| 2.88 | 0.473 | 0.851 | 0.002 | 0.363 | 6.067 |
| 12.87 | 0.487 | 0.876 | 0.002 | 0.363 | 6.192 |
| 3.61 | 0.473 | 0.851 | 0.002 | 0.363 | 6.067 |
| 19.15 | 0.473 | 0.851 | 0.002 | 0.363 | 6.067 |

| Hasil Perhitungan Reduced Velocity | | | | | |
|------------------------------------|----------------|--------------|----------------|--------------|-------|
| Panjang Aktual Span | U _c | | U _w | | Vrd |
| | 10 tahun | 100 tahun | 10 tahun | 100 tahun | |
| | m | m/s | m/s | m/s | |
| 6.88 | 0.473 | 0.851 | 0.002 | 0.363 | 6.067 |
| 6.98 | 0.473 | 0.851 | 0.002 | 0.363 | 6.067 |
| 7.44 | 0.487 | 0.876 | 0.002 | 0.363 | 6.192 |
| 16.08 | 0.473 | 0.851 | 0.002 | 0.363 | 6.067 |
| 4.39 | 0.473 | 0.851 | 0.002 | 0.363 | 6.068 |
| 7.68 | 0.473 | 0.851 | 0.002 | 0.363 | 6.067 |
| 12.11 | 0.473 | 0.851 | 0.007 | 0.363 | 6.067 |
| 11.89 | 0.473 | 0.851 | 0.002 | 0.363 | 6.067 |
| 11.38 | 0.487 | 0.876 | 0.002 | 0.363 | 6.192 |
| 10.63 | 0.487 | 0.876 | 0.002 | 0.363 | 6.192 |
| 10.41 | 0.473 | 0.851 | 0.002 | 0.363 | 6.067 |
| 15.54 | 0.497 | 0.895 | 0.002 | 0.363 | 6.286 |
| 6.73 | 0.473 | 0.851 | 0.002 | 0.363 | 6.067 |
| 12.65 | 0.464 | 0.835 | 0.002 | 0.363 | 5.986 |
| 8.63 | 0.452 | 0.814 | 0.002 | 0.363 | 5.884 |

Dari hasil perhitungan reduced velocity nilainya berada pada angka > 2.3 yang dikategorikan bisa menyebabkan pipa mengalami getaran dan terjadi VIV.

4.4.4 Perhitungan Keulegan Carpenter (KC)

Bilangan keulegan carpenter merupakan parameter yang dapat menentukan perubahan jenis aliran partikel air (laminar / turbulen) pada silinder di bawah air. Parameter ini bisa dihitung dengan Persamaan 2.35. Hasil perhitungan keulegan carpenter ditampilkan pada Tabel 4.18 berikut:

Tabel 4.18 Hasil Perhitungan Keulegan Carpenter

| Hasil Perhitungan Keulegan-Carpenter | | | | | | |
|--------------------------------------|-------------|--------------|----------------|--------------|-------------|--------------|
| Panjang Aktual Span | ω_s | | U _w | | KC | |
| | 10 tahun | 100 tahun | 10 tahun | 100 tahun | 10 tahun | 100 tahun |
| m | rad/s | rad/s | m/s | m/s | - | - |
| 5.38 | 1.140 | 0.695 | 0.002 | 0.363 | 0.004 | 1.111 |
| 2.88 | 1.140 | 0.695 | 0.002 | 0.363 | 0.004 | 1.111 |
| 12.87 | 1.140 | 0.695 | 0.002 | 0.363 | 0.005 | 1.112 |

| Hasil Perhitungan Keulegan-Carpenter | | | | | | |
|--------------------------------------|------------|-----------|----------|-----------|----------|-----------|
| Panjang Aktual Span | ω_s | | U_w | | KC | |
| | 10 tahun | 100 tahun | 10 tahun | 100 tahun | 10 tahun | 100 tahun |
| m | rad/s | rad/s | m/s | m/s | - | - |
| 3.61 | 1.140 | 0.695 | 0.002 | 0.363 | 0.004 | 1.111 |
| 19.15 | 1.140 | 0.695 | 0.002 | 0.363 | 0.004 | 1.111 |
| 6.88 | 1.140 | 0.695 | 0.002 | 0.363 | 0.004 | 1.111 |
| 6.98 | 1.140 | 0.695 | 0.002 | 0.363 | 0.004 | 1.111 |
| 7.44 | 1.140 | 0.695 | 0.002 | 0.363 | 0.005 | 1.112 |
| 16.08 | 1.140 | 0.695 | 0.002 | 0.363 | 0.004 | 1.111 |
| 4.39 | 1.140 | 0.695 | 0.002 | 0.363 | 0.005 | 1.112 |
| 7.68 | 1.140 | 0.695 | 0.002 | 0.363 | 0.004 | 1.111 |
| 12.11 | 1.140 | 0.695 | 0.007 | 0.363 | 0.012 | 1.111 |
| 11.89 | 1.140 | 0.695 | 0.002 | 0.363 | 0.004 | 1.111 |
| 11.38 | 1.140 | 0.695 | 0.002 | 0.363 | 0.005 | 1.112 |
| 10.63 | 1.140 | 0.695 | 0.002 | 0.363 | 0.005 | 1.112 |
| 10.41 | 1.140 | 0.695 | 0.002 | 0.363 | 0.004 | 1.111 |
| 15.54 | 1.140 | 0.695 | 0.002 | 0.363 | 0.005 | 1.112 |
| 6.73 | 1.140 | 0.695 | 0.002 | 0.363 | 0.004 | 1.111 |
| 12.65 | 1.140 | 0.695 | 0.002 | 0.363 | 0.004 | 1.111 |
| 8.63 | 1.140 | 0.695 | 0.002 | 0.363 | 0.004 | 1.111 |

4.5 Analisis Gaya Hidrodinamis

Perhitungan gaya hidrodinamis ini dilakukan untuk mengetahui besar gaya yang diakibatkan oleh arus dan gelombang laut terhadap pipa. Gaya hidrodinamis yang bekerja pada pipa adalah gaya *drag* dan gaya angkat (*lift*).

4.5.1 Perhitungan Gaya Lift (F_L)

Gaya lift ini muncul akibat adanya perbedaan tekanan aliran yang bisa mengakibatkan pipa terangkat. Perhitungan gaya lift atau gaya angkat bisa menggunakan Persamaan 2.37. Hasil perhitungan gaya lift ditampilkan pada Tabel 4.19 berikut:

Tabel 4.19 Hasil Perhitungan Gaya Lift

| Hasil Perhitungan Gaya Lift | | | | | | | |
|-----------------------------|---------|----------|-----------|-----------------------|-----------|------------|-----------|
| Panjang Aktual Span | Gap (e) | Utot | | Lift Coefficient (CL) | | Lift Force | |
| | | 10 tahun | 100 tahun | 10 tahun | 100 tahun | 10 tahun | 100 tahun |
| m | m | m/s | m/s | - | - | N/m | N/m |
| 5.38 | 0.3 | 0.475 | 1.214 | 0.76 | 0.7 | 41.463 | 247.793 |
| 2.88 | 0.3 | 0.475 | 1.214 | 0.76 | 0.7 | 41.463 | 247.793 |
| 12.87 | 0.5 | 0.489 | 1.239 | 0.75 | 0.7 | 43.178 | 258.098 |
| 3.61 | 0.3 | 0.475 | 1.214 | 0.76 | 0.7 | 41.463 | 247.793 |
| 19.15 | 0.3 | 0.475 | 1.214 | 0.76 | 0.7 | 41.463 | 247.793 |
| 6.88 | 0.3 | 0.475 | 1.214 | 0.76 | 0.7 | 41.463 | 247.793 |
| 6.98 | 0.3 | 0.475 | 1.214 | 0.76 | 0.7 | 41.463 | 247.793 |
| 7.44 | 0.5 | 0.489 | 1.239 | 0.75 | 0.7 | 43.178 | 258.098 |
| 16.08 | 0.3 | 0.475 | 1.214 | 0.76 | 0.7 | 41.463 | 247.793 |
| 4.39 | 0.3 | 0.475 | 1.214 | 0.76 | 0.7 | 41.464 | 247.846 |
| 7.68 | 0.3 | 0.475 | 1.214 | 0.76 | 0.7 | 41.463 | 247.793 |
| 12.11 | 0.3 | 0.479 | 1.214 | 0.76 | 0.7 | 42.207 | 247.793 |
| 11.89 | 0.3 | 0.475 | 1.214 | 0.76 | 0.7 | 41.463 | 247.793 |
| 11.38 | 0.5 | 0.489 | 1.239 | 0.75 | 0.7 | 43.178 | 258.098 |
| 10.63 | 0.5 | 0.489 | 1.239 | 0.75 | 0.7 | 43.178 | 258.098 |
| 10.41 | 0.3 | 0.475 | 1.214 | 0.76 | 0.7 | 41.463 | 247.793 |
| 15.54 | 0.7 | 0.499 | 1.257 | 0.74 | 0.7 | 44.468 | 266.004 |
| 6.73 | 0.3 | 0.475 | 1.214 | 0.76 | 0.7 | 41.463 | 247.793 |
| 12.65 | 0.2 | 0.466 | 1.197 | 0.77 | 0.7 | 40.340 | 241.225 |
| 8.63 | 0.1 | 0.455 | 1.177 | 0.78 | 0.7 | 38.918 | 233.057 |

4.5.2 Perhitungan Gaya Drag (Fd)

Gaya drag merupakan gaya yang bekerja dengan arah horizontal. Gaya drag bisa dihitung dengan Persamaan 2.38 dimana pada persamaan tersebut terdapat koefisien gaya drag yang bisa dicari dengan Persamaan 2.39. untuk hasil perhitungan gaya drag ditampilkan pada Tabel 4.20 berikut:

Tabel 4.20 Hasil Perhitungan Gaya Drag

| Hasil Perhitungan Gaya Drag | | | | |
|-----------------------------|-----------|-----------------------|-------|-----------------|
| Panjang Aktual Span | Gap (e) | Coefficient Drag (CD) | Utot | Drag Force (FD) |
| m | m | - | m/s | N/m |
| 5.38 | 0.30 | 1.280 | 1.214 | 453.060 |
| 2.88 | 0.30 | 1.280 | 1.214 | 453.060 |
| 12.87 | 0.50 | 1.256 | 1.239 | 463.058 |
| 3.61 | 0.30 | 1.280 | 1.214 | 453.060 |
| 19.15 | 0.30 | 1.280 | 1.214 | 453.060 |
| 6.88 | 0.30 | 1.280 | 1.214 | 453.060 |
| 6.98 | 0.30 | 1.280 | 1.214 | 453.060 |
| 7.44 | 0.50 | 1.256 | 1.239 | 463.058 |
| 16.08 | 0.30 | 1.280 | 1.214 | 453.060 |
| 4.39 | 0.30 | 1.280 | 1.214 | 453.156 |
| 7.68 | 0.30 | 1.280 | 1.214 | 453.060 |
| 12.11 | 0.30 | 1.280 | 1.214 | 453.060 |
| 11.89 | 0.30 | 1.280 | 1.214 | 453.060 |
| 11.38 | 0.50 | 1.256 | 1.239 | 463.058 |
| 10.63 | 0.50 | 1.256 | 1.239 | 463.058 |
| 10.41 | 0.30 | 1.280 | 1.214 | 453.060 |
| 15.54 | 0.70 | 1.256 | 1.257 | 477.242 |
| 6.73 | 0.30 | 1.280 | 1.214 | 453.060 |
| 12.65 | 0.20 | 1.331 | 1.197 | 458.594 |
| 8.63 | 0.10 | 1.434 | 1.177 | 477.507 |

4.6 Analisis Dinamis *Free Span*

Pada analisis dinamis *free span* hal utama yang menjadi perhitungan adalah frekuensi natural pipa. Sesuai dengan DNV RP F105, nilai frekuensi natural akan dilakukan screening untuk menentukan apakah pipa dalam keadaan aman atau kritis. Screening dilakukan dari arah *inline* maupun *crossflow*. Sebelum masuk pada perhitungan frekurnsi natural pipa ada beberapa variable pendukung yang perlu dihitung terlebih dahulu seperti *Concrete Stiffness Factor* (CSF), Panjang Span Efektif (Leff), *Effective Axial Force* (Seff), *Critical Buckling* (Pcr), dan Defleksi. Untuk Panjang Maksimum Span pada arah *Inline* dan *crossflow* juga dapat diketahui ketika nilai dari frekuensi natural sudah didapatkan. Untuk batasan

daripada analisis dinamis free span ini adalah penggunaan tumpuan *pinned-pinned* yang nantinya akan mempengaruhi nilai dari boundary conditionnya.

4.6.1 Perhitungan Concrete Stiffness Factor (CSF)

Concrete Stiffness Factor (CSF) menunjukkan kekakuan selimut beton relatif terhadap kekakuan pipa baja. sebelum mencari nilai CSF berikut merupakan parameter awal perhitungan CSF ditampilkan pada Tabel 4.21 berikut:

Tabel 4.21 Parameter Perhitungan CSF

| Parameter Concrete Stiffness Factor | | | |
|--|------------|-----------------------|--------|
| Parameter | Notasi | Nilai | Satuan |
| Konstanta Empiris (Asphalt) | k_C | 0.33 | - |
| Momen Inersia Pipa Baja | I_{st} | 2.2×10^{-4} | m^4 |
| Momen Inersia Selimut Beton | I_{conc} | 1.48×10^{-3} | m^4 |
| Young's Modulus Pipa Baja | E_{st} | 207000 | Mpa |
| Kekuatan Material Selimut Beton | f_{cn} | 45 | Mpa |

Kemudian untuk perhitungan nilai CSF bisa menggunakan Persamaan 2.47. untuk hasil perhitungannya ditampilkan pada Tabel 4.22 berikut :

Tabel 4.22 Hasil Perhitungan CSF

| Hasil Perhitungan Concrete Stiffness Factor | | | |
|--|------------|----------|--------|
| Parameter | Notasi | Nilai | Satuan |
| Young Modulus Selimut Beton | E_{conc} | 31330.24 | Mpa |
| Concrete Stiffness Factor | CSF | 0.330 | - |

4.6.2 Perhitungan Effective Axial Force (S_{eff})

Pada perhitungan *Effective Axial Force* ada beberapa parameter perhitungan awal yang harus dipenuhi, diantaranya ditampilkan pada Tabel 4.23 berikut :

Tabel 4.23 Parameter Perhitungan S_{eff}

| Parameter Perhitungan Effective Axial Force | | | |
|--|------------|----------|--------|
| Parameter | Notasi | Nilai | Satuan |
| Perbedaan tekanan | ΔP | 9.36E+06 | Pa |
| <i>Poisson's ratio</i> baja | v_{st} | 0.30 | - |

| Parameter Perhitungan Effective Axial Force | | | |
|---|------------|----------|--------------|
| Parameter | Notasi | Nilai | Satuan |
| Diameter dalam pipa | D_i | 0.33 | m |
| Luas penampang internal pipa baja | A_i | 0.08 | m^2 |
| Luas penampang pipa baja | A_{st} | 1.50E-02 | m^2 |
| Koefisien <i>thermal expansion</i> | α_e | 1.17E-05 | ${}^\circ C$ |
| Temperatur Operasi | T_1 | 65.00 | ${}^\circ C$ |
| Temperatur air laut | T_0 | 25.00 | ${}^\circ C$ |
| <i>Young's modulus</i> pipa baja | E_{st} | 2.07E+11 | Pa |

Untuk nilai S_{eff} bisa dicari dengan Persamaan 2.50. Hasil perhitungannya ditampilkan pada Tabel 4.24 berikut :

Tabel 4.24 Hasil Perhitungan S_{eff}

| Effective Axial Force | | | |
|-----------------------|-----------|-----------|--------|
| Parameter | Notasi | Nilai | Satuan |
| Effective Axial Force | S_{eff} | -1.77E+06 | N |

4.6.3 Perhitungan Critical Buckling (P_{cr})

Critical Buckling merupakan kemampuan pipa menahan beban dan tekanan sebelum terjadinya *buckling*. Untuk menghitung nilai P_{cr} ada beberapa parameter awal perhitungan yang harus dipenuhi. Salah satunya adalah boundary condition, pada DNV RP F105 mensyaratkan pipa dengan tumpuan *pinned-pinned* panjang span efektif diganti dengan panjang span aktual ($L_{eff} = L$). parameter perhitungan *critical buckling* ditampilkan pada Tabel 4.25 berikut :

Tabel 4.25 Parameter Perhitungan P_{cr}

| Parameter | Notasi | Nilai | Satuan |
|----------------------------------|----------|----------|--------|
| <i>Concrete stiffness factor</i> | CSF | 0.330 | - |
| <i>Young's modulus</i> pipa baja | E_{st} | 2.07E+11 | Pa |
| momen inersia pipa baja | I_{st} | 2.24E-04 | m^4 |
| Boundary condition | C_2 | 1.00 | - |

Untuk perhitungan nilai critical buckling dapat dilihat pada Persamaan 2.51. Hasil perhitungannya ditampilkan pada Tabel 4.26 berikut :

Tabel 4.26 Hasil Perhitungan Pcr

| Hasil Perhitungan <i>Critical Buckling</i> | | |
|---|--------------------|----------------------|
| Panjang Aktual Span | Pcr In-Line | Pcr Crossflow |
| m | N | N |
| 5.38 | 2.10E+07 | 2.10E+07 |
| 2.88 | 7.34E+07 | 7.34E+07 |
| 12.87 | 3.67E+06 | 3.67E+06 |
| 3.61 | 4.67E+07 | 4.67E+07 |
| 19.15 | 1.66E+06 | 1.66E+06 |
| 6.88 | 1.29E+07 | 1.29E+07 |
| 6.98 | 1.25E+07 | 1.25E+07 |
| 7.44 | 1.10E+07 | 1.10E+07 |
| 16.08 | 2.35E+06 | 2.35E+06 |
| 4.39 | 3.16E+07 | 3.16E+07 |
| 7.68 | 1.03E+07 | 1.03E+07 |
| 12.11 | 4.15E+06 | 4.15E+06 |
| 11.89 | 4.31E+06 | 4.31E+06 |
| 11.38 | 4.70E+06 | 4.70E+06 |
| 10.63 | 5.39E+06 | 5.39E+06 |
| 10.41 | 5.62E+06 | 5.62E+06 |
| 15.54 | 2.52E+06 | 2.52E+06 |
| 6.73 | 1.34E+07 | 1.34E+07 |
| 12.65 | 3.80E+06 | 3.80E+06 |
| 8.63 | 8.17E+06 | 8.17E+06 |

4.6.4 Perhitungan Defleksi (δ)

Defleksi diakibatkan oleh tekanan dan gaya yang bekerja mengenai pipa selama masa operasi. Analisis defleksi yang dilakukan arah *inline* dan arah *crossflow*. Untuk menghitung nilai defleksi pada pipa dapat menggunakan Persamaan 2.52. Untuk hasil perhitungan defleksi pada arah inline maupun crossflow ditampilkan pada Tabel 4.27 berikut:

Tabel 4.27 Hasil Perhitungan Defleksi

| Hasil Perhitungan Defleksi | | | | | |
|-----------------------------------|--------------------|----------------------|-------------|-------------------------|---------------------------|
| Panjang Aktual Span | Pcr In-Line | Pcr Crossflow | Ftot | Defleksi In-Line | Defleksi Crossflow |
| m | N | N | N/m | m | m |
| 5.38 | 2.10E+07 | 2.10E+07 | 453.060 | 0.000 | 0.000 |
| 2.88 | 7.34E+07 | 7.34E+07 | 453.060 | 0.000 | 0.000 |
| 12.87 | 3.67E+06 | 3.67E+06 | 463.058 | 0.005 | 0.017 |
| 3.61 | 4.67E+07 | 4.67E+07 | 453.060 | 0.000 | 0.000 |
| 19.15 | 1.66E+06 | 1.66E+06 | 453.060 | -0.198 | -0.675 |
| 6.88 | 1.29E+07 | 1.29E+07 | 453.060 | 0.000 | 0.001 |
| 6.98 | 1.25E+07 | 1.25E+07 | 453.060 | 0.000 | 0.001 |
| 7.44 | 1.10E+07 | 1.10E+07 | 463.058 | 0.000 | 0.001 |
| 16.08 | 2.35E+06 | 2.35E+06 | 453.060 | 0.026 | 0.088 |
| 4.39 | 3.16E+07 | 3.16E+07 | 453.156 | 0.000 | 0.000 |
| 7.68 | 1.03E+07 | 1.03E+07 | 453.060 | 0.000 | 0.001 |
| 12.11 | 4.15E+06 | 4.15E+06 | 453.060 | 0.004 | 0.012 |
| 11.89 | 4.31E+06 | 4.31E+06 | 453.060 | 0.003 | 0.011 |
| 11.38 | 4.70E+06 | 4.70E+06 | 463.058 | 0.003 | 0.009 |
| 10.63 | 5.39E+06 | 5.39E+06 | 463.058 | 0.002 | 0.006 |
| 10.41 | 5.62E+06 | 5.62E+06 | 453.060 | 0.002 | 0.006 |
| 15.54 | 2.52E+06 | 2.52E+06 | 477.242 | 0.020 | 0.064 |
| 6.73 | 1.34E+07 | 1.34E+07 | 453.060 | 0.000 | 0.001 |
| 12.65 | 3.80E+06 | 3.80E+06 | 458.594 | 0.005 | 0.016 |
| 8.63 | 8.17E+06 | 8.17E+06 | 477.507 | 0.001 | 0.002 |

4.6.5 Perhitungan Frekuensi Vortex Sheding dan Frekuensi Natural

Frekuensi vortex shedding dapat dicari dengan Persamaan 2.36. Untuk nilai frekuensi natural pipa dapat dicari dari Persamaan 2.53 dengan parameter yang telah dihitung sebelumnya. Keduanya antara Frekuensi vortex shedding dengan frekuensi natural nantinya akan dijadikan screening kriteria pipa mengalami VIV atau tidak. Untuk hasil perhitungan frekuensi vortex shedding dan frekuensi natural ditampilkan pada Tabel 4.28 berikut :

Tabel 4.28 Hasil Perhitungan Frekuensi Natural

| Perhitungan Frekuensi Natural | | | |
|-------------------------------|---------------------------|----------------------------------|----------------------------------|
| Panjang Aktual Span | Vortex Shedding (f_s) | Frekuensi Natural ($f_{n il}$) | Frekuensi Natural ($f_{n cf}$) |
| m | Hz | Hz | Hz |
| 5.4 | 0.52 | 17.83 | 17.83 |
| 2.9 | 0.52 | 64.22 | 64.22 |
| 12.9 | 0.53 | 2.37 | 2.37 |
| 3.6 | 0.52 | 40.59 | 40.59 |
| 19.2 | 0.52 | 0.41 | 1.86 |
| 6.9 | 0.52 | 10.58 | 10.58 |
| 7.0 | 0.52 | 10.25 | 10.25 |
| 7.4 | 0.53 | 9.02 | 9.02 |
| 16.1 | 0.52 | 1.05 | 1.10 |
| 4.4 | 0.52 | 27.19 | 27.19 |
| 7.7 | 0.52 | 8.32 | 8.32 |
| 12.1 | 0.52 | 2.79 | 2.79 |
| 11.9 | 0.52 | 2.93 | 2.93 |
| 11.4 | 0.53 | 3.32 | 3.32 |
| 10.6 | 0.53 | 3.95 | 3.95 |
| 10.4 | 0.52 | 4.12 | 4.12 |
| 15.5 | 0.54 | 1.24 | 1.26 |
| 6.7 | 0.52 | 11.09 | 11.09 |
| 12.7 | 0.51 | 2.41 | 2.41 |
| 8.63 | 0.50 | 6.02 | 6.02 |

4.6.6 Perhitungan Panjang Maksimum Span

Panjang maksimum span ini merupakan batas span yang diijinkan untuk menghindari kegagalan pada pipa. Analisis dilakukan baik dari arah *inline* maupun *crossflow*. Panjang maksimum span pada arah *inline* dan *crossflow* dapat dihitung dengan Persamaan 2.54 dan Persamaan 2.55. Hasil perhitungan panjang maksimum span ditampilkan pada Tabel 4.29 berikut :

Tabel 4.29 Hasil Perhitungan Frekuensi Natural

| Hasil Perhitungan Panjang Maksimum Span | | |
|--|-------------------------------|-------------------------------|
| Panjang Aktual Span | Panjang Maksimum Span (Lc IL) | Panjang Maksimum Span (Lc CF) |
| m | m | m |
| 5.38 | 91.329 | 39.550 |
| 2.88 | 173.334 | 39.550 |
| 12.87 | 33.473 | 39.591 |
| 3.61 | 137.793 | 39.550 |
| 19.15 | 13.834 | 39.550 |
| 6.88 | 70.353 | 39.550 |
| 6.98 | 69.264 | 39.550 |
| 7.44 | 65.293 | 39.591 |
| 16.08 | 22.119 | 39.550 |
| 4.39 | 112.773 | 39.552 |
| 7.68 | 62.397 | 39.550 |
| 12.11 | 36.102 | 39.550 |
| 11.89 | 37.013 | 39.550 |
| 11.38 | 39.638 | 39.591 |
| 10.63 | 43.227 | 39.591 |
| 10.41 | 43.898 | 39.550 |
| 15.54 | 24.173 | 39.469 |
| 6.73 | 72.044 | 39.550 |
| 12.65 | 33.239 | 39.240 |
| 8.63 | 51.437 | 38.589 |

4.7 Kriteria *Screening*

Screening kriteria VIV pada arah crossflow maupun inline perlu dilakukan untuk mengetahui apakah VIV yang terjadi pada pipeline masih dalam batas aman kriteria DNV RP F105 atau tidak. Screening kriteria ini nantinya akan menjadi salah satu faktor untuk melakukan mitigasi pada pipeline. Screening kriteria yang dilakukan mengacu pada DNV RP F105 dapat dilakukan dengan menggunakan Persamaan 2.56 untuk arah *inline* dan Persamaan 2.57 untuk arah *crossflow*. Hasil Perhitungan untuk kriteria VIV arah *inline* ditampilkan pada Tabel 4.30 berikut :

Tabel 4.30 Screening Kriteria VIV arah *In-Line*

| Panjang Aktual Span m | Nilai Kriteria | fn il | Kondisi In-Line |
|-----------------------------|-------------------|-------|--------------------|
| | | Hz | |
| 5.38 | 2.024 | 17.83 | AMAN |
| 2.88 | 2.024 | 64.22 | AMAN |
| 12.87 | 2.108 | 2.37 | AMAN |
| 3.61 | 2.024 | 40.59 | AMAN |
| 19.15 | 2.024 | 0.41 | TERJADI VIV |
| 6.88 | 2.024 | 10.58 | AMAN |
| 6.98 | 2.024 | 10.25 | AMAN |
| 7.44 | 2.108 | 9.02 | AMAN |
| 16.08 | 2.024 | 1.05 | TERJADI VIV |
| 4.39 | 2.024 | 27.19 | AMAN |
| 7.68 | 2.024 | 8.32 | AMAN |
| 12.11 | 2.034 | 2.79 | AMAN |
| 11.89 | 2.024 | 2.93 | AMAN |
| 11.38 | 2.108 | 3.32 | AMAN |
| 10.63 | 2.108 | 3.95 | AMAN |
| 10.41 | 2.024 | 4.12 | AMAN |
| 15.54 | 2.153 | 1.24 | TERJADI VIV |
| 6.73 | 2.024 | 11.09 | AMAN |
| 12.65 | 1.937 | 2.41 | AMAN |
| 8.63 | 1.801 | 6.02 | AMAN |

Hasil Perhitungan untuk kriteria VIV arah *inline* ditampilkan pada Tabel 4.31 berikut :

Tabel 4.31 Screening Kriteria VIV arah *Crossflow*

| Panjang Aktual Span m | Nilai Kriteria | fn cf | Kondisi Crossflow |
|-----------------------------|-------------------|-------|----------------------|
| | | Hz | |
| 5.38 | 1.274 | 17.83 | AMAN |
| 2.88 | 1.274 | 64.22 | AMAN |
| 12.87 | 1.311 | 2.37 | AMAN |
| 3.61 | 1.274 | 40.59 | AMAN |
| 19.15 | 1.274 | 1.86 | AMAN |
| 6.88 | 1.274 | 10.58 | AMAN |
| 6.98 | 1.274 | 10.25 | AMAN |
| 7.44 | 1.311 | 9.02 | AMAN |

| Panjang Aktual Span m | Nilai Kriteria | fn cf | Kondisi Crossflow |
|--------------------------|----------------|-------|-------------------|
| | | Hz | |
| 16.08 | 1.274 | 1.10 | TERJADI VIV |
| 4.39 | 1.274 | 27.19 | AMAN |
| 7.68 | 1.274 | 8.32 | AMAN |
| 12.11 | 1.280 | 2.79 | AMAN |
| 11.89 | 1.274 | 2.93 | AMAN |
| 11.38 | 1.311 | 3.32 | AMAN |
| 10.63 | 1.311 | 3.95 | AMAN |
| 10.41 | 1.274 | 4.12 | AMAN |
| 15.54 | 1.339 | 1.26 | TERJADI VIV |
| 6.73 | 1.274 | 11.09 | AMAN |
| 12.65 | 1.250 | 2.41 | AMAN |
| 8.63 | 1.219 | 6.02 | AMAN |

Berdasarkan hasil screening kriteria di atas, terdapat beberapa titik pipa yang mengalami VIV yaitu pada panjang span 19.15 m pada arah *inline*, pada 16.08 m dan juga 15.54 m terjadi VIV *multi directions*.

Untuk melakukan mitigasi diperlukan screening kriteria lain seperti yang telah dijelaskan pada bab sebelumnya. Menurut Guo,dkk. (2005) ada beberapa faktor yang perlu di perhitungkan dalam melakukan mitigasi pada pipeline yang mengalami *free span*. Terdapat 5 faktor yang perlu diperhitungkan seperti ditampilkan pada Tabel (Tabel 2.13). Hasil perhitungannya ditampilkan pada Tabel 4.32 sampai dengan Tabel 4.40 berikut ini:

Tabel 4.32 Screening Osilasi arah *Inline*

| Screening Kriteria VIV arah <i>In-Line</i> | | | |
|--|---|--|-----------------|
| Panjang Aktual Span m | Vortex Shedding (f _s) Hz | 0.7 x Frekuensi Natural (f _{n il}) Hz | Kondisi In-Line |
| 5.38 | 0.518 | 12.481 | AMAN |
| 2.88 | 0.518 | 44.956 | AMAN |
| 12.87 | 0.528 | 1.659 | AMAN |
| 3.61 | 0.518 | 28.410 | AMAN |
| 19.15 | 0.518 | 0.286 | OSILASI |
| 6.88 | 0.518 | 7.406 | AMAN |
| 6.98 | 0.518 | 7.178 | AMAN |

| Screening Kriteria VIV arah <i>In-Line</i> | | | |
|--|---------------------------|--|------------------------|
| Panjang Aktual Span | Vortex Shedding (f_s) | 0.7 x Frekuensi Natural ($f_{n il}$) | Kondisi <i>In-Line</i> |
| m | Hz | Hz | |
| 7.44 | 0.528 | 6.313 | AMAN |
| 16.08 | 0.518 | 0.732 | AMAN |
| 4.39 | 0.518 | 19.030 | AMAN |
| 7.68 | 0.518 | 5.826 | AMAN |
| 12.11 | 0.518 | 1.950 | AMAN |
| 11.89 | 0.518 | 2.050 | AMAN |
| 11.38 | 0.528 | 2.326 | AMAN |
| 10.63 | 0.528 | 2.767 | AMAN |
| 10.41 | 0.518 | 2.883 | AMAN |
| 15.54 | 0.536 | 0.865 | AMAN |
| 6.73 | 0.518 | 7.766 | AMAN |
| 12.65 | 0.510 | 1.689 | AMAN |
| 8.63 | 0.502 | 4.214 | AMAN |

Tabel 4.33 Screening Osilasi arah *Crossflow*

| Screening Kriteria VIV arah <i>Crossflow</i> | | | |
|--|---------------------------|--|--------------------------|
| Panjang Aktual Span | Vortex Shedding (f_s) | 0.7 x Frekuensi Natural ($f_{n cf}$) | Kondisi <i>Crossflow</i> |
| m | Hz | Hz | |
| 5.38 | 0.518 | 12.481 | AMAN |
| 2.88 | 0.518 | 44.956 | AMAN |
| 12.87 | 0.528 | 1.661 | AMAN |
| 3.61 | 0.518 | 28.410 | AMAN |
| 19.15 | 0.518 | 1.299 | AMAN |
| 6.88 | 0.518 | 7.406 | AMAN |
| 6.98 | 0.518 | 7.178 | AMAN |
| 7.44 | 0.528 | 6.313 | AMAN |
| 16.08 | 0.518 | 0.768 | AMAN |
| 4.39 | 0.518 | 19.030 | AMAN |
| 7.68 | 0.518 | 5.826 | AMAN |
| 12.11 | 0.518 | 1.951 | AMAN |
| 11.89 | 0.518 | 2.051 | AMAN |
| 11.38 | 0.528 | 2.327 | AMAN |
| 10.63 | 0.528 | 2.767 | AMAN |

| Screening Kriteria VIV arah <i>Crossflow</i> | | | |
|--|---------------------------|---|--------------------------|
| Panjang Aktual Span | Vortex Shedding (f_s) | $0.7 \times$ Frekuensi Natural ($f_{n cf}$) | Kondisi <i>Crossflow</i> |
| m | Hz | Hz | |
| 10.41 | 0.518 | 2.884 | AMAN |
| 15.54 | 0.536 | 0.884 | AMAN |
| 6.73 | 0.518 | 7.766 | AMAN |
| 12.65 | 0.510 | 1.690 | AMAN |
| 8.63 | 0.502 | 4.215 | AMAN |

Tabel 4.34 Screening Kriteria Panjang Maksimum Span arah *Inline*

| Screening Kriteria Panjang Maksimum Span arah <i>In-Line</i> | | |
|--|--|------------------------|
| Panjang Aktual Span | Panjang Span Maksimum <i>In-Line</i> (Lc IL) | Kondisi <i>In-Line</i> |
| m | | |
| 5.38 | 91.329 | AMAN |
| 2.88 | 173.334 | AMAN |
| 12.87 | 33.473 | AMAN |
| 3.61 | 137.793 | AMAN |
| 19.15 | 13.834 | TERJADI VIV |
| 6.88 | 70.353 | AMAN |
| 6.98 | 69.264 | AMAN |
| 7.44 | 65.293 | AMAN |
| 16.08 | 22.119 | AMAN |
| 4.39 | 112.773 | AMAN |
| 7.68 | 62.397 | AMAN |
| 12.11 | 36.102 | AMAN |
| 11.89 | 37.013 | AMAN |
| 11.38 | 39.638 | AMAN |
| 10.63 | 43.227 | AMAN |
| 10.41 | 43.898 | AMAN |
| 15.54 | 24.173 | AMAN |
| 6.73 | 72.044 | AMAN |
| 12.65 | 33.239 | AMAN |
| 8.63 | 51.437 | AMAN |

Tabel 4.35 Screening Kriteria Panjang Maksimum Span arah *Crossflow*

| Screening Kriteria Panjang Maksimum Span arah <i>Crossflow</i> | | |
|---|--|-----------------------------|
| Panjang Aktual Span m | Panjang Span Maksimum <i>Crossflow</i> (Lc CF) | Kondisi <i>Crossflow</i> |
| 5.38 | 39.550 | AMAN |
| 2.88 | 39.550 | AMAN |
| 12.87 | 39.591 | AMAN |
| 3.61 | 39.550 | AMAN |
| 19.15 | 39.550 | AMAN |
| 6.88 | 39.550 | AMAN |
| 6.98 | 39.550 | AMAN |
| 7.44 | 39.591 | AMAN |
| 16.08 | 39.550 | AMAN |
| 4.39 | 39.552 | AMAN |
| 7.68 | 39.550 | AMAN |
| 12.11 | 39.550 | AMAN |
| 11.89 | 39.550 | AMAN |
| 11.38 | 39.591 | AMAN |
| 10.63 | 39.591 | AMAN |
| 10.41 | 39.550 | AMAN |
| 15.54 | 39.469 | AMAN |
| 6.73 | 39.550 | AMAN |
| 12.65 | 39.240 | AMAN |
| 8.63 | 38.589 | AMAN |

DNV RP F105 mensyaratkan gaya aksial efektif dibagi dengan nilai *critical buckling* tidak boleh kurang dari -0.5. Hasil analisis screening nilai critical buckling ditampilkan pada Tabel 4.36 untuk arah *inline* dan Tabel 4.37 untuk arah *crossflow* berikut :

Tabel 4.36 Screening Kriteria Nilai *Critical Buckling* arah *Inline*

| Screening Kriteria Nilai Critical Buckling arah In-Line | | | |
|---|----------------------------|----------------|---------------------------|
| Panjang Aktual Span m | Seff/Pcr <i>In-Line</i> | Nilai Batas | Kondisi <i>In-Line</i> |
| 5.38 | -0.08 | -0.5 | AMAN |
| 2.88 | -0.02 | -0.5 | AMAN |

| Screening Kriteria Nilai Critical Buckling arah <i>In-Line</i> | | | |
|--|-------------------------|-------------|------------------------|
| Panjang Aktual Span | Seff/Pcr <i>In-Line</i> | Nilai Batas | Kondisi <i>In-Line</i> |
| m | | | |
| 12.87 | -0.48 | -0.5 | AMAN |
| 3.61 | -0.04 | -0.5 | AMAN |
| 19.15 | -1.07 | -0.5 | TERJADI VIV |
| 6.88 | -0.14 | -0.5 | AMAN |
| 6.98 | -0.14 | -0.5 | AMAN |
| 7.44 | -0.16 | -0.5 | AMAN |
| 16.08 | -0.75 | -0.5 | TERJADI VIV |
| 4.39 | -0.06 | -0.5 | AMAN |
| 7.68 | -0.17 | -0.5 | AMAN |
| 12.11 | -0.43 | -0.5 | AMAN |
| 11.89 | -0.41 | -0.5 | AMAN |
| 11.38 | -0.38 | -0.5 | AMAN |
| 10.63 | -0.33 | -0.5 | AMAN |
| 10.41 | -0.31 | -0.5 | AMAN |
| 15.54 | -0.70 | -0.5 | TERJADI VIV |
| 6.73 | -0.13 | -0.5 | AMAN |
| 12.65 | -0.46 | -0.5 | AMAN |
| 8.63 | -0.22 | -0.5 | AMAN |

Tabel 4.37 Screening Kriteria Nilai *Critical Buckling* arah *Crossflow*

| Screening Kriteria Nilai Critical Buckling arah <i>Crossflow</i> | | | |
|--|---------------------------|-------------|--------------------------|
| Panjang Aktual Span | Seff/Pcr <i>Crossflow</i> | Nilai Batas | Kondisi <i>Crossflow</i> |
| m | | | |
| 5.38 | -0.08 | -0.5 | AMAN |
| 2.88 | -0.02 | -0.5 | AMAN |
| 12.87 | -0.48 | -0.5 | AMAN |
| 3.61 | -0.04 | -0.5 | AMAN |
| 19.15 | -1.07 | -0.5 | TERJADI VIV |
| 6.88 | -0.14 | -0.5 | AMAN |
| 6.98 | -0.14 | -0.5 | AMAN |
| 7.44 | -0.16 | -0.5 | AMAN |
| 16.08 | -0.75 | -0.5 | TERJADI VIV |
| 4.39 | -0.06 | -0.5 | AMAN |
| 7.68 | -0.17 | -0.5 | AMAN |

| Screening Kriteria Nilai Critical Buckling arah Crossflow | | | |
|---|-----------------------|-------------|-------------------|
| Panjang Aktual Span m | Seff/Pcr Crossflow | Nilai Batas | Kondisi Crossflow |
| 12.11 | -0.43 | -0.5 | AMAN |
| 11.89 | -0.41 | -0.5 | AMAN |
| 11.38 | -0.38 | -0.5 | AMAN |
| 10.63 | -0.33 | -0.5 | AMAN |
| 10.41 | -0.31 | -0.5 | AMAN |
| 15.54 | -0.70 | -0.5 | TERJADI VIV |
| 6.73 | -0.13 | -0.5 | AMAN |
| 12.65 | -0.46 | -0.5 | AMAN |
| 8.63 | -0.22 | -0.5 | AMAN |

Untuk Screening nilai defleksi dilakukan pada arah inline dan crossflow. Nilai rasio antara defleksi dengan diameter terluar pipa tidak boleh melebihi 2.5. Untuk hasil analisis screening nilai rasio defleksi ditampilkan pada Tabel 4.38 untuk arah *inline* dan Tabel 4.39 untuk arah *crossflow* berikut :

Tabel 4.38 Screening Kriteria Defleksi arah *Inline*

| Screening Kriteria Nilai Defleksi arah <i>In-Line</i> | | | |
|---|-------------------------------|-------------------|-----------------|
| Panjang Aktual Span m | Defleksi In-Line (δ) | δ Inline/D | Kondisi In-Line |
| 5.38 | 0.000 | 0.000 | AMAN |
| 2.88 | 0.000 | 0.000 | AMAN |
| 12.87 | 0.005 | 0.011 | AMAN |
| 3.61 | 0.000 | 0.000 | AMAN |
| 19.15 | -0.198 | -0.422 | TERJADI VIV |
| 6.88 | 0.000 | 0.001 | AMAN |
| 6.98 | 0.000 | 0.001 | AMAN |
| 7.44 | 0.000 | 0.001 | AMAN |
| 16.08 | 0.026 | 0.055 | AMAN |
| 4.39 | 0.000 | 0.000 | AMAN |
| 7.68 | 0.000 | 0.001 | AMAN |
| 12.11 | 0.004 | 0.008 | AMAN |
| 11.89 | 0.003 | 0.007 | AMAN |
| 11.38 | 0.003 | 0.006 | AMAN |

| Screening Kriteria Nilai Defleksi arah <i>In-Line</i> | | | |
|---|--------------------------------------|-------------------|------------------------|
| Panjang Aktual Span | Defleksi <i>In-Line</i> (δ) | δ Inline/D | Kondisi <i>In-Line</i> |
| m | | | |
| 10.63 | 0.002 | 0.004 | AMAN |
| 10.41 | 0.002 | 0.003 | AMAN |
| 15.54 | 0.020 | 0.042 | AMAN |
| 6.73 | 0.000 | 0.000 | AMAN |
| 12.65 | 0.005 | 0.010 | AMAN |
| 8.63 | 0.001 | 0.002 | AMAN |

Tabel 4.39 Screening Kriteria Defleksi arah *Crossflow*

| Screening Kriteria Nilai Defleksi arah <i>Crossflow</i> | | | |
|---|--|----------------------|--------------------------|
| Panjang Aktual Span | Defleksi <i>Crossflow</i> (δ) | δ Crossflow/D | Kondisi <i>Crossflow</i> |
| m | | | |
| 5.38 | 0.000 | 0.001 | AMAN |
| 2.88 | 0.000 | 0.000 | AMAN |
| 12.87 | 0.017 | 0.037 | AMAN |
| 3.61 | 0.000 | 0.000 | AMAN |
| 19.15 | -0.675 | -1.439 | TERJADI VIV |
| 6.88 | 0.001 | 0.002 | AMAN |
| 6.98 | 0.001 | 0.002 | AMAN |
| 7.44 | 0.001 | 0.003 | AMAN |
| 16.08 | 0.088 | 0.187 | AMAN |
| 4.39 | 0.000 | 0.000 | AMAN |
| 7.68 | 0.001 | 0.003 | AMAN |
| 12.11 | 0.012 | 0.026 | AMAN |
| 11.89 | 0.011 | 0.024 | AMAN |
| 11.38 | 0.009 | 0.019 | AMAN |
| 10.63 | 0.006 | 0.013 | AMAN |
| 10.41 | 0.006 | 0.012 | AMAN |
| 15.54 | 0.064 | 0.136 | AMAN |
| 6.73 | 0.001 | 0.002 | AMAN |
| 12.65 | 0.016 | 0.033 | AMAN |
| 8.63 | 0.002 | 0.005 | AMAN |

Untuk screening kriteria gap (jarak pipa dengan seabed) disyaratkan nilainyaharus kurang dari 5 kali diameternya. Hasil analisinya ditampilkan pada Tabel 4.40 berikut :

Tabel 4.40 Screening Kriteria Gap

| Screening Kriteria Gap | | | |
|------------------------|-----------|-------|---------|
| Panjang Aktual Span | Gap (e) | 5D | Kondisi |
| m | m | | |
| 5.38 | 0.30 | 2.345 | AMAN |
| 2.88 | 0.30 | 2.345 | AMAN |
| 12.87 | 0.50 | 2.345 | AMAN |
| 3.61 | 0.30 | 2.345 | AMAN |
| 19.15 | 0.30 | 2.345 | AMAN |
| 6.88 | 0.30 | 2.345 | AMAN |
| 6.98 | 0.30 | 2.345 | AMAN |
| 7.44 | 0.50 | 2.345 | AMAN |
| 16.08 | 0.30 | 2.345 | AMAN |
| 4.39 | 0.30 | 2.345 | AMAN |
| 7.68 | 0.30 | 2.345 | AMAN |
| 12.11 | 0.30 | 2.345 | AMAN |
| 11.89 | 0.30 | 2.345 | AMAN |
| 11.38 | 0.50 | 2.345 | AMAN |
| 10.63 | 0.50 | 2.345 | AMAN |
| 10.41 | 0.30 | 2.345 | AMAN |
| 15.54 | 0.70 | 2.345 | AMAN |
| 6.73 | 0.30 | 2.345 | AMAN |
| 12.65 | 0.20 | 2.345 | AMAN |
| 8.63 | 0.10 | 2.345 | AMAN |

4.8 Mitigasi

Setelah melakukan screening kriteria, terdapat 3 titik span yang perlu dilakukan mitigasi. Menurut DNV RP F105, dalam peletakkan *support* minimal adalah 0.5 kali dari panjang span, namun dalam pengaplikasianya diharapkan semua factor mitigasi dapat terpenuhi. Jarak support yang dikonfigurasikan pada Tugas Akhir ini adalah berjarak 13 meter antar *support*. Pemilihan jarak *support* berdasarkan nilai panjang maksimum paling minimum yang terjadi pada arah *inline*

maupun *crossflow* agar semua kriteria yang disyaratkan oleh DNV RP F105 dapat terpenuhi. Berikut Tabel 4.41 menyajikan hasil konfigurasi span setelah penambahan *support*.

Tabel 4.41 Panjang Span Setelah Penambahan Support

| Panjang Span dengan Jarak Support 13m | | | |
|--|-----------|--------------------------------|--------------------------------|
| Panjang Aktual Span | Gap (e) | Panjang Span Setelah disupport | Panjang Span Setelah disupport |
| m | m | m | m |
| 5.38 | 0.30 | 5.38 | - |
| 2.88 | 0.30 | 2.88 | - |
| 12.87 | 0.50 | 12.87 | - |
| 3.61 | 0.30 | 3.61 | - |
| 19.15 | 0.30 | 13 | 6.15 |
| 6.88 | 0.30 | 6.88 | - |
| 6.98 | 0.30 | 6.98 | - |
| 7.44 | 0.50 | 7.44 | - |
| 16.08 | 0.30 | 13 | 3.08 |
| 4.39 | 0.30 | 4.39 | - |
| 7.68 | 0.30 | 7.68 | - |
| 12.11 | 0.30 | 12.11 | - |
| 11.89 | 0.30 | 11.89 | - |
| 11.38 | 0.50 | 11.38 | - |
| 10.63 | 0.50 | 10.63 | - |
| 10.41 | 0.30 | 10.41 | - |
| 15.54 | 0.70 | 13 | 2.54 |
| 6.73 | 0.30 | 6.73 | - |
| 12.65 | 0.20 | 12.56 | - |
| 8.63 | 0.10 | 8.63 | - |

Untuk Panjang span baru setelah dimitigasi penambahan support dianalisis kembali agar memenuhi kriteria yang telah ditetapkan sesuai DNV RP F105. Hasil screening kriteria setelah dilakukan penambahan *support* ditampilkan pada Tabel 4.42 sampai dengan Tabel 4.45 berikut :

Tabel 4.42 Screening Kriteria VIV Setelah Mitigasi

| Screening Kriteria Frekuensi Natural Terhadap U extreme | | | | | | |
|---|--------------------------|-----------------------------|-------|-------|-----------------|-------------------|
| Panjang Aktual Span m | Nilai Kriteria Inline | Nilai Kriteria Crossflow | fn il | fn cf | Kondisi In-Line | Kondisi Crossflow |
| | | | Hz | Hz | | |
| 5.38 | 2.02 | 1.27 | 17.83 | 17.83 | AMAN | AMAN |
| 2.88 | 2.02 | 1.27 | 64.22 | 64.22 | AMAN | AMAN |
| 12.87 | 2.11 | 1.31 | 2.37 | 2.37 | AMAN | AMAN |
| 3.61 | 2.02 | 1.27 | 40.59 | 40.59 | AMAN | AMAN |
| 13.00 | 2.02 | 1.27 | 2.28 | 2.28 | AMAN | AMAN |
| 6.15 | 2.02 | 1.27 | 13.45 | 13.45 | AMAN | AMAN |
| 6.88 | 2.02 | 1.27 | 10.58 | 10.58 | AMAN | AMAN |
| 6.98 | 2.02 | 1.27 | 10.25 | 10.25 | AMAN | AMAN |
| 7.44 | 2.11 | 1.31 | 9.02 | 9.02 | AMAN | AMAN |
| 13.00 | 2.02 | 1.27 | 2.28 | 2.28 | AMAN | AMAN |
| 3.08 | 2.02 | 1.27 | 56.05 | 56.05 | AMAN | AMAN |
| 4.39 | 2.02 | 1.27 | 27.19 | 27.19 | AMAN | AMAN |
| 7.68 | 2.02 | 1.27 | 8.32 | 8.32 | AMAN | AMAN |
| 12.11 | 2.02 | 1.27 | 2.79 | 2.79 | AMAN | AMAN |
| 11.89 | 2.02 | 1.27 | 2.93 | 2.93 | AMAN | AMAN |
| 11.38 | 2.11 | 1.31 | 3.32 | 3.32 | AMAN | AMAN |
| 10.63 | 2.11 | 1.31 | 3.95 | 3.95 | AMAN | AMAN |
| 10.41 | 2.02 | 1.27 | 4.12 | 4.12 | AMAN | AMAN |
| 13.00 | 2.15 | 1.34 | 2.30 | 2.30 | AMAN | AMAN |
| 2.54 | 2.15 | 1.34 | 83.66 | 83.66 | AMAN | AMAN |
| 6.73 | 2.02 | 1.27 | 11.09 | 11.09 | AMAN | AMAN |
| 12.56 | 1.94 | 1.25 | 2.46 | 2.46 | AMAN | AMAN |
| 8.63 | 1.80 | 1.22 | 6.02 | 6.02 | AMAN | AMAN |

Tabel 4.43 Screening Osilasi

| Screening Osilasi Setelah Mitigasi | | | | | |
|------------------------------------|---------------------|-------------|-------------|-----------------|-------------------|
| Panjang Aktual Span | Vortex Sheding (Fs) | 0.7 x fn il | 0.7 x fn cf | Kondisi In-Line | Kondisi Crossflow |
| m | Hz | | | | |
| 5.38 | 0.518 | 12.481 | 12.481 | AMAN | AMAN |
| 2.88 | 0.518 | 44.956 | 44.956 | AMAN | AMAN |
| 12.87 | 0.528 | 1.659 | 1.661 | AMAN | AMAN |
| 3.61 | 0.518 | 28.410 | 28.410 | AMAN | AMAN |
| 13.00 | 0.518 | 1.594 | 1.596 | AMAN | AMAN |

| Screening Osilasi Setelah Mitigasi | | | | | |
|------------------------------------|---------------------|-------------|-------------|-----------------|-------------------|
| Panjang Aktual Span | Vortex Sheding (Fs) | 0.7 x fn il | 0.7 x fn cf | Kondisi In-Line | Kondisi Crossflow |
| m | Hz | | | | |
| 6.15 | 0.518 | 9.416 | 9.416 | AMAN | AMAN |
| 6.88 | 0.518 | 7.406 | 7.406 | AMAN | AMAN |
| 6.98 | 0.518 | 7.178 | 7.178 | AMAN | AMAN |
| 7.44 | 0.528 | 6.313 | 6.313 | AMAN | AMAN |
| 13.00 | 0.518 | 1.594 | 1.596 | AMAN | AMAN |
| 3.08 | 0.518 | 39.237 | 39.237 | AMAN | AMAN |
| 4.39 | 0.518 | 19.030 | 19.030 | AMAN | AMAN |
| 7.68 | 0.518 | 5.826 | 5.826 | AMAN | AMAN |
| 12.11 | 0.518 | 1.950 | 1.951 | AMAN | AMAN |
| 11.89 | 0.518 | 2.050 | 2.051 | AMAN | AMAN |
| 11.38 | 0.528 | 2.326 | 2.327 | AMAN | AMAN |
| 10.63 | 0.528 | 2.767 | 2.767 | AMAN | AMAN |
| 10.41 | 0.518 | 2.883 | 2.884 | AMAN | AMAN |
| 13.00 | 0.536 | 1.611 | 1.612 | AMAN | AMAN |
| 2.54 | 0.536 | 58.565 | 58.565 | AMAN | AMAN |
| 6.73 | 0.518 | 7.766 | 7.766 | AMAN | AMAN |
| 12.56 | 0.511 | 1.724 | 1.725 | AMAN | AMAN |
| 8.63 | 0.502 | 4.214 | 4.215 | AMAN | AMAN |

Tabel 4.44 Screening Kriteria Panjang Maksimum Span Setelah Mitigasi

| Screening Kriteria Panjang Span Maksimum Setelah Mitigasi | | | | |
|---|--------------------------|-----------------------------|-----------------|-------------------|
| Panjang Aktual Span | Panjang Span Maks Inline | Panjang Span Maks Crossflow | Kondisi In-Line | Kondisi Crossflow |
| m | m | m | | |
| 5.38 | 91.33 | 39.55 | AMAN | AMAN |
| 2.88 | 173.33 | 39.55 | AMAN | AMAN |
| 12.87 | 33.47 | 39.59 | AMAN | AMAN |
| 3.61 | 137.79 | 39.55 | AMAN | AMAN |
| 13.00 | 32.64 | 39.55 | AMAN | AMAN |
| 6.15 | 79.33 | 39.55 | AMAN | AMAN |
| 6.88 | 70.35 | 39.55 | AMAN | AMAN |
| 6.98 | 69.26 | 39.55 | AMAN | AMAN |
| 7.44 | 65.29 | 39.59 | AMAN | AMAN |
| 13.00 | 32.64 | 39.55 | AMAN | AMAN |
| 3.08 | 161.93 | 39.55 | AMAN | AMAN |
| 4.39 | 112.77 | 39.55 | AMAN | AMAN |

| Screening Kriteria Panjang Span Maksimum Setelah Mitigasi | | | | |
|---|--------------------------|-----------------------------|-----------------|-------------------|
| Panjang Aktual Span | Panjang Span Maks Inline | Panjang Span Maks Crossflow | Kondisi In-Line | Kondisi Crossflow |
| m | m | m | | |
| 7.68 | 62.40 | 39.55 | AMAN | AMAN |
| 12.11 | 36.10 | 39.55 | AMAN | AMAN |
| 11.89 | 37.01 | 39.55 | AMAN | AMAN |
| 11.38 | 39.64 | 39.59 | AMAN | AMAN |
| 10.63 | 43.23 | 39.59 | AMAN | AMAN |
| 10.41 | 43.90 | 39.55 | AMAN | AMAN |
| 13.00 | 32.98 | 39.47 | AMAN | AMAN |
| 2.54 | 198.88 | 39.47 | AMAN | AMAN |
| 6.73 | 72.04 | 39.55 | AMAN | AMAN |
| 12.56 | 33.58 | 39.24 | AMAN | AMAN |
| 8.63 | 51.44 | 38.59 | AMAN | AMAN |

Tabel 4.45 Screening Kriteria *Critical Buckling* Setelah Mitigasi

| Screening Kriteria Nilai <i>Critical Buckling</i> Setelah Mitigasi | | | | | |
|--|------------------|--------------------|-------------|-----------------|-------------------|
| Panjang Aktual Span | Seff/Pcr In-Line | Seff/Pcr Crossflow | Nilai Batas | Kondisi In-Line | Kondisi Crossflow |
| m | | | | | |
| 5.38 | -0.08 | -0.08 | -0.50 | AMAN | AMAN |
| 2.88 | -0.02 | -0.02 | -0.50 | AMAN | AMAN |
| 12.87 | -0.48 | -0.48 | -0.50 | AMAN | AMAN |
| 3.61 | -0.04 | -0.04 | -0.50 | AMAN | AMAN |
| 13.00 | -0.49 | -0.49 | -0.50 | AMAN | AMAN |
| 6.15 | -0.11 | -0.11 | -0.50 | AMAN | AMAN |
| 6.88 | -0.14 | -0.14 | -0.50 | AMAN | AMAN |
| 6.98 | -0.14 | -0.14 | -0.50 | AMAN | AMAN |
| 7.44 | -0.16 | -0.16 | -0.50 | AMAN | AMAN |
| 13.00 | -0.49 | -0.49 | -0.50 | AMAN | AMAN |
| 3.08 | -0.03 | -0.03 | -0.50 | AMAN | AMAN |
| 4.39 | -0.06 | -0.06 | -0.50 | AMAN | AMAN |
| 7.68 | -0.17 | -0.17 | -0.50 | AMAN | AMAN |
| 12.11 | -0.43 | -0.43 | -0.50 | AMAN | AMAN |
| 11.89 | -0.41 | -0.41 | -0.50 | AMAN | AMAN |
| 11.38 | -0.38 | -0.38 | -0.50 | AMAN | AMAN |
| 10.63 | -0.33 | -0.33 | -0.50 | AMAN | AMAN |
| 10.41 | -0.31 | -0.31 | -0.50 | AMAN | AMAN |
| 13.00 | -0.49 | -0.49 | -0.50 | AMAN | AMAN |

| Screening Kriteria Nilai <i>Critical Buckling</i> Setelah Mitigasi | | | | | |
|--|------------------|--------------------|-------------|-----------------|-------------------|
| Panjang Aktual Span | Seff/Pcr In-Line | Seff/Pcr Crossflow | Nilai Batas | Kondisi In-Line | Kondisi Crossflow |
| m | | | | | |
| 2.54 | -0.02 | -0.02 | -0.50 | AMAN | AMAN |
| 6.73 | -0.13 | -0.13 | -0.50 | AMAN | AMAN |
| 12.56 | -0.46 | -0.46 | -0.50 | AMAN | AMAN |
| 8.63 | -0.22 | -0.22 | -0.50 | AMAN | AMAN |

Tabel 4.46 Screening Kriteria Defleksi Setelah Mitigasi

| Screening Kriteria Defleksi Setelah Mitigasi | | | | | | |
|--|--------------------------------------|--|----------------------------|------------------------------|-----------------|-------------------|
| Panjang Aktual Span | Defleksi <i>In-Line</i> (δ) | Defleksi <i>Crossflow</i> (δ) | δ <i>In-Line</i> /D | δ <i>Crossflow</i> /D | Kondisi In-Line | Kondisi Crossflow |
| m | m | m | | | | |
| 5.38 | 8.7E-05 | 3.0E-04 | 1.9E-04 | 6.4E-04 | AMAN | AMAN |
| 2.88 | 6.7E-06 | 2.3E-05 | 1.4E-05 | 4.9E-05 | AMAN | AMAN |
| 12.87 | 5.2E-03 | 1.7E-02 | 1.1E-02 | 3.7E-02 | AMAN | AMAN |
| 3.61 | 1.7E-05 | 5.8E-05 | 3.6E-05 | 1.2E-04 | AMAN | AMAN |
| 13.00 | 5.4E-03 | 1.8E-02 | 1.1E-02 | 3.9E-02 | AMAN | AMAN |
| 6.15 | 1.5E-04 | 5.2E-04 | 3.3E-04 | 1.1E-03 | AMAN | AMAN |
| 6.88 | 2.5E-04 | 8.5E-04 | 5.3E-04 | 1.8E-03 | AMAN | AMAN |
| 6.98 | 2.6E-04 | 9.0E-04 | 5.6E-04 | 1.9E-03 | AMAN | AMAN |
| 7.44 | 3.6E-04 | 1.2E-03 | 7.6E-04 | 2.5E-03 | AMAN | AMAN |
| 13.00 | 5.4E-03 | 1.8E-02 | 1.1E-02 | 3.9E-02 | AMAN | AMAN |
| 3.08 | 8.9E-06 | 3.0E-05 | 1.9E-05 | 6.4E-05 | AMAN | AMAN |
| 4.39 | 3.8E-05 | 1.3E-04 | 8.0E-05 | 2.7E-04 | AMAN | AMAN |
| 7.68 | 4.0E-04 | 1.4E-03 | 8.6E-04 | 2.9E-03 | AMAN | AMAN |
| 12.11 | 3.6E-03 | 1.2E-02 | 7.6E-03 | 2.6E-02 | AMAN | AMAN |
| 11.89 | 3.2E-03 | 1.1E-02 | 6.9E-03 | 2.4E-02 | AMAN | AMAN |
| 11.38 | 2.6E-03 | 8.8E-03 | 5.6E-03 | 1.9E-02 | AMAN | AMAN |
| 10.63 | 1.9E-03 | 6.2E-03 | 4.0E-03 | 1.3E-02 | AMAN | AMAN |
| 10.41 | 1.6E-03 | 5.6E-03 | 3.5E-03 | 1.2E-02 | AMAN | AMAN |
| 13.00 | 5.7E-03 | 1.8E-02 | 1.2E-02 | 3.9E-02 | AMAN | AMAN |
| 2.54 | 4.3E-06 | 1.4E-05 | 9.1E-06 | 3.0E-05 | AMAN | AMAN |
| 6.73 | 2.3E-04 | 7.7E-04 | 4.8E-04 | 1.6E-03 | AMAN | AMAN |
| 12.56 | 4.4E-03 | 1.5E-02 | 9.5E-03 | 3.2E-02 | AMAN | AMAN |
| 8.63 | 7.1E-04 | 2.3E-03 | 1.5E-03 | 4.9E-03 | AMAN | AMAN |

Setelah dilakukan mitigasi semua titik span yang sebelumnya terjadi VIV sudah dikategorikan aman, sesuai dengan kriteria yang ditetapkan oleh DNV RP F105.

4.9 Analisis Statis Span

Menurut DNV OS F101 (2000), dalam kriteria ultimate limit state diperlukan 4 moda kegagalan yang harus dipenuhi oleh pipa sehingga pipa tersebut aman dari terjadinya buckling. Kriteria tersebut adalah kriteria tekanan bursting (Persamaan 2.60), kriteria tekanan collapse (Persamaan 2.64), kriteria beban kombinasi (Persamaan 2.65) dan kriteria tekanan perambatan buckling (Persamaan 2.73). Ketika keempat kriteria kegagalan tersebut telah dipenuhi oleh pipa, maka pipa tergolong aman dari terjadinya *buckling*.

Pada kriteria tekanan pengamanan ini, DNV OS F101 telah menetapkan syarat (lihat Persamaan 2.60) bahwa tekanan lokal incidental (tekanan maksimum internal pipeline pada kondisi operasi ekstrim) dikurangi dengan nilai minimum tekanan eksternal, harus lebih kecil dari tekanan burst dibagi dengan safety factornya. Hasil analisis kriteria tekanan brusting ditampilkan pada Tabel 4.46 berikut :

Tabel 4.47 Kriteria Tekanan *Brusting*

| Kriteria Tekanan <i>Brusting</i> | | | |
|---|-------------|---|---------|
| Syarat | | $P_{li} - P_e \leq P_b(t_1) / \gamma_m \cdot \gamma_{sc}$ | |
| Deskripsi | Nilai | Satuan | Kondisi |
| Pli - Pe | 13729163.46 | Pa | AMAN |
| Pb (t1) | 18011054.83 | Pa | |
| $P_b(t_1) / \gamma_m \cdot \gamma_{sc}$ | 13762554.31 | Pa | |

Pada analisis kriteria yang kedua, melakukan pengecekan ketahanan pipa terhadap tekanan eksternal, dimana DNV OS F101 mensyaratkan tekanan eksternal maksimum dikurangi dengan tekanan internal minimum yang bekerja pada pipeline, tidak boleh melebihi kapasitas tekanan maksimum eksternal yang dapat diterima oleh pipeline, dimana kapasitas tekanan maksimum pipeline ditandai

dengan nilai tekanan collapsenya (Persamaan 2.63). Hasil analisis kriteria tekanan collapse ditampilkan pada Tabel 4.47 berikut :

Tabel 4.48 Kriteria Tekanan *Collapse*

| Kriteria Tekanan <i>Collapse</i> | | | |
|--|-------------|---|---------|
| Syarat | | $Pe - P_{min} \leq P_c(t) / \gamma_m \cdot \gamma_{sc}$ | |
| Deskripsi | Nilai | Satuan | Kondisi |
| Pe - P _{min} | 4.46E+01 | bar | AMAN |
| P _c | 64.2893846 | bar | |
| P _{c(t)} / $\gamma_m \cdot \gamma_{sc}$ | 49.03843219 | bar | |

Analisis ini selanjutnya adalah analisis kriteria *combined load* yang meliputi beban dari momen bending, gaya axial efektif, tekanan internal maupun tekanan eksternal.). Sebelum melakukan perhitungan ada beberapa parameter yang harus dipenuhi. Parameter ditampilkan pada Tabel 4.48 berikut :

Tabel 4.49 Parameter Kriteria *Combined Load*

| Parameter | Notasi | Nilai | Satuan |
|-------------------------------------|-----------------|------------|----------|
| Faktor tahanan material | γ_m | 1.15 | - |
| Faktor keamanan <i>resistance</i> | γ_{sc} | 1.04 | - |
| Resultan bending moment | M _{Sd} | 2.14E+05 | Nm |
| Parameter aliran tegangan | α_c | 1.10 | - |
| Plastic moment resistance | M _p | 518415.40 | Nm |
| Tebal dinding pipa | t ₂ | 12.21 | m |
| Design efective axial force | S _{Sd} | 81000 | N |
| Tekanan internal | P _i | 0 | Pa |
| Plastic axial force resistance | S _p | 4742893.29 | N |
| Faktor tekanan pada beban kombinasi | α_p | 0.68298918 | - |
| Tekanan eksternal | P _e | 573149.25 | Pa |
| Tekanan bursting | P _b | 29568114.1 | Pa |
| Unity Check | UC | 0.20334968 | ≤ 1 |

Hasil analisis kriteria *combined load* ditampilkan pada Tabel 4.49 berikut :

Tabel 4.50 Kriteria *Combined Load*

| Kriteria <i>Combined Load</i> | | | |
|-------------------------------|---------|-------------|---------|
| Syarat | | $UC \leq 1$ | |
| Deskripsi | Nilai | Satuan | Kondisi |
| UC | 0.20335 | ≤ 1 | AMAN |

Analisis terakhir yaitu kriteria propagation buckling dimana pada kriteria menentukan apakah pipa aman dari terjadinya perambatan buckling. Hasil analisis kriteria *propagation buckling* ditampilkan pada Tabel 4.50 berikut :

Tabel 4.51 Kriteria Tekanan *Propagation Buckling*

| Kriteria Tekanan <i>Propagation Buckling</i> | | | |
|--|----------|---|---------|
| Syarat | | $Pe - Pmin \leq Ppr(t2) / \gamma_m.\gamma_{sc}$ | |
| Deskripsi | Nilai | Satuan | Kondisi |
| Pe - Pmin | 19.36790 | bar | AMAN |
| Ppr | 23.39776 | bar | |
| $Ppr(t2) / \gamma_m.\gamma_{sc}$ | 19.56334 | bar | |

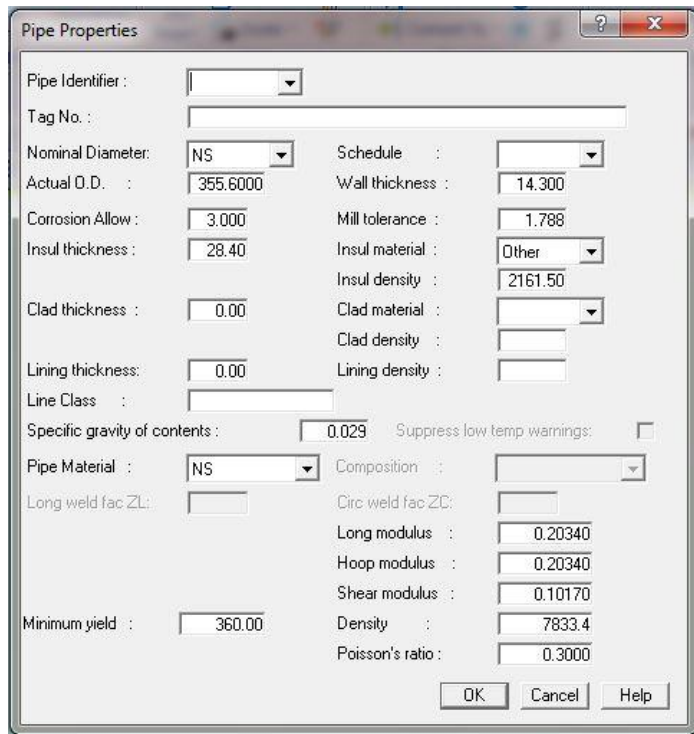
Dari keempat moda kegagalan yang disyaratkan oleh DNV OS F101, pipa tersebut dinyatakan aman dari terjadinya buckling dikarenakan telah memenuhi semua kriteria yang disyaratkan.

4.10 Analisis Tegangan Dengan AUTOPIPE

Pada analisis tegangan pada software AutoPIPE ini akan didapatkan output berupa tegangan hoop, tegangan longitudinal dan tegangan *von mises*. Hasil tersebut untuk mengecek apakah pipa yang dianalisis masih memenuhi tegangan yang diijinkan. Untuk pipa yang dimodelkan merupakan pipa setelah dimitigasi dimana panjang span terpanjangnya adalah 13m dengan gap terbesar 0.7m. berikut merupakan langkah-langkah pemodelan struktur pada software AutoPIPE.

1. Input Data Properti Pipa

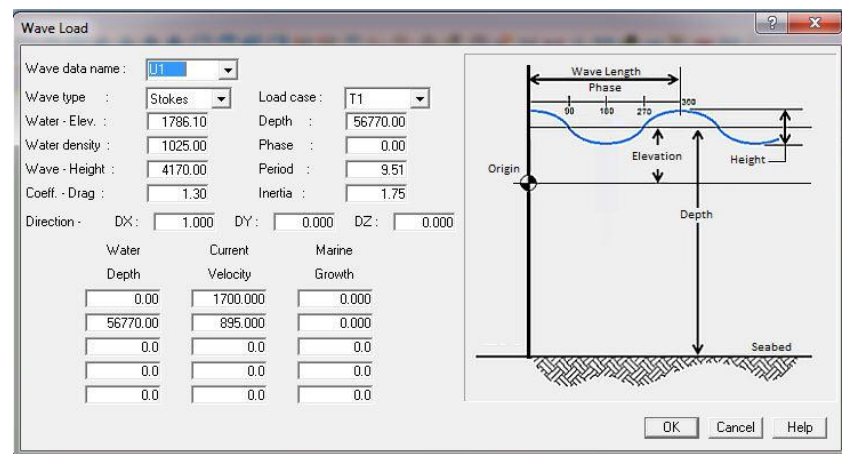
Gambar 4.1 dibawah ini menunjukkan data-data yang diperlukan untuk input properti pipa pada pemodelan di AutoPIPE :



Gambar 4.1 Input Data Properti Pipa

2. Input Pembebanan

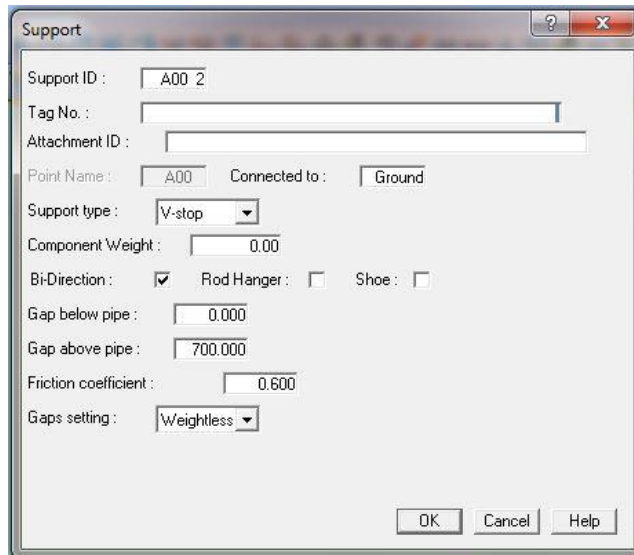
Pembebanan bertujuan untuk mendapatkan tegangan yang bekerja pada struktur yang dianalisis. Pembebanan meliputi buoyancy dan arus. Pembebanan arus dilakukan dengan 4 arah yang disetiap kedalamannya memiliki kecepatan arus yang berbeda. Pembebanan ini merupakan input dari data perhitungan manual yang sebelumnya telah dianalisis. Berikut ditampilkan input pembebanan pada Gambar 4.2:



Gambar 4.2 Input Data Pembebanan

3. Input Data Support

Karena Pipa yang dianalisis mempunyai bentangan maka diperlukan adanya support. Untuk input data support meliputi panjang gap dan koefisien friksi. Berikut ditampilkan input support pada Gambar 4.3 :



Gambar 4.3 Input Data Support

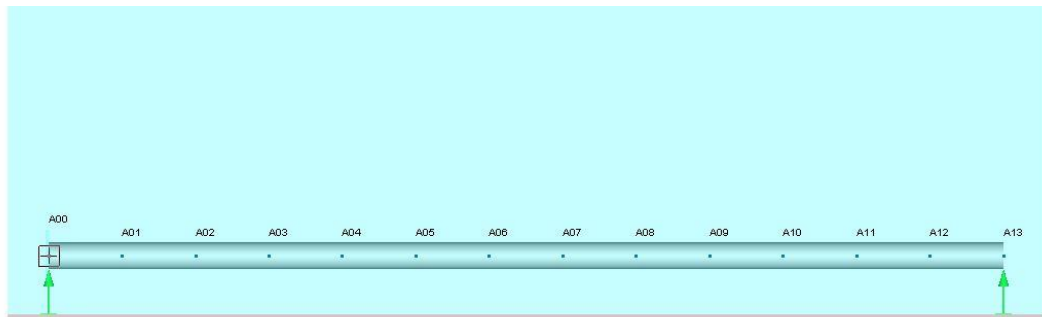
4. Hasil Analisis

Analisis yang dilakukan pada software AutoPIPE ini merupakan analisa statis yang outputnya berupa tegangan hoop, tegangan longitudinal dan tegangan von mises. Pada analisis ini didapatkan nilai masing masing tegangan dan nilai tegangan ijinnya, ditampilkan pada Tabel 4.51 berikut :

Tabel 4.52 Nilai Tegangan Hasil Pemodelan Software AutoPIPE

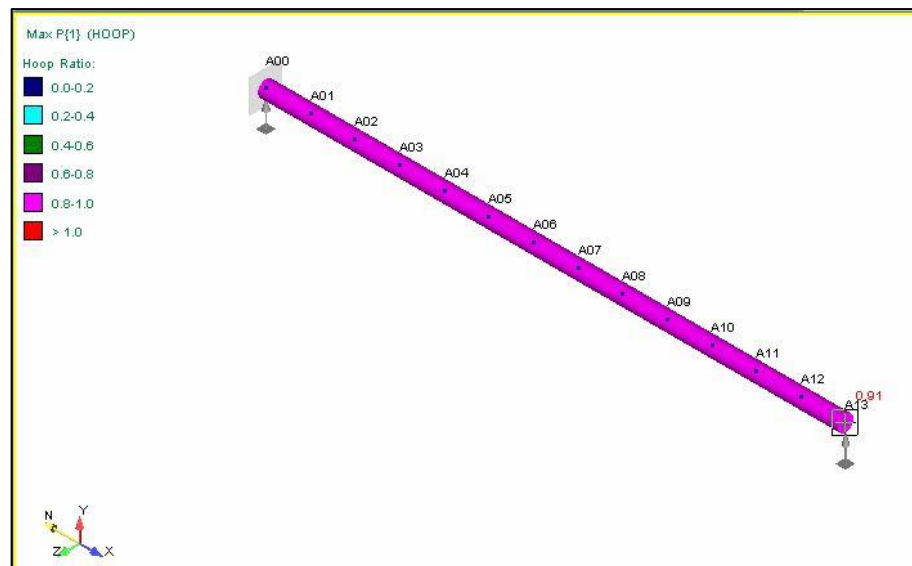
| Parameter | Notasi | Nilai | | Satuan |
|-----------------------|---------------|----------|-----------|-------------------|
| | | Tegangan | Allowable | |
| Tegangan Hoop | σ_h | 164.55 | 180.00 | N/mm ² |
| Tegangan Longitudinal | σ_L | 107.53 | 208.00 | N/mm ² |
| Tegangan Von Mises | σ_{eq} | 179.47 | 324.00 | N/mm ² |

Untuk hasil pemodelan menggunakan software AutoPIPE ditampilkan pada Gambar 4.4 sampai dengan Gambar 4.7 berikut:



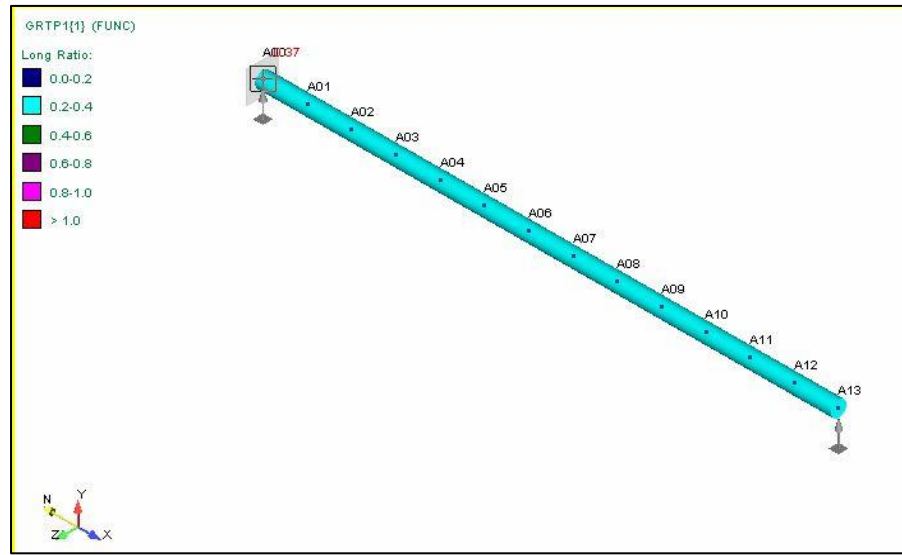
Gambar 4.4 Model Pipa Tampak Depan

Gambar di atas menunjukkan pipa dengan panjang span aktual 13 m yang disangga oleh support dengan jarak antara pipa dan seabed (gap) sebesar 0.7 m



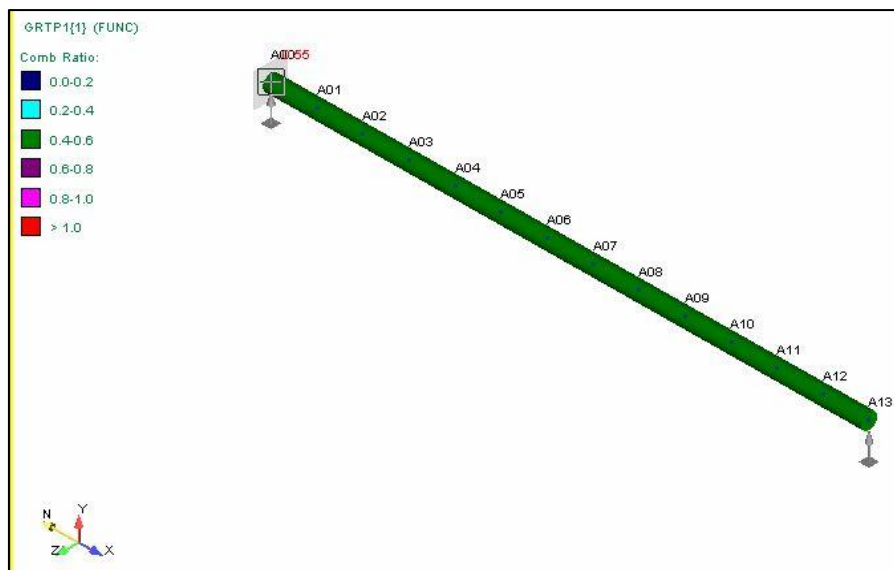
Gambar 4.5 Hasil Tegangan Hoop

Gambar di atas menunjukkan hasil dari running tegangan hoop dimana nilai dari tengah hoop mendekati nilai tegangan ijinnya. Ditunjukkan dengan warna ungu muda yang merupakan kategori rasio dari keduanya diantara 0.8 s/d 1.0.



Gambar 4.6 Hasil Tegangan Longitudinal

Gambar di atas menunjukkan hasil dari running tegangan longitudinal dimana nilai dari tegangan longitudinal berbeda jauh dengan nilai tegangan ijinnya ditunjukkan dengan warna biru muda yang merupakan kategori rasio dari keduanya diantara 0.2 s/d 0.4



Gambar 4.7 Hasil Tegangan Von Mises

Gambar di atas menunjukkan hasil dari running tegangan von mises dimana nilai dari tegangan von mises berbeda jauh dengan nilai tegangan ijinnya ditunjukkan dengan warna hijau yang merupakan kategori rasio dari keduanya diantara 0.4 s/d 0.6.

BAB V

KESIMPULAN DAN SARAN

5.1 Kesimpulan

Beberapa kesimpulan yang dapat diambil dari proses analisis yang telah dilakukan adalah sebagai berikut:

1. Pada analisis dinamis yang telah dilakukan menurut standar DNV RP F105, bentangan bebas pipa yang mengalami kegagalan karena melebihi batas ijin yang telah ditentukan sebanyak 3 bentangan, dengan masing masing panjang bentangan 19.15 m, 16.1 m, dan 15.5 m.
2. Pada analisis statis yang telah dilakukan sesuai dengan standar DNV OS F101, pipa telah memenuhi kriteria yang disyaratkan yaitu kriteria tekanan *bursting*, kriteria tekanan *collapse*, kriteria *combine load* dan kriteria *propagation buckling*. Maka dapat dinyatakan bahwa pipa aman dari terjadinya keruntuhan, ledakan, maupun penjalaran buckling.
3. Span yang tidak memenuhi kriteria analisis dinamis perlu adanya mitigasi berupa penambahan support, jarak support yang telah dihitung dan memenuhi kriteria dinamis setelah dilakukan screening adalah sebesar 13 m.

5.2 Saran

Dalam penggeraan tugas akhir ini, terdapat beberapa kekurangan di dalamnya, sehingga dapat menjadi penelitian lanjutan ke depannya. Adapun saran yang dapat diberikan sebagai masukan dalam penelitian lanjutan ke depannya antara lain:

1. Penempatan *support* yang optimal pada titik span yang kritis beserta optimalisasi biaya.
2. Analisis lingkungan dan beban tambahan yang mungkin dapat terjadi seperti gempa, *dropped object* dan kapal karam.

DAFTAR PUSTAKA

- Arif, U. 2012. *Studi Kasus Dry Gas Pipeline dari HESS (Indonesia-Pangkah) Ltd yang Menghubungkan Wellhead Platform-A di Perairan Madura Menuju Gresik Onshore Processing Facility (OPF)*. Tugas Akhir Departemen Teknik Kelautan, ITS Surabaya, Indonesia.
- American Society of Mechanical Engineers B31.8., 2012, *Gas Transmission and Distribution Piping Systems*. American Steel Mechanical Engineering, USA
- Bai, Yong dan Qiang Bai. 2005. *Subsea Pipeline Design, Analysis, and Installation*. Oxford, UK: Gulf Professional Publishing Elsevier.
- DNV OS F101. 2000. *Submarine Pipeline System*. Recommended Practice. Det Norske Veritas, Norway.
- DNV RP F105. 2006. *Free Spanning Pipeline*. Recommended Practice. Det Norske Veritas, Norway.
- DNV RP F109. 2010. *On-bottom Stability Design of Submarine Pipelines*. Det Norske Veritas, Norway.
- Guo, Boyun, S. Song, Chako. J, dan Ali Ghalambor. 2005. *Offshore Pipelines*. Elsevier, USA
- Mousselli, A.H. 1981. *Offshore Pipeline Design, Analysis, and Methods*. Penwell Books, Oklahoma, USA.
- Pratomo, U.H.B., 2015, *Analisa Stabilitas Pada Pipeline Akibat Dampak Dari Bentangan Bebas*. Tugas Akhir Jurusan Teknik Kelautan ITS, Surabaya, Indonesia
- Q. Bai, Y. Bai. 2014. *Subsea Pipeline Design, Analysis, and Installation*. Boston: Gulf Professional Publishing

- Soegiono. 2007. *Pipa Bawah Laut*. Airlangga University Press, Surabaya.
- Susetyo, H. 2016. *Analisis Local Buckling Pada Free Span Pipa Bawah Laut 20” Di Sangatta, Kalimantan Timur*. Tugas Akhir Departemen Teknik Kelautan, ITS Surabaya, Indonesia
- Syahroni, A. 2018. *Analisis Umur Kelelahan Akibat Vortex Induced Vibration Pada Pipa Bawah Laut Saat Kondisi Operasi Studi Kasus: Export Pipeline 14” Jalur Central Processing Platform – Onshore Receiving Facility, Pertamina Hulu Energi West Madura Offshore*. Tugas Akhir Departemen Teknik Kelautan, ITS Surabaya, Indonesia

LAMPIRAN A

PERHITUNGAN *ON-BOTTOM*

STABILITY

LAMPIRAN A

A.1 Perhitungan Koefisien *On-Bottom Stability*

1. Data Parameter *On-Bottom Stability*

Tabel A.1 Data On-Bottom Stability

| Parameter | Notasi | Nilai | Satuan |
|--|----------------|--------|------------------|
| Unit Weight (Drained) | γ'_s | 15600 | N/m ³ |
| Diameter Total Pipa | D | 0.469 | m |
| Vertical contact force antara pipa & tanah | F _c | 1545.2 | N/m |

2. Perhitungan Koefisien *On-Bottom Stability*

a. Single Oscillation Velocity (U*)

Tabel A.2 Parameter Single Oscillation Velocity

| Parameter | Notasi | Nilai |
|--|----------------|---------|
| Osilasi Gelombang | t | 1832.71 |
| Kec. Arus Signifikan pada Elevasi Pipa | U _s | 0.2776 |

$$k_U = \frac{U^*}{U_s} = \frac{1}{2} \cdot \left(\sqrt{2 \cdot \ln \tau} + \frac{0.5772}{\sqrt{2 \cdot \ln \tau}} \right)$$

$$U^* = 0.559$$

b. Single Oscillation Period (T*)

Tabel A.3 Parameter Single Oscillation Period

| Parameter | Notasi | Nilai |
|------------------------------|----------------|-------|
| Peakedness Parameter | γ | 1.00 |
| Periode Natural Gelombang | T _n | 2.406 |
| Mean Zero-Up Crossing Period | T _u | 5.893 |

$$k_T = \frac{T^*}{T_u} = \begin{cases} k_t - 5 \cdot (k_t - 1) \cdot T_n / T_u & \text{for } T_n / T_u \leq 0.2 \\ 1 & \text{for } T_n / T_u > 0.2 \end{cases}$$

$$T_u / T_n = 0.409$$

$$k_T = 1 ; T^* = 5.893$$

c. Steady Current Velocity with Design Oscillation (V*)

Tabel A.4 Parameter Steady Current Velocity with Design Oscillation

| Parameter | Notasi | Nilai |
|--------------------------------|------------------------|--------|
| Diameter pipa | D | 0.469 |
| Bottom Roughness | z_0 | 0.00 |
| Tinggi referensi diatas seabed | $z_r = d - (90\% * d)$ | 5.677 |
| Elevasi diatas seabed | $z = (d - D)$ | 56.301 |
| Arus permukaan referensi | $V(z_r)$ | 0.5 |

$$V(z) = V(z_r) \cdot \frac{\ln(z + z_0) - \ln z_0}{\ln(z_r + z_0) - \ln z_0} \cdot \sin \theta_c$$

$$V_{(Z)} = U_c = V^*$$

$$V^* = 0.587$$

d. Soil Passive Resistance (sand)

$$\frac{F_R}{F_C} = \begin{cases} \left(5.0 \cdot \kappa_s - 0.15 \cdot \kappa_s^2\right) \cdot \left(\frac{z_p}{D}\right)^{1.25} & \text{if } \kappa_s \leq 26.7 \\ \kappa_s \cdot \left(\frac{z_p}{D}\right)^{1.25} & \text{if } \kappa_s > 26.7 \end{cases}$$

$$\kappa_s = \frac{\gamma'_s \cdot D^2}{w_s - F_z} = \frac{\gamma'_s \cdot D^2}{F_C}, \quad F_C = w_s - F_z$$

$$K^* = U^* \cdot T^* / D$$

$$M^* = V^* / U^*$$

Tabel A.5 Perhitungan Soil Passive Resistance

| K _s | z _p /D | Passive Soil Resistance F _R | Keulegan Carpenter (K*) | M* |
|----------------|-------------------|---|-------------------------------|-------|
| 2.221 | 0.022 | 17147.449 | 7.019 | 1.050 |

e. Nilai Koefisien Beban Horizontal (C*y) dan Vertikal (C*z)

Dengan Tabel A.6 berikut bisa didapatkan interpolasi nilai C*y

Tabel A.6 Koefisien Beban Horizontal (DNV RP-F109, 2010)

| C_Y^* | | 2.5 | K^* | | | | | | | | | |
|---------|-----|------|-------|------|------|------|------|------|------|------|------|------------|
| | | | 5 | 10 | 20 | 30 | 40 | 50 | 60 | 70 | 100 | ≥ 140 |
| M^* | 0.0 | 13.0 | 6.80 | 4.55 | 3.33 | 2.72 | 2.40 | 2.15 | 1.95 | 1.80 | 1.52 | 1.30 |
| | 0.1 | 10.7 | 5.76 | 3.72 | 2.72 | 2.20 | 1.90 | 1.71 | 1.58 | 1.49 | 1.33 | 1.22 |
| | 0.2 | 9.02 | 5.00 | 3.15 | 2.30 | 1.85 | 1.58 | 1.42 | 1.33 | 1.27 | 1.18 | 1.14 |
| | 0.3 | 7.64 | 4.32 | 2.79 | 2.01 | 1.63 | 1.44 | 1.33 | 1.26 | 1.21 | 1.14 | 1.09 |
| | 0.4 | 6.63 | 3.80 | 2.51 | 1.78 | 1.46 | 1.32 | 1.25 | 1.19 | 1.16 | 1.10 | 1.05 |
| | 0.6 | 5.07 | 3.30 | 2.27 | 1.71 | 1.43 | 1.34 | 1.29 | 1.24 | 1.18 | 1.08 | 1.00 |
| | 0.8 | 4.01 | 2.70 | 2.01 | 1.57 | 1.44 | 1.37 | 1.31 | 1.24 | 1.17 | 1.05 | 1.00 |
| | 1.0 | 3.25 | 2.30 | 1.75 | 1.49 | 1.40 | 1.34 | 1.27 | 1.20 | 1.13 | 1.01 | 1.00 |
| | 2.0 | 1.52 | 1.50 | 1.45 | 1.39 | 1.34 | 1.20 | 1.08 | 1.03 | 1.00 | 1.00 | 1.00 |
| | 5.0 | 1.11 | 1.10 | 1.07 | 1.06 | 1.04 | 1.01 | 1.00 | 1.00 | 1.00 | 1.00 | 1.00 |
| | 10 | 1.00 | 1.00 | 1.00 | 1.00 | 1.00 | 1.00 | 1.00 | 1.00 | 1.00 | 1.00 | 1.00 |

Interpolasi C^*y

| C^*y | 5 | 7.019 | 10 |
|--------|-----|-------|------|
| 1 | 2.3 | 2.078 | 1.75 |
| 1.050 | | 2.048 | |
| 2 | 1.5 | 1.480 | 1.45 |

Dari hasil perhitungan interpolasi diatas didapatkan nilai koefisien beban horizontal C^*y sebesar 2.048

Dengan Tabel A.7 berikut bisa didapatkan interpolasi nilai C^*z

Tabel A.7 Koefisien Beban Vertikal (DNV RP-F109, 2010)

| C_Z^* | | ≤ 2.5 | K^* | | | | | | | | | |
|---------|-----|------------|-------|------|------|------|------|------|------|------|------|------------|
| | | | 5 | 10 | 20 | 30 | 40 | 50 | 60 | 70 | 100 | ≥ 140 |
| M^* | 0.0 | 5.00 | 5.00 | 4.85 | 3.21 | 2.55 | 2.26 | 2.01 | 1.81 | 1.63 | 1.26 | 1.05 |
| | 0.1 | 3.87 | 4.08 | 4.23 | 2.87 | 2.15 | 1.77 | 1.55 | 1.41 | 1.31 | 1.11 | 0.97 |
| | 0.2 | 3.16 | 3.45 | 3.74 | 2.60 | 1.86 | 1.45 | 1.26 | 1.16 | 1.09 | 1.00 | 0.90 |
| | 0.3 | 3.01 | 3.25 | 3.53 | 2.14 | 1.52 | 1.26 | 1.10 | 1.01 | 0.99 | 0.95 | 0.90 |
| | 0.4 | 2.87 | 3.08 | 3.35 | 1.82 | 1.29 | 1.11 | 0.98 | 0.90 | 0.90 | 0.90 | 0.90 |
| | 0.6 | 2.21 | 2.36 | 2.59 | 1.59 | 1.20 | 1.03 | 0.92 | 0.90 | 0.90 | 0.90 | 0.90 |
| | 0.8 | 1.53 | 1.61 | 1.80 | 1.18 | 1.05 | 0.97 | 0.92 | 0.90 | 0.90 | 0.90 | 0.90 |
| | 1.0 | 1.05 | 1.13 | 1.28 | 1.12 | 0.99 | 0.91 | 0.90 | 0.90 | 0.90 | 0.90 | 0.90 |
| | 2.0 | 0.96 | 1.03 | 1.05 | 1.00 | 0.90 | 0.90 | 0.90 | 0.90 | 0.90 | 0.90 | 0.90 |
| | 5.0 | 0.91 | 0.92 | 0.93 | 0.91 | 0.90 | 0.90 | 0.90 | 0.90 | 0.90 | 0.90 | 0.90 |
| | 10 | 0.90 | 0.90 | 0.90 | 0.90 | 0.90 | 0.90 | 0.90 | 0.90 | 0.90 | 0.90 | 0.90 |

Interpolasi C^*z

$$\begin{array}{lll}
r_{tot,y} = 0.9696 & C_y^* = 2.0480 \\
r_{tot,z} = 1.1018 & C_z^* = 1.1830 \\
\rho_w = 1025 & U^* = 0.5587 \\
D = 0.4690 & V^* = 0.5866
\end{array}$$

| C*z | 5 | 7.0195 | 10 |
|------------|------|--------|------|
| 1 | 1.13 | 1.191 | 1.28 |
| 1.050 | | 1.183 | |
| 2 | 1.03 | 1.038 | 1.05 |

Dari hasil perhitungan interpolasi diatas didapatkan nilai koefisien beban horizontal C*z sebesar 1.183

A.2 On-Bottom Stability Check

1. Cek Vertical Stability

Cek vertikal stabilitas dengan persamaan pada DNV RP-F109

$$\gamma_w \frac{b}{b + w_s} \leq 1$$

Safety Factor
Vertical Stability = 1.1
 (γ_w)

Buoyancy pipa per satuan panjang (b) = 1738.6

Dengan parameter di atas didapatkan perhitungan stabilitas vertikal pipa sebagai berikut :

| | | |
|---------------|----------|------------|
| 0.5824 | ≤ | 1.0 |
| STABIL | | |

2. Cek Absolute Lateral Stability

Sebelum masuk pada cek stabilitas lateral maka diperlukan Fy* (horizontal hydrodynamic load) dan Fz*(Vertical hydrodynamic load). Dengan mengacu pada persamaan DNV RP-F109 sebagai berikut:

$$F_y^* = r_{tot,y} \cdot \frac{1}{2} \rho_w \cdot D \cdot C_y^* (U^* + V^*)^2$$

$$F_z^* = r_{tot,z} \cdot \frac{1}{2} \rho_w \cdot D \cdot C_z^* (U^* + V^*)^2$$

Dari parameter di atas didapatkan nilai horizontal hydrodynamic load (Fy*) dan nilai Vertical hydrodynamic load (Fz*) sebagai berikut :

$$F^*y = 626.0296$$

$$F^*z = 410.9011$$

Cek stabilitas lateral dengan persamaan 3.38 pada DNV RP-F109

| | | | | | |
|---------------------------------|---|------|----------------------------|---|-----|
| Safety Factor (γ_{sc}) | = | 1.32 | Koefisien Friksi (μ) | = | 0.6 |
|---------------------------------|---|------|----------------------------|---|-----|

| | | | | | |
|-------------------------|---|----------|-------------------------------|---|------------|
| Passive Soil Resistance | = | 17147.45 | Berat Terendam Pipa (w_s) | = | 1545.2 N/m |
| (F_R) | | | | | |

$$\gamma_{sc} \cdot \frac{F_y^* + \mu \cdot F_z^*}{\mu \cdot w_s + F_R} \leq 1.0 \quad \gamma_{sc} \cdot \frac{F_z^*}{w_s} \leq 1.0$$

Dengan parameter dan persamaan di atas didapatkan perhitungan stabilitas absolut lateral pipa sebagai berikut :

| | | |
|---------------|----------|------------|
| 0.0637 | ≤ | 1.0 |
| STABIL | | |

| | | |
|---------------|----------|------------|
| 0.3510 | ≤ | 1.0 |
| STABIL | | |

3. Cek stabilitas Absolut Lateral dan Vertikal Pipa

Berikut Tabel A.8 merupakan hasil perhitungan pengecekan stabilitas pipa :

Tabel A.8 Hasil Perhitungan Cek Stabilitas

| Hasil Perhitungan Cek Stabilitas | | | |
|---|--------------|--------------|----------------|
| Stabilitas | Nilai | Batas | Kondisi |
| Absolut Lateral | 0.064 | ≤ 1.0 | STABIL |
| | 0.351 | | |
| Vertikal | 0.583 | | |

LAMPIRAN B

PERHITUNGAN *VORTEX INDUCED*

VIBRATION

LAMPIRAN B

B.1 Perhitungan Parameter VIV

3. Data Parameter VIV

Tabel B.1 Data Parameter VIV

| Data Parameter VIV | | | | |
|--------------------------------|-------------------|------------|-------------------|-------|
| Parameter | Notasi | Nilai | Satuan | |
| Viskositas Kinematis Air Laut | V _k | 0.00000102 | m ² /s | |
| Diameter Total Pipa | D _t | 0.469 | m | |
| Densitas Air Laut | ρ _w | 1025 | kg/m ³ | |
| <i>Soil Damping</i> | ζ _{soil} | 0.01 | - | |
| <i>Structural Damping</i> | ζ _{str} | 0.025 | - | |
| Kekasaran Permukaan Pipa | k | 0.003 | m | |
| Rasio k/D _t | k/D _t | 0.006 | - | |
| Frekuensi Gelombang Signifikan | ω _s | 1.140 | 0.695 | rad/s |
| Frekuensi Natural | f _n | 0.426 | - | |

4. Parameter Vortex Induced Vibrations

a. Reynolds Number

$$R_e = \left(\frac{U_{tot} \cdot D_t}{\nu} \right)$$

Tabel B.2 Hasil Perhitungan Parameter Reynolds Number

| Hasil Perhitungan Reynolds Number | | | | | | | |
|-----------------------------------|---------|----------------|-----------|----------------|-----------|----------------|-----------|
| Panjang Aktual Span | Gap (e) | U _c | | U _w | | R _e | |
| | | 10 tahun | 100 tahun | 10 tahun | 100 tahun | 10 tahun | 100 tahun |
| m | m | m/s | m/s | m/s | m/s | - | - |
| 5.38 | 0.3 | 0.473 | 0.851 | 0.002 | 0.363 | 2.18E+05 | 5.58E+05 |
| 2.88 | 0.3 | 0.473 | 0.851 | 0.002 | 0.363 | 2.18E+05 | 5.58E+05 |
| 12.87 | 0.5 | 0.487 | 0.876 | 0.002 | 0.363 | 2.25E+05 | 5.69E+05 |
| 3.61 | 0.3 | 0.473 | 0.851 | 0.002 | 0.363 | 2.18E+05 | 5.58E+05 |
| 19.15 | 0.3 | 0.473 | 0.851 | 0.002 | 0.363 | 2.18E+05 | 5.58E+05 |
| 6.88 | 0.3 | 0.473 | 0.851 | 0.002 | 0.363 | 2.18E+05 | 5.58E+05 |
| 6.98 | 0.3 | 0.473 | 0.851 | 0.002 | 0.363 | 2.18E+05 | 5.58E+05 |
| 7.44 | 0.5 | 0.487 | 0.876 | 0.002 | 0.363 | 2.25E+05 | 5.69E+05 |
| 16.08 | 0.3 | 0.473 | 0.851 | 0.002 | 0.363 | 2.18E+05 | 5.58E+05 |
| 4.39 | 0.3 | 0.473 | 0.851 | 0.002 | 0.363 | 2.18E+05 | 5.58E+05 |
| 7.68 | 0.3 | 0.473 | 0.851 | 0.002 | 0.363 | 2.18E+05 | 5.58E+05 |
| 12.11 | 0.3 | 0.473 | 0.851 | 0.007 | 0.363 | 2.20E+05 | 5.58E+05 |
| 11.89 | 0.3 | 0.473 | 0.851 | 0.002 | 0.363 | 2.18E+05 | 5.58E+05 |
| 11.38 | 0.5 | 0.487 | 0.876 | 0.002 | 0.363 | 2.25E+05 | 5.69E+05 |
| 10.63 | 0.5 | 0.487 | 0.876 | 0.002 | 0.363 | 2.25E+05 | 5.69E+05 |

| Hasil Perhitungan Reynolds Number | | | | | | | |
|-----------------------------------|-----------|----------------|-----------|----------------|-----------|----------------|-----------|
| Panjang Aktual Span | Gap (e) | U _c | | U _w | | R _e | |
| | | 10 tahun | 100 tahun | 10 tahun | 100 tahun | 10 tahun | 100 tahun |
| m | m | m/s | m/s | m/s | m/s | - | - |
| 10.41 | 0.3 | 0.473 | 0.851 | 0.002 | 0.363 | 2.18E+05 | 5.58E+05 |
| 15.54 | 0.7 | 0.497 | 0.895 | 0.002 | 0.363 | 2.30E+05 | 5.78E+05 |
| 6.73 | 0.3 | 0.473 | 0.851 | 0.002 | 0.363 | 2.18E+05 | 5.58E+05 |
| 12.65 | 0.2 | 0.464 | 0.835 | 0.002 | 0.363 | 2.14E+05 | 5.51E+05 |
| 8.63 | 0.1 | 0.452 | 0.814 | 0.002 | 0.363 | 2.09E+05 | 5.41E+05 |

b. Stability Parameter

$$K_s = \frac{4 \cdot \pi \cdot m_e \cdot \zeta_T}{\rho_w \cdot D t^2}$$

Tabel B.3 Hasil Perhitungan Parameter Stability Parameter

| Hasil Perhitungan Stability Parameter | | | | |
|---------------------------------------|-----------|----------------------------------|----------------|-----------------|
| Panjang Aktual Span | Gap (e) | Massa Efektif (m _e) | K _s | K _{sd} |
| m | m | kg.m | - | - |
| 5.38 | 0.3 | 522.80 | 1.020 | 0.785 |
| 2.88 | 0.3 | 522.80 | 1.020 | 0.785 |
| 12.87 | 0.5 | 511.97 | 0.999 | 0.768 |
| 3.61 | 0.3 | 522.80 | 1.020 | 0.785 |
| 19.15 | 0.3 | 522.80 | 1.020 | 0.785 |
| 6.88 | 0.3 | 522.80 | 1.020 | 0.785 |
| 6.98 | 0.3 | 522.80 | 1.020 | 0.785 |
| 7.44 | 0.5 | 511.97 | 0.999 | 0.768 |
| 16.08 | 0.3 | 522.80 | 1.020 | 0.785 |
| 4.39 | 0.3 | 522.80 | 1.020 | 0.785 |
| 7.68 | 0.3 | 522.80 | 1.020 | 0.785 |
| 12.11 | 0.3 | 522.80 | 1.020 | 0.785 |
| 11.89 | 0.3 | 522.80 | 1.020 | 0.785 |
| 11.38 | 0.5 | 511.97 | 0.999 | 0.768 |
| 10.63 | 0.5 | 511.97 | 0.999 | 0.768 |
| 10.41 | 0.3 | 522.80 | 1.020 | 0.785 |
| 15.54 | 0.7 | 511.97 | 0.999 | 0.768 |
| 6.73 | 0.3 | 522.80 | 1.020 | 0.785 |
| 12.65 | 0.2 | 545.79 | 1.065 | 0.819 |
| 8.63 | 0.1 | 592.50 | 1.156 | 0.889 |

c. Reduced Velocity

$$V_R = \frac{U_c + U_w}{f_n \cdot D t}$$

Tabel B.4 Hasil Perhitungan Parameter *Reduced Velocity*

| Hasil Perhitungan <i>Reduced Velocity</i> | | | | | |
|---|----------------|--------------|----------------|--------------|-------|
| Panjang Aktual Span | U _c | | U _w | | Vrd |
| | 10 tahun | 100 tahun | 10 tahun | 100 tahun | |
| | m | m/s | m/s | m/s | |
| 5.38 | 0.473 | 0.851 | 0.002 | 0.363 | 6.067 |
| 2.88 | 0.473 | 0.851 | 0.002 | 0.363 | 6.067 |
| 12.87 | 0.487 | 0.876 | 0.002 | 0.363 | 6.192 |
| 3.61 | 0.473 | 0.851 | 0.002 | 0.363 | 6.067 |
| 19.15 | 0.473 | 0.851 | 0.002 | 0.363 | 6.067 |
| 6.88 | 0.473 | 0.851 | 0.002 | 0.363 | 6.067 |
| 6.98 | 0.473 | 0.851 | 0.002 | 0.363 | 6.067 |
| 7.44 | 0.487 | 0.876 | 0.002 | 0.363 | 6.192 |
| 16.08 | 0.473 | 0.851 | 0.002 | 0.363 | 6.067 |
| 4.39 | 0.473 | 0.851 | 0.002 | 0.363 | 6.068 |
| 7.68 | 0.473 | 0.851 | 0.002 | 0.363 | 6.067 |
| 12.11 | 0.473 | 0.851 | 0.007 | 0.363 | 6.067 |
| 11.89 | 0.473 | 0.851 | 0.002 | 0.363 | 6.067 |
| 11.38 | 0.487 | 0.876 | 0.002 | 0.363 | 6.192 |
| 10.63 | 0.487 | 0.876 | 0.002 | 0.363 | 6.192 |
| 10.41 | 0.473 | 0.851 | 0.002 | 0.363 | 6.067 |
| 15.54 | 0.497 | 0.895 | 0.002 | 0.363 | 6.286 |
| 6.73 | 0.473 | 0.851 | 0.002 | 0.363 | 6.067 |
| 12.65 | 0.464 | 0.835 | 0.002 | 0.363 | 5.986 |
| 8.63 | 0.452 | 0.814 | 0.002 | 0.363 | 5.884 |

d. Frekuensi *Vortex Shedding*

$$f_s = S_t \left(\frac{U_{tot}}{Dt} \right)$$

Tabel B.5 Hasil Perhitungan Parameter Frekuensi *Vortex Shedding*

| Panjang Aktual Span | U _c | | U _w | | fs |
|---------------------------|----------------|--------------|----------------|--------------|---------|
| | 10 tahun | 100 tahun | 10 tahun | 100 tahun | |
| | m | m/s | m/s | m/s | |
| 5.38 | 0.473 | 0.851 | 0.002 | 0.363 | 0.51751 |
| 2.88 | 0.473 | 0.851 | 0.002 | 0.363 | 0.51751 |
| 12.87 | 0.487 | 0.876 | 0.002 | 0.363 | 0.52816 |
| 3.61 | 0.473 | 0.851 | 0.002 | 0.363 | 0.51751 |
| 19.15 | 0.473 | 0.851 | 0.002 | 0.363 | 0.51751 |
| 6.88 | 0.473 | 0.851 | 0.002 | 0.363 | 0.51751 |
| 6.98 | 0.473 | 0.851 | 0.002 | 0.363 | 0.51751 |
| 7.44 | 0.487 | 0.876 | 0.002 | 0.363 | 0.52816 |
| 16.08 | 0.473 | 0.851 | 0.002 | 0.363 | 0.51751 |
| 4.39 | 0.473 | 0.851 | 0.002 | 0.363 | 0.51757 |
| 7.68 | 0.473 | 0.851 | 0.002 | 0.363 | 0.51751 |

| Panjang Aktual Span | U _c | | U _w | | fs |
|---------------------------|----------------|--------------|----------------|--------------|---------|
| | 10 tahun | 100 tahun | 10 tahun | 100 tahun | |
| m | m/s | m/s | m/s | m/s | hz |
| 12.11 | 0.473 | 0.851 | 0.007 | 0.363 | 0.51751 |
| 11.89 | 0.473 | 0.851 | 0.002 | 0.363 | 0.51751 |
| 11.38 | 0.487 | 0.876 | 0.002 | 0.363 | 0.52816 |
| 10.63 | 0.487 | 0.876 | 0.002 | 0.363 | 0.52816 |
| 10.41 | 0.473 | 0.851 | 0.002 | 0.363 | 0.51751 |
| 15.54 | 0.497 | 0.895 | 0.002 | 0.363 | 0.53619 |
| 6.73 | 0.473 | 0.851 | 0.002 | 0.363 | 0.51751 |
| 12.65 | 0.464 | 0.835 | 0.002 | 0.363 | 0.51061 |
| 8.63 | 0.452 | 0.814 | 0.002 | 0.363 | 0.50189 |

e. Keulegan Carpenter Number

$$KC = \frac{U_w}{f_w \cdot D_t}$$

Tabel B.6 Hasil Perhitungan Parameter Keulegan Carpenter Number

| Panjang Aktual Span | Hasil Perhitungan Keulegan-Carpenter | | | | | |
|---------------------------|--------------------------------------|--------------|----------------|--------------|-------------|--------------|
| | ω_s | | U _w | | KC | |
| | 10 tahun | 100 tahun | 10 tahun | 100 tahun | 10 tahun | 100 tahun |
| m | | | m/s | m/s | | |
| 5.38 | 1.140 | 0.695 | 0.002 | 0.363 | 0.004 | 1.111 |
| 2.88 | 1.140 | 0.695 | 0.002 | 0.363 | 0.004 | 1.111 |
| 12.87 | 1.140 | 0.695 | 0.002 | 0.363 | 0.005 | 1.112 |
| 3.61 | 1.140 | 0.695 | 0.002 | 0.363 | 0.004 | 1.111 |
| 19.15 | 1.140 | 0.695 | 0.002 | 0.363 | 0.004 | 1.111 |
| 6.88 | 1.140 | 0.695 | 0.002 | 0.363 | 0.004 | 1.111 |
| 6.98 | 1.140 | 0.695 | 0.002 | 0.363 | 0.004 | 1.111 |
| 7.44 | 1.140 | 0.695 | 0.002 | 0.363 | 0.005 | 1.112 |
| 16.08 | 1.140 | 0.695 | 0.002 | 0.363 | 0.004 | 1.111 |
| 4.39 | 1.140 | 0.695 | 0.002 | 0.363 | 0.005 | 1.112 |
| 7.68 | 1.140 | 0.695 | 0.002 | 0.363 | 0.004 | 1.111 |
| 12.11 | 1.140 | 0.695 | 0.007 | 0.363 | 0.012 | 1.111 |
| 11.89 | 1.140 | 0.695 | 0.002 | 0.363 | 0.004 | 1.111 |
| 11.38 | 1.140 | 0.695 | 0.002 | 0.363 | 0.005 | 1.112 |
| 10.63 | 1.140 | 0.695 | 0.002 | 0.363 | 0.005 | 1.112 |
| 10.41 | 1.140 | 0.695 | 0.002 | 0.363 | 0.004 | 1.111 |
| 15.54 | 1.140 | 0.695 | 0.002 | 0.363 | 0.005 | 1.112 |
| 6.73 | 1.140 | 0.695 | 0.002 | 0.363 | 0.004 | 1.111 |
| 12.65 | 1.140 | 0.695 | 0.002 | 0.363 | 0.004 | 1.111 |
| 8.63 | 1.140 | 0.695 | 0.002 | 0.363 | 0.004 | 1.111 |

f. Current flow ratio

$$\alpha = \frac{U_{c100\ tahun}}{U_{c100tahun} \cdot U_{w1tahun}}$$

Tabel B.7 Hasil Perhitungan Parameter *current flow ratio*

| Panjang Aktual Span | Gap (e) | U _c | | U _w | | α |
|---------------------------|--------------|----------------|--------------|----------------|--------------|----------|
| | | 10 tahun | 100 tahun | 10 tahun | 100 tahun | |
| m | m | m/s | m/s | m/s | m/s | |
| 5.38 | 0.3 | 0.473 | 0.851 | 0.002 | 0.363 | 0.9972 |
| 2.88 | 0.3 | 0.473 | 0.851 | 0.002 | 0.363 | 0.9972 |
| 12.87 | 0.5 | 0.487 | 0.876 | 0.002 | 0.363 | 0.9973 |
| 3.61 | 0.3 | 0.473 | 0.851 | 0.002 | 0.363 | 0.9972 |
| 19.15 | 0.3 | 0.473 | 0.851 | 0.002 | 0.363 | 0.9972 |
| 6.88 | 0.3 | 0.473 | 0.851 | 0.002 | 0.363 | 0.9972 |
| 6.98 | 0.3 | 0.473 | 0.851 | 0.002 | 0.363 | 0.9972 |
| 7.44 | 0.5 | 0.487 | 0.876 | 0.002 | 0.363 | 0.9973 |
| 16.08 | 0.3 | 0.473 | 0.851 | 0.002 | 0.363 | 0.9972 |
| 4.39 | 0.3 | 0.473 | 0.851 | 0.002 | 0.363 | 0.9972 |
| 7.68 | 0.3 | 0.473 | 0.851 | 0.002 | 0.363 | 0.9972 |
| 12.11 | 0.3 | 0.473 | 0.851 | 0.007 | 0.363 | 0.9922 |
| 11.89 | 0.3 | 0.473 | 0.851 | 0.002 | 0.363 | 0.9972 |
| 11.38 | 0.5 | 0.487 | 0.876 | 0.002 | 0.363 | 0.9973 |
| 10.63 | 0.5 | 0.487 | 0.876 | 0.002 | 0.363 | 0.9973 |
| 10.41 | 0.3 | 0.473 | 0.851 | 0.002 | 0.363 | 0.9972 |
| 15.54 | 0.7 | 0.497 | 0.895 | 0.002 | 0.363 | 0.9973 |
| 6.73 | 0.3 | 0.473 | 0.851 | 0.002 | 0.363 | 0.9972 |
| 12.65 | 0.2 | 0.464 | 0.835 | 0.002 | 0.363 | 0.9971 |
| 8.63 | 0.1 | 0.452 | 0.814 | 0.002 | 0.363 | 0.9971 |

LAMPIRAN C

PERHITUNGAN *DYNAMIC SOIL STIFFNESS* DAN *CONCRETE STIFFNESS FACTOR*

LAMPIRAN C

C.1 Dynamic Soil Stiffness

5. Data Awal Parameter Gaya Drag

Tabel C.1 Parameter Dynamic Soil Stiffness

| Parameter Dynamic Soil Stiffness | | | |
|--|--------------|--------|----------------------------|
| Parameter | Notasi | Nilai | Satuan |
| Koefisien <i>dynamic soil stiffness</i> vertikal | C_v | 16000 | $\text{kN}/\text{m}^{5/2}$ |
| Koefisien <i>dynamic soil stiffness</i> horizontal | C_L | 12000 | $\text{kN}/\text{m}^{5/2}$ |
| <i>Poisson ratio</i> tanah vertikal (corroded) | $v_{soil,V}$ | 0.35 | - |
| <i>Poisson ratio</i> tanah horizontal (corroded) | $v_{soil,L}$ | 0.35 | - |
| Massa pipa di udara | - | 334.74 | kg/m |
| Massa air yang dipindahkan | mdisp | 177.23 | kg/m |
| Diameter total pipa | D_t | 0.469 | m |

6. Perhitungan Dynamic Soil stiffness

g. Rasio Massa Spesifik

$$\frac{\rho_s}{\rho} = \left(\frac{334.74}{177.23} \right) = 1,889$$

h. Koefisien *Dynamic Soil Stiffness*

| Table 7-7 Dynamic stiffness factor and static stiffness for pipe-soil interaction in sand. | | | |
|---|---|---|--|
| Sand type | C_v ($\text{kN}/\text{m}^{5/2}$) | C_L ($\text{kN}/\text{m}^{5/2}$) | $K_{v,s}$ ($\text{kN}/\text{m}/\text{m}$) |
| Loose | 16000 | 12000 | 250 |
| Medium | 22000 | 16500 | 530 |
| Dense | 32000 | 24000 | 1350 |

i. *Poisson ratio* Tanah

| Table 7-1 Typical geotechnical parameters for sand | | | | |
|---|-----------------|--|------|-------------|
| <i>Soil type</i> | ϕ_s | γ_{soil}' [kN/m^3] | v | e_s |
| Loose | $28 - 30^\circ$ | $8.5 - 11.0$ | 0.35 | $0.7 - 0.9$ |
| Medium | $30 - 36^\circ$ | $9.0 - 12.5$ | 0.35 | $0.5 - 0.8$ |
| Dense | $36 - 41^\circ$ | $10.0 - 13.5$ | 0.35 | $0.4 - 0.6$ |

j. *Dynamic Soil stiffness Vertikal*

$$K_v = \frac{C_v}{1-\nu_{soil}} \left(\frac{2}{3} \frac{\rho_s}{\rho} + \frac{1}{3} \right) \sqrt{Dt} = 17621.27 \text{ kN/m}^2$$

k. *Dynamic Soil stiffness*

$$K_L = C_L (1 + \nu_{soil}) \left(\frac{2}{3} \frac{\rho_s}{\rho} + \frac{1}{3} \right) \sqrt{Dt} = 13523.71 \text{ kN/m}^2$$

C.2 Concrete Stiffness Factor

Tabel C.2 Parameter perhitungan *Concrete Stiffness Factor*

| Parameter Concrete Stiffness Factor | | | |
|--|---------------|-----------------------|---------------|
| Parameter | Notasi | Nilai | Satuan |
| Konstanta Empiris (Asphalt) | K_c | 0.331 | - |
| Momen Inersia Pipa Baja | I_{st} | 2.24e-04 | m^4 |
| Momen Inersia Selimut Beton | I_{conc} | 1.48e-03 | m^4 |
| <i>Young's Modulus</i> Pipa Baja | E_{st} | $2,07 \times 10^{11}$ | Pa |
| Kekuatan Material Selimut Beton | F_{cn} | 45.00 | MPa |

a. *Young Modulus Selimut Beton*

$$E_{conc} = 1000 \times (f_{cn})^{0.3} = 31330.24 \text{ MPa}$$

b. *Concrete Stiffness factor*

$$CSF = k_c \left(\frac{EI_{conc}}{EI_{stell}} \right)^{0.75} = 0.331$$

LAMPIRAN D

**PERHITUNGAN *BURSTING PRESSURE*,
COLLAPSE PRESSURE, *COMBINED LOAD*
DAN *PROPAGATION BUCKLING***

LAMPIRAN D

D.1 Data Parameter Perhitungan

Tabel D.1 Data Parameter Perhitungan

| Pipe Data | | | | | |
|--|---------------|--------------|-------------------|--------------|---------------|
| Parameter | Notasi | Nilai | Satuan | Nilai | Satuan |
| Outer Diameter | Do | 355.6 | mm | 0.3556 | m |
| Nominal thickness | tnom | 14.3 | mm | 0.0143 | m |
| Fabrication tolerance | tfab | 1 | | | |
| Corrosion allowance | tcorr | 3 | | | |
| Ovality (DNV definition) | fo | 0.50% | | | |
| Material Data | | | | | |
| Material Grade | X65 | | | | |
| Young's Modulus | E | 207000 | MPa | 2.07E+11 | Pa |
| Poisson Ratio | v | 0.3 | | | |
| Specified Minimum Yield Stress | SMYS | 360 | MPa | 3.60E+08 | Pa |
| Specified Minimum Tensile Stress | SMTS | 460 | MPa | 4.60E+08 | Pa |
| SMYS at relevant temperature | SMYS(T) | | MPa | (at 100C) | |
| SMTS at relevant temperature | SMTS(T) | | MPa | (at 100C) | |
| Reduction in SMYS due to manufacturing process | | 15% | | | |
| Supplementary requirement U fulfilled | | YES | | | |
| Pressure Data-Oil | | | | | |
| Design Pressure | Pd | 130 | barg @30m | | |
| | @ | 30 | m | | |
| Design depth | EL_d | 56.7 | m | | |
| | | 86.7 | m | | |
| | Yinc | 1.1 | | | |
| Variation of mean sea level/Tide | wmin/wmax | 1.5 | m | | |
| Density – gas | ρoil | 29.3 | kg/m ³ | | |
| Standard Acceleration | g | 9.81 | m/s ² | | |
| Density of sea-water | ρseawater | 1025 | kg/m ³ | | |
| Operating Temperature | | 100 | °C | | |

D.2 Brusting Pressure Criteria

1. Local Incidental Pressure (P_{li}/P_{inc})

$$P_{inc} = P_d \times \gamma_{inc}$$

$$P_{inc} = 143 \text{ bar} = 14300000 \text{ Pa}$$

2. External Pressure

$$P_e = 5.71 \text{ bar} = 571000 \text{ Pa}$$

3. Brusting Pressure

$$t_1 = 8.21 \text{ mm} = 0.00821 \text{ m}$$

$$t_{nom} = 12.21 \text{ mm} = 0.01221 \text{ m}$$

$$p_b(t) = \frac{2 \cdot t}{D-t} \cdot f_{cb} \cdot \frac{2}{\sqrt{3}}$$

where

$$f_{cb} = \text{Min} \left[f_y; \frac{f_u}{1.15} \right]$$

$$f_{cb} = 330000000$$

$$P_b(t_1) = 180.111 \text{ bar} = 18011105 \text{ Pa}$$

4. Rekap Hasil Perhitungan

Tabel D.2 Perhitungan Criteria Brusting

| Kriteria Tekanan Brusting | | | |
|---|-------------|---|---------|
| Syarat | | $P_{li} - P_e \leq P_b(t_1) / \gamma_m \cdot \gamma_{sc}$ | |
| Deskripsi | Nilai | Satuan | Kondisi |
| Pli - Pe | 13729163.46 | Pa | AMAN |
| Pb (t1) | 18011054.83 | Pa | |
| $P_b(t_1) / \gamma_m \cdot \gamma_{sc}$ | 13762554.31 | Pa | |

D.3 Collapse Pressure Criteria

1 Collapse Pressure (P_c)

$$\gamma_{sc} = 1.14 \text{ (normal)}$$

$$\alpha_{fab} = 0.85$$

$$f_0 = 0.01$$

$$t_2 = 9.21 \text{ mm} = 0.00921 \text{ m}$$

$$f_y = 360 \text{ MPa}$$

$$f_u = 460 \text{ MPa}$$

a. Pel

$$p_{el}(t) = \frac{2 \cdot E \cdot \left(\frac{t}{D}\right)^3}{1 - \nu^2}$$

$$P_{el}(t) = 7904102.845 \text{ Pa}$$

b. Pp

$$p_p(t) = f_y \cdot \alpha_{fab} \cdot \frac{2 \cdot t}{D}$$

$$P_p(t) = 15850731.16 \text{ Pa}$$

c. Collapse Pressure (Pc)

$$(p_c(t) - p_{el}(t)) \cdot (p_c(t)^2 - p_p(t)^2) = p_c(t) \cdot p_{el}(t) \cdot p_p(t) \cdot f_0 \cdot \frac{D}{t}$$

$$P_c = 6428938.46 \text{ Pa}$$

2 External Pressure (Pe)

$$P_e = 44.5803929 \text{ bar}$$

3 Rekap Hasil Perhitungan

Tabel D.3 Perhitungan Criteria Collapse

| Kriteria Tekanan <i>Collapse</i> | | | |
|----------------------------------|-------------|-----------------------------|---------|
| Syarat | | Pe - Pmin ≤ Pc (t) / γm.γsc | |
| Deskripsi | Nilai | Satuan | Kondisi |
| Pe - Pmin | 4.46E+01 | bar | AMAN |
| Pc | 64.2893846 | bar | |
| Pc(t) / γm.γsc | 49.03843219 | bar | |

D.4 Combined Load Criteria

1 Parameter

Tabel D.4 Parameter Combined Load

| Parameter | Notasi | Nilai | Satuan |
|-------------------------------------|---------------|------------|----------|
| Faktor tahanan material | γ_m | 1.15 | - |
| Faktor keamanan <i>resistance</i> | γ_{SC} | 1.04 | - |
| Resultan bending moment | M_{Sd} | 2.14E+05 | Nm |
| Parameter aliran tegangan | α_c | 1.10 | - |
| Plastic moment resistance | M_p | 518415.40 | Nm |
| Tebal dinding pipa | t_2 | 12.21 | m |
| Design efective axial force | S_{Sd} | 81000 | N |
| Tekanan internal | P_i | 0 | Pa |
| Plastic axial force resistance | S_p | 4742893.29 | N |
| Faktor tekanan pada beban kombinasi | α_p | 0.68298918 | - |
| Tekanan eksternal | P_e | 573149.25 | Pa |
| Tekanan bursting | P_b | 29568114.1 | Pa |
| Unity Check | UC | 0.20334968 | ≤ 1 |

Anisotropy factor

$$\alpha_a = 0.95$$

Supplementary requirement U fullfilled

$$\alpha_u = 1$$

$$\alpha_{fab} = 0.85$$

Bending moment beban fungsional

$$MF = 100 \quad \text{kNm}$$

$$SF = 50 \quad \text{KN}$$

$$ME = 80 \quad \text{KNm}$$

$$SE = 20 \quad \text{KN}$$

$$t_2 = t = 12.21 \quad \text{mm}$$

$$f_o = 0.01$$

$$M_d = 214 \quad \text{kNm}$$

$$S_d = 81 \quad \text{KN}$$

$$W_d = -57 \quad \text{m}$$

$$P_e = 573149.25 \quad \text{Pa}$$

| | | | |
|-------|---|------------|-----|
| f_y | = | 360 | Mpa |
| f_u | = | 437 | Mpa |
| M_p | = | 518.415397 | kNm |
| S_p | = | 4742.89329 | KN |
| P_b | = | 29.5681141 | MPa |

4 Rekap Hasil Perhitungan

Tabel D.5 Perhitungan *Combined Load*

| Kriteria <i>Combined Load</i> | | | |
|--------------------------------------|--------------|-------------------------------|----------------|
| Syarat | | UC ≤ 1 | |
| Deskripsi | Nilai | Satuan | Kondisi |
| UC | 0.20335 | ≤ 1 | AMAN |

D.5 Propagation Buckling Criteria

1. Propagation Buckling (P_{pr})

$$P_{pr} = 35 \cdot f_y \cdot \alpha_{fab} \left(\frac{t_2}{D} \right)^{2.5}$$

$$\begin{aligned} \gamma_{sc} &= 1.04 && \text{low} \\ t_2 = t &= 12.21 && \text{mm} \end{aligned}$$

$$\begin{aligned} \alpha_u &= 1 \\ \alpha_{fab} &= 0.85 \end{aligned}$$

$$\begin{aligned} f_y temp &= 0 && \text{ambient temp} \\ f_y &= 360 && \text{Mpa} && 360000000 \text{ Pa} \\ && 3600 && \text{bar} \end{aligned}$$

$$P_{pr} = 23.3978 \text{ bar}$$

2 Propagation Buckling (Ppr)

Tabel D.6 Perhitungan Propagation Buckling

| Kriteria Tekanan Propagation Buckling | | | |
|--|----------|---|---------|
| Syarat | | Pe - Pmin \leq Ppr(t2) / $\gamma_m \cdot \gamma_{sc}$ | |
| Deskripsi | Nilai | Satuan | Kondisi |
| Pe - Pmin | 19.36790 | bar | AMAN |
| Ppr | 23.39776 | bar | |
| Ppr(t2) / $\gamma_m \cdot \gamma_{sc}$ | 19.56334 | bar | |

BIODATA PENULIS



Novi Jesika Anastasia lahir di Banyuwangi, 30 Desember 1997. Merupakan anak pertama dari 2 bersaudara, pasangan Bapak Agus Sakiyar dan Ibu Misbah Sanusi Rerung. Penulis mengawali pendidikan formal di TK Dharmawanita Plampangrejo, Cluring. Kemudian melanjutkan pendidikan dasar di SD Negeri 4 Plampangrejo, jenjang SLTP di SMP Negeri 1 Cluring dan jenjang SLTA di SMA Negeri 1 Glagah Banyuwangi. Pada tahun 2015 penulis berhasil lolos Seleksi Nasional Masuk Perguruan Tinggi Negeri (SNMPTN) dan diterima sebagai mahasiswa di Departemen Teknik Kelautan, Fakultas Teknologi Kelautan, Institut Teknologi Sepuluh Nopember Surabaya.

Selama masa perkuliahan, penulis juga aktif dibeberapa organisasi kemahasiswaan dan berbagai kegiatan mahasiswa serta pelatihan dan seminar dalam rangka pengembangan diri. Penulis tercatat sebagai Staff Departemen Minat dan Bakat HIMATEKLA (2016-2017). Mendapatkan amanah sebagai Bendahara II UKM SEPAKBOLA ITS (2016-2017) dan Kepala Divisi Futsal Putri UKM SEPAKBOLA ITS (2017-2018). Pada tahun 2017 penulis diamanahi sebagai kapten tim Futsal Putri ITS dan berhasil meraih juara 3 ajang Liga Mahasiswa Futsal McDonald's East Java Conference. Penulis juga mendapatkan beberapa penghargaan dalam bentuk beasiswa, antara lain: Beasiswa Yayasan *Van Deventer-Maas* Indonesia (2016-2019), Beasiswa PPA-ITS (2016) dan Beasiswa Program Banyuwangi Cerdas Pemerintah Kabupaten Banyuwangi (2017). Pada tahun 2018 penulis melakukan Kerja Praktek di Pengembangan Terpadu Pesisir Ibukota Negara (PTPIN) Kementerian Pekerjaan Umum dan Perumahan Rakyat (PUPR), Jakarta. Selama masa studi S1 yang ditempuh selama 4 tahun, penulis tertarik dalam bidang ahli perancangan dan produksi bangunan laut sehingga hal itulah yang mendasari penulis untuk membuat tugas akhir ini dengan fokus pada *offshore pipeline*.

Email : novijesikansts@gmail.com